

МАТЕМАТИЧНА
БІБЛІОТЕКА
ВІСНИК ЛЬВІВСЬКОГО УНІВЕРСИТЕТУ

ISSN 0201-758X
ISSN 0320-6572

ЗАДАЧІ ТА МЕТОДИ ПРИКЛАДНОЇ МАТЕМАТИКИ

СЕРІЯ
МЕХАНІКО-МАТЕМАТИЧНА
ВИПУСК
41
1995



МІНІСТЕРСТВО ОСВІТИ УКРАЇНИ

ВІСНИК
Львівського університету

Серія механіко-математична
Виходить з 1965 р.

Випуск 41

ЗАДАЧІ
ТА МЕТОДИ ПРИКЛАДНОЇ
МАТЕМАТИКИ

Львів
Видавництво "Світ"
1995

УДК 518

У Віснику містяться статті з математичного моделювання, чисельних методів розв'язування рівнянь математичної фізики і задач оптимізації.

Для наукових працівників, викладачів і студентів старших курсів.

Бібліографія у кінці статей.

Редакційна колегія: канд. фіз.-мат. наук, проф. М.Я.Бартиш, д-р фіз.-мат. наук, проф. М.М.Войтович, д-р фіз.-мат. наук, проф. Я.Г.Савула /відм. ред./, д-р фіз.-мат. наук, проф. Г.Г.Цегелик, к-р фіз.-мат. наук, доц. Г.А.Шинкаренко, канд. фіз.-мат. наук, доц. Ю.М.Шербина /відп. секр./.

Відповідальний за випуск доц. Ю.М.Шербина

Адреса редакції:
290000 Львів, вул. Університетська, 1,
Університет, кафедра теорії оптимальних процесів.
Тел.: 79-47-91.

В 16021000-007 Замовне
225-95

© Львівський державний
університет, 1995

УДК 519.61

М.Я.Бергіш, С.М.Шахно, В.О.Ломіковський, А.І.Чипурко

ЧИСЕЛЬНЕ ДОСЛІДЕННЯ ДЕРЖАВНИХ АЛГОРИТМІВ
РОЗВ'ЯЗУВАННЯ НЕЛІНІЙНИХ РІВНЯНЬ

У праці [1] для розв'язування налівійної задачі найменших квадратів ми запропонували методи, які є своєрідною комбінацією різних методів. Як показують чисельні результати, наведені нижче, за допомогою такого підходу можна отримати нові методи, які є ефективнішими від базових методів у сенсі кількості обчислень /менша кількість ітерацій, менший час рахунку/ та надійнішими в роботі /збіжність з ширшої області/. Крім цього, запропоновані методи дають змогу розв'язувати системи нелінійних рівнянь, в яких кількість рівнянь дорівнює або більше від кількості невідомих, а також системи, в яких визначник матриці Якобі перетворюється в нуль. Для порівняння брали метод Брауна [5], класичний метод Ньютона та різні варіанти методу Ньютона з оптимальним вибором кроку та частковою /ЧРАМН/ або починовою /РАМН/ регуляризацією за А.М.Тихое вим. Останні методи /РАМН, ЧРАМН/, згідно з дослідженнями [5], виявилися найбільш ефективними і надійніми.

Розглянемо задачу знаходження розв'язку рівняння

$$F'(x)^T F(x) = 0,$$

[1]

де $F(x) : D \in R^n \rightarrow R^m$ ($m \geq n$).

Перший метод є модифікацією деміпіваниого методу Гаусса-Ньютона [2] і має видину

$$x_{k+1} = x_k - \lambda_k [F'(x_k)^T F'(x_k)]^{-1} F'(x_k)^T F(x_k), \quad [2]$$

$$\bar{x}_k = (1-\mu)x_k + \mu\varphi(x_k), \quad \varphi(x_k) = x_k - \beta_k F'(x_k)^T F(x_k), \quad [3]$$

$$0 < \mu \leq 1, \quad \lambda_k, \beta_k \in (0,1], \quad k=0,1,\dots$$

Зауважимо, що при $\lambda_k=1, \mu=0$ формула [2] методу переворотиться в ітераційну формулу Ньютона.

© Бергіш М.Я., Шахно С.М., Ломіковський В.О. та ін., 1995

Другий метод має вигляд

$$x_{k+1} = x_k - [F'(\bar{x}_k)^T F'(\bar{x}_k) + \gamma_k I]^{-1} F'(\bar{x}_k)^T F(x_k), \quad /4/$$

де \bar{x}_k визначається за формулами /3/, $\gamma_k = \alpha \|F'(\bar{x}_k)^T F(x_k)\|$.

Цей метод містить як частковий випадок при $\mu = 0$ відомий метод Левенберга-Маркварта /3/, варіанти якого деякі автори називають регуляризованім аналогом методу Ньютона /4, 5/.

Введення дійсних числових параметрів λ_k , β_k в методи /2/-/3/, /4/ має такий зміст: λ_k , β_k впливають на довжину кроку в напрямі руху, вони вибиралися шляхом дроблення починаючи з одиниці: параметр μ змінює напрям руху.

Метод /4/ придатний для розв'язування систем, в яких визначник якобіана $F'(\bar{x}_k)^T F'(\bar{x}_k)$ перетворюється в нуль. Для того щоб таку властивість мав метод /2/-/3/, на тих ітераціях, де отримуються погано зумовлені системи лінійних рівнянь, використовують алгоритм Гілла і Мюррея модифікованого розкладу Холеського /2/:

$$A + D = F'(\bar{x}_k)^T F'(\bar{x}_k) + D = L L^T,$$

де D - діагональна матриця з невід'ємними діагональними елементами, які дорівнюють нулю, коли матриця A надійно додатно визначена. У разі доброї зумовленості матриці A система лінійних рівнянь розв'язується за допомогою QR -розкладу матриці A .

Для порівняння всіх методів взяті чотири приклади з праці /5/, які вважаються важкими. Наведемо ці приклади.

Приклад 1. Задана система N рівнянь /при значеннях $N = 4, 8, 16, 32/$ для функцій

$$f_i(x) = x_i + \sum_{j=1}^N x_j - N - 1, \quad 1 \leq i \leq N-1, \quad f_N(x) = \prod_{j=1}^N x_j - 1.$$

За нульове наближення обраний вектор $x_1^0 = 0,5$. Очевидний один із коренів $x_1^* = 1$. Є також принаймні ще один корінь. Для цієї системи $\det f'(x^0) = 1/2^{N-1}$. У разі великої розмірності системи $\det f'(x^0) \ll 1$.

Приклад 2. Задана система двох рівнянь для функцій

$$f_1(x) = x_1^2 - x_2 - 1,$$
$$f_2(x) = (x_1 - 2)^2 + (x_2 - 0,5)^2 - 1.$$

Початкове наближення $x^0 = /0, 1, 2, 0/$, розв'язки $x^* \approx /1,5463, 1,3912/$ і $x^* \approx /1,0673, 0,1392/$.

Приклад 3. Задана система двох рівнянь для функції

$$f_1(x) = x_1 - 13 + x_2(x_2(5-x_2) - 2),$$

$$f_2(x) = x_1 - 29 + x_2(x_2(x_2+1) - 14).$$

Початкове наближення $x^0 = /15, -2/, x^* = /5, 4/. Визначник матриці Якобі цієї системи $\det f'(x) = 6x_2^2 - 8x_2 - 12$ перетворюється в нуль на особливих лініях $x_2 \approx 2,53$ і $x_2 \approx -0,90$. Як бачимо, при рухові від x^0 до кореня x^* траекторія перетинає обидві ці лінії.$

Приклад 4. Потрібно знайти мінімум функції, яка має рельєф типу яру з дуже крутими схилами:

$$\Phi(x) = x_1^2 + 100(x_1^2 - x_1 - x_2)^2.$$

Цю задачу зводимо до системи двох нелінійних рівнянь $\frac{\partial \Phi}{\partial x_i} = 0$, $i = 1, 2/$ з очевидним коренем $x^* = /0, 0/$; $x^0 = /1, 1/$.

У табл. 1 наведена кількість ітерацій для знаходження коренів. У верхній частині таблиці вміщені результати праць /4, 5/ з точністю 10^{-4} , у нижній – отримані нами з точністю 10^{-8} . Символ "∞" у таблиці означає, що даним методом розв'язок знайти неможливо. Зауважимо, що є випадки збіжності методів до різних коренів.

Наведена нижче система перевизначена – кількість рівнянь більша від кількості невідомих.

Приклад 5 /3/. Задана система трьох рівнянь з однією невідомою для функцій

$$f_i(x) = e^{t_i x} - y_i, i = 1, 2, 3; t_1 = 1, y_1 = 2;$$

$$t_2 = 2, y_2 = 4; t_3 = 3; \varepsilon = 10^{-10}.$$

Значення y_3, x^0 наведені в табл. 2. Для порівняння взяті результати, отримані в праці /3/ методами січних і Ньютона для мінімізації

$$f(x) = \frac{1}{2} \sum_{i=1}^3 [f_i(x)]^2.$$

Підсумовуючи отримані результати, можна зробити такі висновки:

1. Запропонований спосіб побудови комбінованих ітераційних процесів дає змогу отримати високоефективні і надійні алгоритми.

2. Найбільш надійним і майже завжди найшвидше збіжним із порівнюваних методів є метод /2/-/3/ при значенні параметра $\mu = 0,5$. Близькі до нього характеристики має метод /4/ при $\mu = 0,5$.

Таблиця 1

Метод	$N=4$	Приклад						
		8	16	32	64	128	256	512
Ньютона		18	∞	∞	∞	24	57	8
Брауна		6	7	8	-	10	10	-
РАМН з опт. кроком								
$\alpha = 10^{-4}$		12	2	4	3	8	∞	50
$\alpha = 10^{-2}$		3	4	5	3	7	∞	67
ЧРАМН з опт. кроком								
$\alpha = 10^{-4}$		4	4	3	5	8	12	43
Ньютона		14	107	∞	5	26	41	5
Гаусса-Ньютона		9	10	5	5	24	29	5
Метод /21-3/								
$\mu = 0$		7	10	3	4	8	29	∞
$\mu = 0,25$		9	11	3	4	6	15	41
$\mu = 0,50$		6	9	3	4	5	10	27
$\mu = 0,75$		4	5	5	12	10	∞	5
$\mu = 1,00$		8	7	3	9	∞	5	36
Метод /4/ $\alpha = 10^{-3}$								
$\mu = 0$		3	4	4	4	7	26	38
$\mu = 0,25$		4	4	4	4	4	18	46
$\mu = 0,50$		5	5	4	4	5	14	5
$\mu = 0,75$		6	6	5	4	5	∞	36
$\mu = 1,00$		5	8	II	4	5	8	∞

Таблиця 2

Початкові значення розв'язки	Метод /21-3/	Метод очінок Ньютона	Метод очінок Ньютона
$y_3 = 8$	0,00	0,16	5
$x^0 = 1$	0,25	0,16	6
$x^* =$ $= 0,69315$	0,50	0,10	3
$f(x) = 0$	0,75	0,21	5
$y_3 = 3$	0,00	0,38	II
$x^0 = 1$	0,25	0,27	8
$x^* =$ $= 6,44005$	0,50	0,21	7
$f(x) =$ $= 1,63900$	0,75	0,32	9
$y_3 = 3$	0,00	0,32	9

3. Для визначення $\Phi(x_k)$ не потрібна точна одномірна оптимізація, достатньо знайти перше значення β_k , за якого досягається зменшення нев'язки $\|F'(\tilde{x}_k)^T F(x_k)\|$.
4. Використання модифікованого розкладу Холеського успішно замінює регуляризацію методу /приміром, за А.М.Тихоновим/ в особливому випадку.
5. Запропоновані алгоритми ефективно розв'язують системи рівнянь, які відповідають мінімізації функцій багатьох змінних з рельєфом типу яру.

Наведені результати розрахунків отримані на ПЕСМ IBM PC AT 286 за допомогою пакету програм, написаних на *Turbo Pascal*.

1. Б е р г і ш М.Я., Ш а х о с С.М. Про деякі методи розв'язування нелінійної задачі найменших квадратів // Симпоз. "Чисельна оптимізація обчислень". 22-24 лист. 1993 р.м.Київ: Тези крп. К., 1993. С.14-15. 2. Г и л л О., М ю р р е й У.. Р а й т М. Практическая оптимизация. М., 1985. 3. Д э н - н и с Л., Н и а б е л ь Р. Численные методы безусловной оптимизации и решения нелинейных уравнений. М., 1988. 440 с.
4. Е р м а ж о в В.В., К а л и т к и н Н.И. Методы решения лінійних і нелинейних алгебраїческих уравнений. М., 1979. 24 с. /Прегрант/ Ин-т прикл. математики АН ССРР; - № 169/. 5. Е р м а - ж о в В.В., К а л и т к и н Н.И. Оптимальный шаг в регуляризации метода Ньютона // Курн. вычисл. математики и мат. фізики. 1981. Т.21. № 2. С.491-497.

Стаття надійшла до редколегії 01.02.94

УДК 517.958:519.6

I.Е.Бернажевич, Г.А.Шинкаренко

ЧИСЛЕННЕ МОДЕЛІВАННЯ

АКУСТИЧНОЇ ВЗАЄМОДІЇ ОБОЛОНОК З РІДINОЮ.

I. ФОРМУЛЮВАННЯ І РОЗВ'ЯЗУВАННЬ ВАРИАЦІЙНИХ ЗАДАЧ

У даній праці вивчається задача акустичної взаємодії оболонок Тимошенка, заповнених ідеальною стисливою рідиною; подібні моделі можуть виникати в практиці проектування гідроакустичних пристроїв. Вважаючи невідомими вектор пружних зміщень в оболонці та котенціал швидкостей в рідині, ми формулюємо початково-країову і відповідну варіаційну задачу взаємодії цих середовищ. За допомогою напівдискретизації Гальбрікена та апріорних енергетичних оцінок здійснене конструктивне доведення коректності варіаційної задачі взаємодії. Для спрощення викладу зупинимось на випадку осесиметричних процесів взаємодії.

© Бернажевич I.Е., Шинкаренко Г.А., 1995

5. Двокільовна півцяжкова-крайової задачі. Нехай замкнена осесиметрична оболонка, яка цілком заповнена рідиною, віднесена до напівциркульній системи координат (z, φ, θ) . Позначимо через Ω меридіанний перетин цієї конструкції при $\theta = \text{const}$, дріпускаючи, що частина Γ_0 границі Γ області Ω визначається кривор $\varphi = \varphi(z)$, $0 \leq z \leq L$, яка описує меридіанний перетин оболонки. Вважатимемо, що границя Γ області Ω неперервна за Діашидем і $n = (\cos(\theta, \varphi), \cos(\theta, z))$ – одиничний вектор зовнішньої нормалі до Ω ; очевидно, що $\Gamma = \Gamma_0 \cup \Gamma_S$, де Γ_0 – частина границі Γ , що лежить на осі Oz .

Припускаючи, що акустичні процеси в такій конструкції породжені осесиметричними навантаженнями, що змінюються в часі $t \in [0, T]$, $0 < T < +\infty$, сформулюємо задачу:

знайти потенціал швидкостей рідини $\psi = \psi(z, \varphi, t)$, тангенціальне зміщення $u = u(z, t)$, прогин $w = w(z, t)$ і кут повороту нормалі $\gamma = \gamma(z, t)$ серединної поверхні оболонки такі, що

$$\frac{1}{\rho_0 c_0} \psi'' - \frac{1}{2} \frac{\partial}{\partial z} \left[\tau \frac{1}{\rho_0} \frac{\partial \psi}{\partial z} \right] - \frac{\partial}{\partial z} \left[\frac{1}{\rho_0} \frac{\partial \psi}{\partial z} \right] = f_0 \text{ на } \Omega \times (0, T),$$

$$\frac{1}{\rho_0} \frac{\partial \psi}{\partial n} = 0 \text{ на } \Gamma_0 \times [0, T], F_0 \in \Gamma, \text{mes}(F_0) > 0,$$

$$\frac{1}{\rho_0} \frac{\partial \psi}{\partial n} = w' \text{ на } \Gamma_0 \times [0, T], \Gamma_S = \Gamma \setminus \Gamma_0,$$

$$\rho h u'' - \frac{1}{A_1 z} \left\{ \frac{\partial}{\partial z} z N_1 - \frac{\partial z}{\partial z} N_2 - A_1 \frac{z}{R_1} N_{13} \right\} = f_1,$$

$$\rho h w'' - \frac{1}{A_1 z} \left\{ -A_1 \frac{z}{R_1} N_1 - A_1 \frac{z}{R_2} N_2 + \frac{\partial}{\partial z} N_{13} \right\} = \psi' + f_2,$$

$$\rho \frac{h^3}{12} \gamma'' - \frac{1}{A_1 z} \left\{ \frac{\partial}{\partial z} z M_1 - \frac{\partial z}{\partial z} M_2 - A_1 z N_{13} \right\} = f_3,$$

$$N_1(s) = B(\varepsilon_1 + \nu \varepsilon_2), N_2(s) = B(\nu \varepsilon_1 + \varepsilon_2), B = \frac{Eh}{2(1+\nu)},$$

$$M_1(s) = D(x_1 + \nu x_2), M_2(s) = D(\nu x_1 + x_2), D = B \frac{h^2}{6(1-\nu)},$$

$$N_{13}(s) = B_S \varepsilon_{13}(s), B_S = kB \text{ на } \Gamma_S \times (0, T),$$

$$\varepsilon_1(s) = \frac{1}{A_1} \frac{\partial u}{\partial z} + \frac{1}{R_1} w, \varepsilon_2(s) = \frac{1}{A_1 z} \frac{\partial z}{\partial z} u + \frac{1}{R_2} w,$$

$$E_{13}(s) = \gamma + \frac{1}{A_1} \frac{\partial w}{\partial z} - \frac{1}{R_1} u \quad s = (u, w, \gamma),$$

$$x_1(s) = \frac{1}{A_1} \frac{\partial \gamma}{\partial z}, \quad x_2(s) = \frac{1}{A_1 z} \frac{\partial z}{\partial z} \gamma,$$

$$A_1 = \left(1 + \left(\frac{\partial z}{\partial z}\right)^2\right)^{1/2}, \quad A_2 = z,$$

$$R_1 = -A_1^3 \left(\frac{\partial^2 z}{\partial z^2}\right)^{-1}, \quad R_2 = z A_1,$$

$$u|_{z=0} = \gamma|_{z=0} = N_{13}|_{z=0} = 0 \quad \text{в} [0, T],$$

$$\psi|_{t=0} = \psi_0, \quad \psi'|_{t=0} = \varphi_0 \quad \text{в} \Omega,$$

$$s|_{t=0} = (u, w, \gamma)|_{t=0} = (u_0, w_0, \gamma_0) \quad \text{на} \Gamma_0,$$

$$s'|_{t=0} = (u', w', \gamma')|_{t=0} = (v_0, y_0, \xi_0). \quad /1.1/$$

Тут $\rho, \bar{\rho}, \nu$ та λ - густина, модуль Інгра, коефіцієнт Пуассона і товщина обшивки відповідно; λ - коефіцієнт поперечного звуку; $\rho_0, \bar{\rho}_0$ - густина і швидкість звуку в рідині; $g' = \frac{\partial}{\partial t} g$, $g'' = \frac{\partial^2}{\partial t^2} g$.

Більше детальне висвітлення поданих у задачі /1.1/ рівнянь можна зустріти у працах [2, 3, 6, 8, 11].

2. Варіаційна постановка задачі взаємодії. Введемо простори

$$\Phi = \{\psi \in H^1(\Omega)\}, \quad H^0 = L^2(\Omega),$$

$$V = \{v \in H^1((0, L)) \mid v(0) = 0\}, \quad Y = V \times V \times V, \quad Q = \Phi \times Y.$$

Φ' і Y' - простори, спряжені до просторів Φ і Y відповідно. Припустимо, що для даних задачі /1.1/ справедливі включення

$$\begin{cases} \psi_0 \in \Phi, \quad \varphi_0 \in H^0, \quad s_0 = (u_0, w_0, \gamma_0) \in Y, \\ g_0 = (v_0, y_0, \xi_0) \in X = [L^2((0, L))]^3, \\ f_0 \in L^2(0, T; H^0), \quad f = \{f_i\}_{i=1}^3 \in L^2(0, T; X). \end{cases} \quad /2.1/$$

Тут і далі для функціональних просторів вжиті позначення із праці [4].

Використовуючи принцип віртуальних робіт, сформулюємо
варіаційний еквівалент початково-країової задачі акустичної
взаємодії оболонки з рідиною:

$$\left\{ \begin{array}{l} \text{задано } \{\psi_0, s_0\} \in Q = \Phi \times Y, \{\varphi_0, g_0\} \in H = H^0 \times X, \\ l \in L^2(0, T; \Phi'), \lambda \in L^2(0, T; Y'), \\ \text{ знайти пару } \sigma = (\psi, s) \in L^2(0, T; Q) \text{ таку, що} \\ m(\psi''(t), \varphi) + a(\psi(t), \varphi) - b(s'(t), \varphi) = \langle l(t), \varphi \rangle, \\ \mu(s''(t), g) + \alpha(s(t), g) + \beta(g, \psi'(t)) = \langle \lambda(t), g \rangle, \\ m(\psi'(0) - \psi_0, \varphi) = 0, a(\psi(0) - \varphi_0, \varphi) = 0 \quad \forall \varphi \in \Phi, \\ \mu(s'(0) - g_0, g) = 0, \alpha(s(0) - s_0, g) = 0. \quad \forall g \in Y. \end{array} \right. \quad /2.2/$$

Білінійні та лінійні форми, вжиті для запису задачі /2.2/,
подаються виразами:

$$\left\{ \begin{array}{l} m(\psi, \varphi) = \int_{\Omega} (\rho_0 c_0)^{-1} \psi \varphi z dz \quad \forall \psi, \varphi \in \Phi, \\ a(\psi, \varphi) = \int_{\Omega} \frac{1}{\rho_0} \left\{ \frac{\partial \varphi}{\partial z} \frac{\partial \psi}{\partial z} + \frac{\partial \psi}{\partial z} \frac{\partial \varphi}{\partial z} \right\} z dz, \\ b(g, \varphi) = \int_{\Omega} y \varphi z A_1 dz \quad \forall s = (u, w, y) \in Y, \forall g = (v, y, \xi) \in Y, \\ \mu(s, g) = \int_{\Omega} \rho h \{ u v + w y + \frac{h^2}{12} y \xi \} A_1 z dz, \\ \alpha(s, g) = \int_{\Omega} \left\{ \sum_{j=1}^2 [N_j(s) \epsilon_j(g) + M_j(s) \chi_j(g)] + N_{13}(s) \epsilon_{13}(g) \right\} A_1 z dz, \\ \langle l, \varphi \rangle = \int_{\Omega} f_0 \varphi z dz, \quad \langle \lambda, g \rangle = \int_{\Omega} \{ f_1 v + f_2 y + f_3 \xi \} A_1 z dz. \end{array} \right. \quad /2.3/$$

Якщо ввести позначення

$$\left\{ \begin{array}{l} M(p, q) = m(\psi, \varphi) + \mu(s, g), \\ A(p, q) = a(\psi, \varphi) + \alpha(s, g), \quad \forall p = (\psi, s) \in Q, \\ B(p, q) = -b(s, \varphi) + \beta(g, \varphi), \quad \forall q = (\varphi, g) \in Q, \\ \langle F, q \rangle = \langle l, \varphi \rangle + \langle \lambda, g \rangle; \end{array} \right. \quad /2.4/$$

то варіаційна задача /2.2/ має вигляд

$$\left\{ \begin{array}{l} \text{задано } p_0 = (\psi_0, s_0) \in Q, q_0 = (\varphi_0, g_0) \in H = H^0 \times X, \\ F \in L^2(0, T; Q'); \\ \text{ знайти вектор } p = (\psi, s) \in L^2(0, T; Q) \text{ такий, що} \end{array} \right.$$

$$\begin{cases} M(p''(t), q) + B(p'(t), q) + A(p(t), q) = \langle F(t), q \rangle, \\ M(p'(0) - q_0, q) = 0, \quad A(p(0) - p_0, q) = 0 \quad \forall q \in Q. \end{cases} \quad /2.5/$$

3. Коректність варіаційної задачі. Неважко переконатись, до

$$\begin{cases} \text{білінійні форми } M(\cdot, \cdot) : H \times H \rightarrow \mathbb{R}, \\ A(\cdot, \cdot) : Q \times Q \rightarrow \mathbb{R} \quad \text{симетричні і неперервні.} \end{cases} \quad /3.1/$$

Крім цього, форма $M(\cdot, \cdot)$ є H -еліптичною, що дає змогу ввести норму

$$\|q\|_H = M^{1/2}(q, q) \quad \forall q \in H. \quad /3.2/$$

Нарешті відзначимо, що неперервна форма $B(\cdot, \cdot) : Q \times Q \rightarrow \mathbb{R}$ має властивість

$$B(q, q) = 0 \quad \forall q \in Q. \quad /3.3/$$

Теорема про коректність варіаційної задачі /2.5/.

Цей же додаток до викладень /2.1/ дає варіаційної задачі /2.5/ такі, що

білінійна форма $A(\cdot, \cdot) : Q \times Q \rightarrow \mathbb{R}$ Q -еліптична. /3.4/

Тоді існує єдиний розв'язок $p = (\varphi, s)$ задачі /2.5/ такий, що

$$p \in L^2(0, T; Q), \quad p' \in L^2(0, T; H), \quad p'' \in L^2(0, T; Q'). \quad /3.5/$$

Звернення. Цей же постулат стосується скінченно-зимірних підпросторів $\{Q_h\}$ із простору Q ^{за} ^{всіх}, що

$$\dim Q_h = h \quad \forall h > 0,$$

$\cup Q_h$ цільно вкладене в Q .

Неважко переконатись, що для кожного фіксованого $h > 0$ існує єдиний $p_h(t) = (\psi_h(t), s_h(t))$, який задовільняє рівняння задачі /2.5/ для будь-яких $q \in Q_h$ і при цьому справджується рівняння балансу енергії:

$$\frac{1}{2} \frac{d}{dt} \left\{ \|p'_h(t)\|_H^2 + \|p_h(t)\|_Q^2 \right\} = \langle F(t), p'_h(t) \rangle. \quad /3.6/$$

Звідси з використанням нерівності Гронуолла /2.4/ приходимо до априорної оцінки

$$\|p'_h(t)\|_H^2 + \|p_h(t)\|_Q^2 \leq C \left\{ \|p_0\|_Q^2 + \|q_0\|_H^2 + \int_0^t \|F(\tau)\|_*^2 d\tau \right\}, \quad /3.7/$$

$\forall t \in [0, T] \quad \forall h > 0.$

Остання показує, що з послідовності наближених розв'язків $\{\rho_h\}$ можна вибрати підпослідовність, яку знову позначимо через $\{\rho_h\}$, таку, що

$$\begin{cases} \rho_h \rightarrow \rho \text{ в } L^\infty(0, T; Q) \text{ -- слабо,} \\ \rho'_h \rightarrow \rho' \text{ в } L^\infty(0, T; H) \text{ -- слабо.} \end{cases} /3.8/$$

Тепер залишається переконатись, що побудована в /3.8/ границя ρ є розв'язком задачі /2.5/. Півторюючи міркування праці [2], можна переконатись, що вектор ρ дійсно задовільняє рівняння задачі /2.5/.

Зauważення. Щодо статичних варіаційних задач теорії оболонок див. праці [5, 8].

4. Підсумкові зауваження. Одержані тут результати спосібно коректності варіаційної задачі взаємодії оболонок Тимошенка зі стисливою ідеальнюю рідинкою цілком можна узагальнити на випадок матеріалу оболонки з короткочасною пам'яттю та в "язкої" стисливій рідині, як це зроблено у праці [9] для задач взаємодії пружних тіл з рідинами.

Зауважимо, що знайдені тут умови коректності варіаційної задачі /2.5/ можуть служити запорукою успішної побудови проекційно-сіткових схем для їх розв'язування; основою цього підходу з використанням методу скінчених елементів по простору та одночаскових схем інтегрування в часі можуть служити результати [1, 2, 7, 8, 9, 11].

І. Бережевич И.Е., Шельвах О.П., Шинкаренко Г.А. Численное исследование вариационных задач теории балок Тимошенко проекционно-сеточными методами. Львов, 1991. 53 с. Рукопись деп. в УкрНИИТИ 04.06.91; № 814-Ук91.
 2. Горлач В.М., Шинкаренко Г.А. Численное моделирование акустических волн в упругих телах с жидкостью: динамическое процеcсs. Львов, 1987. 33 с. Рукопись деп. в УкрНИИТИ 22.12.87; № 3256-Ук87.
 3. Динамика тел, взаимодействующих со средой. Гузь А.Н., Маркуш Ш., и др. л. и др. К. Наук. думка, 1991. 392 с. 4. Дюво Г., Лионс Ж.-Л. Нелинейства в механике и физике. М.: Наука, 1980. 382 с. 5. Литвинов В.Г. Оптимизация в эллиптических граничных задачах с приложениями к механике. М.: Наука, 1987. 368 с. 6. Пелек Б.Д. Обобщенная теория оболочек. Львов: Вища шк. 1978. 169 с. 7. Рикардс Р.Б. Метод конечных элементов в теории оболочек и пластин. Рига: Знание, 1988. 284 с. 8. Сазула Я.Г., Флейшман Н.П. Расчет и оптимизация оболочек с разными средними поверхностями. Львов: Вища шк. 1989. 172 с. 9. Шинкаренко Г.А. Численное моделирования динамики взаимодії фізико-механічних полів: Автореф. дис. ... д-ра

cié.- mat. наук. Львів, 1993. 36 с. 10. Boujot J. Mathematical formulation of fluid-structure interaction problem // M²AN. 1987. Vol. 21. N2. P. 239-260. 41. Mankenholt O. Problems with fluid-structure interaction // Comput. Meth. Appl. Sci. Ed. Ch. Hirsch. Elsevier Sci. Publ., 1992. P. 25-35.

Стаття надійшла до редколегії 18.02.94

УДК 517.958

О.В.Блажиєвська

АВТОМОДЕЛЬНИЙ РОЗВ'ЯЗОК ЗАДАЧІ
ГОРІННЯ СУМІШІ ГАЗІВ

Математичне моделювання процесу горіння реакційнозадатних газових сумішей є актуальним для багатьох галузей науки і техніки. Скажімо, моделювання процесу нанесення тонких плівок кремнію, арсенідугалію та інших речовин шляхом хімічного осадження їх з газової фази вимагає розгляду послідовності процесів горіння, термофорезу, адсорбції продуктів реакції на поверхні плівки тощо. Моделюючи кожну стадію процесу, потрібно правильно описати asymptотику еволюції почередної стадії. Відомо [2], що ефективним методом дослідження аналогічних задач є побудова та аналіз asymptотично стійких автомодельних розв'язків.

Нехай нерухома реакційнозадата суміш газів, яка має температуру T_0 і густину ρ_0 , заповнює замкнену трубу. Після підведення тепла до границі $x = 0$ в її окрі створюється зона підвищеної температури. Це ініціє хімічну реакцію, внаслідок чого по суміші поширюється хвиля горіння. Якщо полум'я є ламінарним і ефектами примежового шару можна захтувати, то адекватним є одновимірний опис зміни параметрів уздовж труби.

Дією масових сил нахтуємо. Припустимо, що фронт полум'я рухається насагато повільніше, ніж звукова хвиля. Тоді тиск у трубі практично не залежить від координат, але через те, що труба закрита, тиск монотонно зростає з часом. Додатково припустимо, що швидкість хімічної реакції визначається законом Арреніуса та залежить від температури і концентрації одного лімітуального компонента. За вказаних припущеннях замкнена система

© Блажиєвська О.В., 1995

рівняння веротермехімії [1] набуває вигляду:

$$\frac{\partial \rho}{\partial t} + \frac{\partial}{\partial x} (\rho v) = 0; \quad /1/$$

$$\frac{\partial p}{\partial x} = 0; \quad /2/$$

$$\rho \left(\frac{\partial c}{\partial t} + v \frac{\partial c}{\partial x} \right) = \frac{\partial}{\partial x} \left(\rho D \frac{\partial c}{\partial x} \right) - \rho f; \quad /3/$$

$$\rho c_p \left(\frac{\partial T}{\partial t} + v \frac{\partial T}{\partial x} \right) = \frac{\partial}{\partial x} \left(\lambda \frac{\partial T}{\partial x} \right) + \frac{\partial p}{\partial t} + q \rho f; \quad /4/$$

$$p = \rho R T \frac{1}{M}. \quad /5/$$

Тут ρ , p , v , T – відповідно густиня, тиск, швидкість і температура суміші; t – час; x – координата; c – концентрація лімітувального компонента; M , c_p – молярна маса та ізобарична теплоемність суміші; D , λ – ефективні коефіцієнти дифузії та тепло провідності; q – тепловий ефект реакції;

$$f = K c \exp(-E/RT),$$

K – передекспоненціальний множник у законі Арреніуса; E – енергія активації; R – молярна газова стала.

Розглянемо для прикладу процес, в основі якого лежить реакція



Нехай суміш є стехіометричною. Тоді хімічна реакція може повністю перевести реагенти у продукти реакції і, отже, компонентний склад суміші повністю визначається концентрацією лімітувального компонента. Тоді

$$M = \frac{M_1}{5c_0 - 2c},$$

де c_0, M_1 – початкова масова концентрація лімітувального реагента $SiCl_4$ та його молярна маса;

$$c_p = c_{p0} [1 + (c - c_0)\delta]; \quad c_{p0} = c_0 c_{p1} + (1 - c_0)c_{p2};$$

$$\delta = \frac{1}{c_{p0}} \left(c_{p1} + \frac{2M_2}{M_1} c_{p2} - \frac{4M_3}{M_1} c_{p3} - \frac{M_4}{M_1} c_{p4} \right),$$

де M_i, c_{pi} / $i = 2, 3, 4$ / – молярні маси та ізобаричні теплоемності відповідно H_2O , HCl , SiO_2 ; c_{p0} – початкова теплоемність суміші.

За незалежні змінні оберемо змінні Лагранжа s, t_A , які пов'язані зі змінними Ейлера x, t такими співвідношеннями:

$$s = \int_0^x \rho(y, t) dy; \quad t_A = t. \quad /7/$$

припустимо, що теплофізичні коефіцієнти суміші задовільняють умови

$$\lambda = \lambda_0 \left(\frac{\rho_0}{\rho} \right)^\sigma, \quad \varrho D = \varrho_0 D_0 \left(\frac{\rho_0}{\rho} \right)^\sigma, \quad /18/$$

де $1/2 < \sigma < 1$.

Тоді система рівнянь /I/-/5/ набуває вигляду

$$\frac{\partial u}{\partial s} = \frac{\partial}{\partial t_1} \left(\frac{1}{\bar{\rho}} \right); \quad /9/$$

$$\frac{\partial p}{\partial s} = 0; \quad /10/$$

$$\frac{\partial c}{\partial t_1} = D_0 \varrho_0^2 \frac{\partial}{\partial s} \left[\left(\frac{\rho_0}{\rho} \right)^{\sigma-1} \frac{\partial c}{\partial s} \right] - f; \quad /11/$$

$$c_{p_0} [1 + (c - c_0) \delta] \frac{\partial T}{\partial t_1} = \lambda_0 \varrho_0 \frac{\partial}{\partial s} \left[\left(\frac{\rho_0}{\rho} \right)^{\sigma-1} \frac{\partial T}{\partial s} \right] + q_f + \frac{1}{\rho} \frac{\partial p}{\partial t_1}; \quad /12/$$

$$p = \varrho R T \frac{1}{M}. \quad /13/$$

Перейдемо до безрозмірних змінних, прийнявши

$$\beta = \frac{R T_0}{E}, \quad \gamma = \beta \frac{c_{p_0} T_0}{q},$$

$$\tau = \frac{t_1}{t_*}, \quad \alpha = \frac{s}{\varrho_0 l_*}, \quad \theta = \frac{T - T_0}{\beta T_0}, \quad u = u \sqrt{\frac{c_{p_0} \varrho_0 t_*}{\lambda_0}}, \quad \bar{\rho} = \frac{\rho}{\varrho_0}, \quad \bar{p} = \frac{p}{p_0},$$

де T_0 – початкова температура суміші; t_* , l_* – масштаби часу і довжини. Оберемо масштабні множники таким чином:

$$t_* = \gamma \frac{R^2 T_0^2}{k p_0 \beta} \exp \left(\frac{1}{\beta} \right); \quad l_*^2 = \frac{\lambda_0 t_*}{c_{p_0} \varrho_0}.$$

Тоді для визначення безрозмірних величин $c, \theta, u, \bar{\rho}, \bar{p}$, отримаємо систему рівнянь:

$$\frac{\partial \bar{p}}{\partial \alpha} = 0; \quad /14/$$

$$\frac{\partial u}{\partial \alpha} = \frac{1}{\gamma} \frac{\partial}{\partial \tau} \left(\frac{1}{\bar{\rho}} \right); \quad /15/$$

$$\frac{\partial c}{\partial \tau} = Le \frac{\partial}{\partial \alpha} \left(\bar{\rho}^{1-\sigma} \frac{\partial c}{\partial \alpha} \right) - \varphi \psi; \quad /16/$$

$$[1 + \delta(c - c_0)] \frac{\partial \theta}{\partial \tau} = \frac{\partial}{\partial \alpha} \left(\bar{\rho}^{1-\sigma} \frac{\partial \theta}{\partial \alpha} \right) + \varphi + \frac{M}{\beta} \frac{1}{\bar{\rho}} \frac{\partial \bar{p}}{\partial \tau}; \quad /17/$$

$$\bar{p} = \bar{\rho} (1 + \beta \theta) \frac{M_0}{M}, \quad /18/$$

де

$$\varphi = c \exp \left(\frac{\theta}{1 + \beta \theta} \right); \quad M_0 = \frac{M_1}{3 c_0}; \quad M = \frac{R}{c_{p_0} M_0};$$

$$Le = \frac{D_0 \varrho_0 c_{p_0}}{\lambda_0} \text{ – число Льюїса.}$$

Шукані функції задовільняють початкові умови

$$c = c_0, \theta = 0 \text{ при } \tau = 0. \quad /19/$$

Граничні умови задачі мають вигляд

$$\frac{\partial c}{\partial \alpha} \Big|_{\alpha=0} = 0; (\bar{\rho})^{1-\sigma} \frac{\partial \theta}{\partial \alpha} = \bar{Q}, \quad /20/$$

$$c|_{\alpha=\infty} = c_0; \theta|_{\alpha=\infty} = 0, u|_{\alpha=0} = 0.$$

Тут $\bar{Q} = 1, Q(\lambda_0 \beta T_0)^{-1}$; Q - густине теплового потоку через границю. Нехай $Q(t) = Q_0 \exp(itT)$, $t = \text{const}$; $Q_0 = \text{const}$.

Побудуємо автомодельний розв'язок задачі /14/-/20/. Врахуємо, що тепловий потік, який підвіситься до границі, поступово дрібнає у глиб середовища. Товщина прогрітого шару неперервно збільшується. На границі цього шару відбувається хімічна реакція. За межами згаданого шару реакція не відбувається, тому у рівняннях /16/-/17/ $\varphi \equiv 0$. У цій області будуємо автомодельний розв'язок типу сім'кої хвилі. Уводимо автомодельну змінну $\xi = \alpha - \omega \tau$. Для визначення функцій $c(\xi), \theta(\xi)$ отримуємо рівняння

$$-\omega c'(\xi) = Le \frac{d}{d\xi} [(\bar{\rho})^{1-\sigma} c'(\xi)]; -\omega \theta'(\xi) = \frac{d}{d\xi} [(\bar{\rho})^{1-\sigma} \theta'(\xi)]. \quad /21/$$

Враховуємо, що на сім'ці, тобто при $\xi = \xi_0, \theta = 0$ маємо, що $c'(\xi) = 0, \theta'(\xi) = 0$. Тому в /21/ діє звязка

$$(\bar{\rho})^{1-\sigma} c'(\xi) = \frac{\omega}{Le} (c_0 - c); \\ (\bar{\rho})^{1-\sigma} \theta'(\xi) = -\omega \theta; \bar{\rho} = (1 + \beta \theta)^{-1} \frac{3c_0}{5c_0 + 2c}. \quad /22/$$

Тут ω - масова безрозмірна швидкість фронту цалуму.

У прогрітому шарі вводимо автомодельну змінну $\eta = \alpha t^{-\sigma}$. Розв'язок шукаємо у вигляді

$$c = c(\eta), \theta = \theta(\eta), \varphi = L^{\sigma} R(\eta), p = e^{\sigma \tau}, u = e^{i\tau} U(\eta).$$

Для визначення функцій $c(\eta), \theta(\eta), R(\eta)$ отримуємо рівняння

$$c''(\eta) = -(1-\sigma) \frac{R'(\eta)}{R(\eta)} c'(\eta) + \frac{1}{Le} \left\{ \chi \varphi - m\eta c'(\eta) \right\} \left(\frac{1}{R(\eta)} \right)^{1-\sigma}; \quad /23/$$

$$\theta''(\eta) = -(1-\sigma) \frac{R'(\eta)}{R(\eta)} \theta'(\eta) - \left\{ \varphi + m\eta [1 + (c - c_0)\beta] \theta'(\eta) \right\} \left(\frac{1}{R(\eta)} \right)^{1-\sigma} \frac{M\eta}{B} \left(\frac{1}{R} \right)^{2-\sigma}, \quad /24/$$

$$\frac{1}{R(\eta)} = (1 + \beta \theta) \frac{M_0}{M}. \quad /25/$$

Автомодельний розв'язок існує, якщо $n = \frac{2m}{1-\sigma} \cdot l = -m \frac{1+\sigma}{1-\sigma}$. Рівняння /23/-/24/ виконуються в області $0 < \eta < \eta_0$. Параметр η_0 визначає товщину шару, прогрітого в початковий момент часу. Отже, шуканий автомодельний розв'язок задовільняє дещо модифіковані початкові умови. Значення параметра η_0 визначає положення фронту полум'я, а саме: в момент часу τ фронт проходить через точку з масовою координатою $\alpha = \eta_0 e^{m\tau}$. Границі умови задачі задовільняються точно. Оскільки в кожний скінчений момент часу збурення поширяється в скінченному шарі, а не границі з фронтом шукані функції та їхні похідні є неперервними, то умови $\theta|_{\alpha=\infty} = 0$, $c|_{\alpha=\infty} = C_0$ виконується автоматично. Враховуючи рівняння /22/, а також те, що у прогрітому шарі фронт полум'я рухається з безрозмірною масовою швидкістю $m\eta_0 e^{m\tau}$, одержуємо ще такі дві граничні умови для рівнянь /23/-/24/:

$$c'(\eta_0) = -\frac{m\eta_0}{L_e} [c(\eta_0) - C_0] (R(\eta_0))^{\sigma-1},$$

$$\theta'(\eta_0) = -m\eta_0 \theta(\eta_0) (R(\eta_0))^{\sigma-1}. \quad /26/$$

Перші дві граничні умови /20/ набувають вигляду

$$c'(0) = 0, \quad \theta'(0) = Q_0 (R(\eta_0))^{\sigma-1}. \quad /27/$$

Таким чином, для визначення функцій c , θ одержана крайова задача /23/-/27/ для двох звичайних диференціальних рівнянь другого порядку. Ця задача зводиться відомими методами до задачі Коші, для розв'язування якої існує стандартне програмне забезпечення. Для визначення функції U отримуємо задачу:

$$U'(\eta) = \frac{1}{\tau} \left[m\eta \frac{R'(\eta)}{R^2(\eta)} - \frac{n}{R(\eta)} \right],$$

$$U(0) = 0. \quad /28/$$

Зauważимо, що безрозмірна лінійна швидкість поширення фронту полум'я визначається формулой

$$D = \exp(lt) [U(\eta) + m\eta_0 R'(\eta_0)],$$

де $l = -m(1+\sigma)(1-\sigma)^{-1} < 0$.

Обчислення виконані за умови, що енергія 4 мДж вкладалась на інтервалі часу 10 с. Одержані результати задовільно узгоджуються з відомими даними теорії горіння. Порівняно з традиційним запропонований підхід дес зможе набагато простіше описати основні властивості системи.

І. Алексеев Б.В., Гришин А.М. Физическая газодинамика реагирующих сред. М.: Высш. шк., 1985. 2. Самарский А.А., Галактионов В.А., Курдюмов С.П. Михайлов А.П. Режимы с обострением в задачах для квазилинейных параболических уравнений. М.: Наука, 1987.

Стаття надійшла до редколегії 16.06.94

УДК 517.648:517.68

П.С.Венгерський, П.С.Сеньо

ОДИН ІНТЕРВАЛЬНИЙ АЛГОРИТМ
ЗНАХОДЖЕННЯ ПОЧАТКОВИХ НАБЛИЖЕНЬ
МЕТОДУ НЬЮТОНА

Під час застосування ітераційних методів для розв'язування систем нелінійних рівнянь одним з найскладніших завдань є вибір початкового наближення. Загалом способи знаходження початкового наближення ґрунтуються на априорних оцінках. У даній роботі запропонованій алгоритм знаходження початкового наближення для точкового методу Ньютона за допомогою одного з інтервальних методів, який гарантує виконання всіх умов збіжності методу.

Нехай $R^n - n$ - мірний дійсний простір. Понажемо зв'язок понять інтервального аналізу і відповідних величин R^n .

I. Основні поняття інтервального аналізу в R^n . Припустимо, що окіл $O(y, \rho)$ в R^n з центром y і радіусом ρ є осообливим типом інтервалу, а саме

$$O(y, \rho) = \{x \mid \|x - y\| \leq \rho\} = [y - \rho e, y + \rho e], \quad /1/$$

де $e = (1, 1, \dots, 1)^T$.

Основні інтервальні поняття тісно зв'язані з нормою

$$\|x\| = \max\{|x_i|\} \text{ для } R^n, \quad /2/$$

де

$$x = (x_1, x_2, x_3, \dots, x_n).$$

. Як відомо з /1/, абсолютна величина інтервалу $[a, b]$ в R висувається так:

$$\|[a, b]\| = \max\{|a|, |b|\}.$$

Аналогічно, для інтервалу $x = [a, b]$ в R^n

$$\omega(x) = \max_{1 \leq i \leq n} \{(b_i - a_i)\} = \|b - a\|.$$

© Венгерський П.С., Сеньо П.С., 1995

З означення ширини інтервалу X маємо

$$\|X\| = \max_{1 \leq i \leq n} \{ \max(|a_i|, |b_i|) \} = \max_{1 \leq i \leq n} \{ \|a_i\|, \|b_i\| \} = \max_{x \in X} \|x\|. \quad /3/$$

Матричну норму відповідно до /2/ для $A = (a_{ij})$ записуємо

$$\|A\| = \max_{1 \leq i \leq n} \sum_{j=1}^n |a_{ij}|. \quad /4/$$

Враховуючи /3/ і /4/, отримуємо

$$\|A\| = \|A[-e, e]\|.$$

Для матриці $M = ([\alpha_{ij}, \beta_{ij}])$ з інтегральними компонентами маємо

$$\|M\| = \max_{1 \leq i \leq n} \sum_{j=1}^n |[\alpha_{ij}, \beta_{ij}]| = \max_{A \in M} \{ \|A\| \} = \|M[-e, e]\|,$$

Середня точка інтервалу $X = [a, b]$ визначається так:

$$m(X) = \frac{1}{2}(a + b).$$

Аналогічно в багаторівненному випадку для $X = ([a_i, b_i])$ отримуємо

$$m(X) = \left(\frac{1}{2}(a_i + b_i) \right).$$

2. Теорема Канторовича збіжності методу Ньютона до розв'язку x^* . Введемо позначення. Нехай $M_{nn}(R)$ - множина дійсних матриць розмірності $n \times n$.

Запишемо теорему, доведену у праці /3, с.693/.

Теорема I. Нехай $\Omega_0 = O(x^{(0)}, \rho)$ є відображення $f: R^n \rightarrow R^n$ двічі неперервно диференційоване. Припустимо, що для $Y \in M_{nn}(R)$ виконуються умови:

1/ $\|Yf(x^{(0)})\| \leq \bar{\eta}$;

2/ $\|Yf'(x^{(0)})^{-1}\| \leq \delta$, I - одинична матриця;

3/ $\|Yf''(x)\| \leq \bar{K}$ для всіх $x \in \Omega_0$.

Тоді, якщо

$$h = \frac{\bar{K}\bar{\eta}}{(1-\delta)^2} \leq \frac{1}{2}, \quad \delta < 1;$$

$$\rho \geq \rho_0 = \frac{1-\sqrt{1-2h}}{h} \frac{\eta}{1-\delta},$$

рівняння $f(x) = 0$ має розв'язок $x^* \in \Omega_0$.

При цьому, якщо $\{x^{(n)}\}$ - послідовність наближень методу Ньютона, то

$$\|x^* - x^{(n)}\| \leq \frac{1}{2^n} [2h]^{2^n} \frac{\bar{\eta}}{h(1-\delta)}.$$

3. Теорема існування розв'язку x^* для одного типу інтервалних ітераційних методів. Розглянемо модифікацію за Кравчиком методу /І.І2/ з праці [2], а саме

$$K(X^{(n)}) = x^{(n)} - Y^{(n)}f(x^{(n)}) + (I - Y^{(n)}F'(X^{(n)}))(X^{(n)} - x^{(n)}); \quad /5/$$

$$X^{(n+1)} = K(X^{(n)}) \cap X^{(n)}, n = 0, 1, 2, \dots, \quad /6/$$

де $X^{(0)}$ – початковий інтервал; $F'(X^{(n)}) = 1/4 f'(x^{(n)}) + + 3/4 f'(x^{(n)}) + 2/3(X^{(n)} - x^{(n)})$; $Y^{(n)}$ – приблизна інверсія центру матриці $F'(X^{(n)})$; I – одинична матриця; $x^{(n)} = mid(X^{(n)})$.

Сформулюємо два твердження існування розв'язку x^* для методу /5/-/6/.

Лема. Нехай відображення $f: D \subset R^n \rightarrow R^n$ двічі неперервно диференційоване за Фреше в кожній точці опуклої множини $D_0 \subset D$, $f(x)$ – його аналітичний вираз. Нехай визначене інтервалне розширення $f(x)$, x^* – розв'язок рівняння $f(x) = 0$ ($x^* \in X^{(0)} \subset D_0$, $x^{(0)} < x^*$).

Якщо $X^{(0)} \supset [x^{(0)}, x^{(0)} + \frac{3}{2}(x^* - x^{(0)})]$, тоді

$$f''(x^{(0)} + \theta_2^0(x^* - x^{(0)})(x^* - x^{(0)})^2) \subset f''(x^{(0)} + \frac{2}{3}[\theta_1^1](X^{(0)} - x^{(0)})(X^{(0)} - x^{(0)})^2) /7/$$

де

$x^{(0)} + \theta_2^0(x^* - x^{(0)})$, $x^{(0)} + \frac{2}{3}[\theta_1^1](x^* - x^{(0)})$ – проміжні точки залишкових членів розкладів у ряді Тейлора до другої похідної в точці $x^{(0)}$ відповідно функцій $f(x)$ і $f'(x^{(0)} + \frac{2}{3}(x^* - x^{(0)}))$.

Теорема 2. Нехай виконуються умови і співвідношення /7/ леми.

Тоді послідовність інтервалів $\{X^{(n)}\}_{n=0}^{\infty}$, обчислена за формулами /5/-/6/, задовільняє такі співвідношення:

1/ $x^* \in X^{(0)}$;

2/ якщо крім цього для $f(x)$ виконується умова

$$|I - Y^{(0)}F'(X^{(0)})| < 1,$$

тоді $\lim_{n \rightarrow \infty} X^{(n)} = x^*$.

Доведення леми і теореми 2 містить праця [2].

4. Зв'язок умов існування і збіжності ітераційного методу Ньютона та інтервалного методу /5/-/6/. Позначимо через $V^{(n)}$ таку величину

$$V^{(n)} = |I - Y^{(n)}F'(X^{(n)})|.$$

Запишемо докладніше позначення вираз

$$|I - \bar{y}^{(n)} f'(x^{(n)})| = |I - \bar{y}^{(n)} (\frac{1}{4} f'(x^{(n)}) + \frac{3}{4} f'(x^{(n)} + \frac{2}{3}(X^{(n)} - x^{(n)}))|. \quad /9/$$

Використовуючи означення 2 інтегральних операцій з /4/, отримуємо

$$\begin{aligned} & |I - \bar{y}^{(n)} (\frac{1}{4} f'(x^{(n)}) + \frac{3}{4} f'(x^{(n)} + \frac{2}{3}(X^{(n)} - x^{(n)}))| = \\ & = |I - \bar{y}^{(n)} (f'(x^{(n)}) + \frac{1}{2} f''(x^{(n)} + \frac{2}{3}[\theta_1^1](X^{(n)} - x^{(n)})) (X^{(n)} - x^{(n)})| = \\ & = |I - \bar{y}^{(n)} f'(x^{(n)}) - \frac{1}{2} \bar{y}^{(n)} f''(x^{(n)} + \frac{2}{3}[\theta_1^1](X^{(n)} - x^{(n)})) (X^{(n)} - x^{(n)})|. \end{aligned} \quad /9/$$

Із властивостей абсолютної величини інтервалу, /9/ маємо

$$\begin{aligned} & |I - \bar{y}^{(n)} f'(x^{(n)}) - \frac{1}{2} \bar{y}^{(n)} f''(x^{(n)} + \frac{2}{3}[\theta_1^1](X^{(n)} - x^{(n)})) (X^{(n)} - x^{(n)})| = \\ & = |\frac{1}{2} \bar{y}^{(n)} f''(x^{(n)} + \frac{2}{3}[\theta_1^1](X^{(n)} - x^{(n)})) (X^{(n)} - x^{(n)}) - (I - \bar{y}^{(n)} f'(x^{(n)}))| \geq \\ & \geq |\frac{1}{2} \bar{y}^{(n)} f''(x^{(n)} + \frac{2}{3}[\theta_1^1](X^{(n)} - x^{(n)})) (X^{(n)} - x^{(n)})| - |I - \bar{y}^{(n)} f'(x^{(n)})|. \end{aligned}$$

Далі отримуємо

$$\begin{aligned} & \frac{1}{2} |\bar{y}^{(n)} f''(x^{(n)} + \frac{2}{3}[\theta_1^1](X^{(n)} - x^{(n)})) (X^{(n)} - x^{(n)})| - |I - \bar{y}^{(n)} f'(x^{(n)})| = \\ & = \frac{1}{2} |\bar{y}^{(n)} f''(x^{(n)} + \frac{2}{3}[\theta_1^1](X^{(n)} - x^{(n)}))| |X^{(n)} - x^{(n)}| - |I - \bar{y}^{(n)} f'(x^{(n)})|. \end{aligned} \quad /10/$$

Оскільки $x^{(n)} = mid(X^{(n)})$, то

$$|X^{(n)} - x^{(n)}| = |X^{(n)} - mid(X^{(n)})| = \frac{\omega(X^{(n)})}{2} |[-1, 1]| = \frac{\omega(X^{(n)})}{2}.$$

Тоді з /10/ маємо

$$\begin{aligned} & \frac{1}{2} |\bar{y}^{(n)} f''(x^{(n)} + \frac{2}{3}[\theta_1^1](X^{(n)} - x^{(n)}))| |X^{(n)} - x^{(n)}| - |I - \bar{y}^{(n)} f'(x^{(n)})| = \\ & = \frac{1}{2} |\bar{y}^{(n)} f''(x^{(n)} + \frac{2}{3}[\theta_1^1](X^{(n)} - x^{(n)}))| \frac{\omega(X^{(n)})}{2} - |I - \bar{y}^{(n)} f'(x^{(n)})| = \\ & = \frac{1}{4} |\bar{y}^{(n)} f''(x^{(n)} + \frac{2}{3}[\theta_1^1](X^{(n)} - x^{(n)}))| \omega(X^{(n)}) - |I - \bar{y}^{(n)} f'(x^{(n)})|. \end{aligned} \quad /II/$$

Враховуючи позначення /8/, зі співвідношення /II/ дістаємо

$$|\bar{y}^{(n)} f''(x^{(n)} + \frac{2}{3}[\theta_1^1](X^{(n)} - x^{(n)}))| \leq 4(V^{(n)} + |I - \bar{y}^{(n)} f'(x^{(n)})|) / \omega(X^{(n)}).$$

Позначаючи, через

$$\Delta^{(n)} = \|I - \bar{y}^{(n)} f'(x^{(n)})\|, \quad \omega^{(n)} = \omega(X^{(n)}).$$

маємо

$$S^{(n)} = |\bar{y}^{(n)} f''(x^{(n)} + \frac{2}{3}[\theta_1^1](X^{(n)} - x^{(n)}))| \leq 4(V^{(n)} + \Delta^{(n)}) / \omega^{(n)}$$

Інтервал, що є аргументом у другій похідній, задовільняє співвідношення /7/ леми, тобто містить x^* .

Якщо $x \in \Omega_n = O(x^{(n)}, \rho) = x^{(n)} + \frac{2}{3}[\theta_1^1](X^{(n)} - x^{(n)})$, тоді

$$|\bar{y}^{(n)} f''(x)| \leq S^{(n)} \leq 4(V^{(n)} + \Delta^{(n)}) / \omega^{(n)}.$$

5. Алгоритм знаходження початкових наближень методу Ньютона інтервальним методом /5/-/6/.

1. Вибираємо $X^{(0)}$, $x^{(0)} = \text{mid}(X^{(0)})$.

2. Обчислюємо $X^{(n+1)}$, $n=0,1,2,\dots$ за формулами /5/-/6/, доки не виконуватиметься умова $X^{(n+1)} \subset X^{(n)}$, $n=0,1,2,\dots$.

3. Знаходимо

$$g^{(n)} = \| Y^{(n)} f(x^{(0)}) \|.$$

4. Шукаємо значення констант

$$V^{(n)} = | I - Y^{(n)} F'(X^{(n)}) |;$$

$$\Delta^{(n)} = \| I - Y^{(n)} f'(x^{(n)}) \|.$$

5. Отримуємо оцінку для другої похідної:

$$\bar{s}^{(n)} = 4(V^{(n)} + \Delta^{(n)}) / \omega^{(n)},$$

6. Знаходимо

$$h^{(n)} = \frac{\bar{s}^{(n)} g^{(n)}}{(1 - \Delta^{(n)})^2}.$$

7. Якщо $h^{(n)} \leq \frac{1}{2}$, тоді застосовуємо далі ітераційний метод Ньютона, обравши як початкове наближення точку $x^{(n)}$ з $X^{(n)}$. Інакше потрібно перейти до кроку 2.

Зauważення. Якщо методом /5/-/6/ отримуємо $X^{(n)} = \{\phi\}$, то це ознака того, що в даному інтервалі немає коренів. На кроці 2 може бути обчислені набір інтервалів, які доказують різні корені рівняння, тому алгоритм потрібно виконувати доти, доки не вичерпастися весь набір інтервалів.

6. Висновки. Отриманий алгоритм, для знаходження початкового наближення ітераційного методу Ньютона, яке гарантує виконання умов збіжності методу. Для оцінки $h^{(n)}$ майже не потрібні додаткові обчислення; вирази для оцінок $g^{(n)}$, $Y^{(n)}$, $\bar{s}^{(n)}$, $\omega^{(n)}$ використовуються безпосередньо в самому методі /5/-/6/.

I. Алефельд Г., Херцбергер В. Введение в интервальные вычисления. М.: Мир, 1987. 358 с. 2. Венгерский П.С., Сеньо П.С. Интервальный метод решения систем нелинейных уравнений, базирующийся на предельных теоремах о среднем. Львов. 1990. 23 с. Рукопись деп. в УкрНИИТИ 20.09.90; № 1612-УК90. 3. Канторович А.В., Ахиллов Г.П. Функциональный анализ. М.: Наука, 1984. 752 с. 4. Сеньо П.С., Венгерский П.С. Интервальный итераційний метод развязывания нелинейных систем рівнянь, який не містить інверсій інтервальних матриц // Вісн. Львів.ун-ту. Сер.мех-мат. 1991. Вип. 35. С.18-24.

Стаття надійшла до редколегії 28.03.94

В.Д.Вовк, І.І.Дияк, В.М.Макар

ПРОГРАМНИЙ КОМПЛЕКС
БАТАТОКРИТЕРІАЛЬНОЇ ОПТИМІЗАЦІЇ НАПРУЖЕНЬ
ПРИ НЕСТАЦІОНАРНОМУ НАГРІВІ

У даній роботі описаний програмний комплекс для сучасних ПЕОМ розв'язання двокритеріальної задачі оптимального проектування кусково-однорідних осесиметричних об'єктів з умовою мінімуму термонапруження в їхніх елементах за мінімальної матеріаломісткості.

Термонапруження в об'єкті визначають розв'язанням задач статичної і квазистатичної термопружності, тобто за відомим розподілом температур у даний момент часу /квазистатична задача/ визначають деформації та напруження, зумовлені цим полем і силовим навантаженням [2]. Зв'язність задачі, тобто впливом поля деформацій на поле температур нехтується.

З метою застосування методу скінчених елементів /МСЕ/ для чисельного розв'язання задачі тепlopровідності [3] розглянемо еквівалентну їй варіаційну постановку:

$$(\dot{u}, v) + a(u, v) + \langle \alpha u_0, v \rangle = (w, v) + \langle \alpha u_c, v \rangle \quad /1/$$

для $\forall v \in H_A, \tau \in [0, \tau^*]$,

$$(u, v)_{\tau=0} = (u_0, v) \quad \text{для } \forall v \in H_A. \quad /2/$$

Тут $u(x, \tau)$ - температура в точці $x \in R^2$ у момент часу τ

$$\dot{u} = \frac{\partial u}{\partial \tau}, \quad \frac{\partial u}{\partial \tau} \in L_2(0, \tau^*);$$

H_A - енергетичний простір оператора задачі:

$$H_A = \{u(x, \tau) : u = 0, (x, \tau) \in \partial \Omega \times [0, \tau^*], u \in H^1(\Omega)\},$$

$H^1(\Omega)$ - простір Соболєва 1-го порядку;

$$a(u, v) = (Au, v) = - \int_{\Omega} \lambda \sum_{i=1}^2 \frac{\partial u}{\partial x_i} \frac{\partial v}{\partial x_i} dx$$

- скалярний добуток в H_A ; $\partial \Omega$, - частина границі області Ω із заданими однорідними умовами I-го роду; w - потужність внутрішніх джерел тепла; u_c - температура зовнішнього середовища; α - коефіцієнт теплообміну; u_0 - початковий розподіл температури в тілі.

© Вовк В.Д., Дияк І.І., Макар В.М., 1995

Апроксимацію Гальоркіна узагальненого розв'язку задачі /1/-/2/ шукаємо у вигляді

$$u_h(x, \tau) = \sum_{i=1}^N Q^i(\tau) \varphi_i(x), \quad /3/$$

де $\varphi_i(x)$ – базові функції на чотирикутниках сиреневого типу. У програмному комплексі використовують чотирикутники з чотирма та вісімома вузлами [3]. У співвідношенні /3/ коефіцієнти розкладу є функціями часової координати $\tau \in [0, T^*]$. На основі напівдискретних апроксимацій Гальоркіна /3/, варіаційна задача /1/, /2/ зводиться до розв'язання не лінійної задачі Коши, яку в матричному вигляді можна подати

$$M(Q)\dot{Q}(\tau) + G(Q)Q(\tau) = F(\tau), \quad /4/$$

$$Q(0) = z, \quad /5/$$

Тут $Q(\tau) = (Q^1(\tau), \dots, Q^N(\tau))^T$ – вектор невідомих коефіцієнтів розкладу /3/. Компоненти векторів і матриць цієї системи визначаються співвідношеннями

$$\begin{aligned} M_{ij} &= (\rho \varphi_i, \varphi_j), \\ G_{ij} &= a(\varphi_i, \varphi_j) + \langle \alpha \varphi_i, \varphi_j \rangle, \\ f_i &= (w, \varphi_i) + \langle \alpha u_c, \varphi_i \rangle. \end{aligned}$$

Задача Коши /4/, /5/ розв'язується з використанням процесу Кранка-Ніколсона-Гальоркіна, на основі якої на кожному часовому кроці методом Холецького розв'язується система лінійних алгебраїчних рівнянь /СЛАР/. За знайденими значеннями температури із допустимих переміщень пружного тіла, які належать до простору

$$\dot{H}_A = \left\{ u = (u_1, u_2)^T : u_i = g_i, x \in \partial\Omega_1, u_i \in W_2^1(\Omega), i=1,2 \right\},$$

переміщення, що відповідають положенню рівноваги, мінімізують функціонал Лагранжа [2]:

$$P(u) = \frac{1}{2} \int_{\Omega} \epsilon^T D \epsilon d\Omega - \int_{\Omega} u^T F d\Omega - \int_{\Omega} \epsilon^T D \epsilon_T d\Omega - \int_{\Omega} u^T f d\Omega. \quad /6/$$

Розв'язок задачі про мінімум функціоналу /6/ одержують за допомогою МСК з використанням апроксимацій на тій же СЕ сітці.

Задача про зниження рівня термонапруженів, визначених із розв'язку задачі квазістатичної термопружності, в деякій підобласті кусково-однорідного осесиметричного об'єкта, полягає у визна-

ченні значень керуючих параметрів /геометричних розмірів/
 $\alpha = (\alpha_1, \alpha_2, \dots, \alpha_n)$, що задовольняють співвідношення /1/:

$$\Phi_K = \max_{\alpha_1, \dots, \alpha_n} \max_{x_1, x_2} \left\{ \sigma_{11}^{(K)}(\alpha), \sigma_{22}^{(K)}(\alpha), \sigma_{33}^{(K)}(\alpha) \right\} \rightarrow \min \quad /1/$$

за таких обмежень:

$$AT_{i+1}^{(2)} = BT_i^{(2)} + F^{(2)}; \quad /8/$$

$$Gu^{(K)} = R^{(K)}; \quad /9/$$

$$\varepsilon^{(K)} = Bu^{(K)}; \quad /10/$$

$$\sigma = D(\varepsilon^{(K)} - \varepsilon_T^{(K)}); \quad /II/$$

$$\alpha_i^* \leq \alpha_i \leq \alpha_i^{**}; \quad /12/$$

$$V_i^* \leq V_i \leq V_i^{**}. \quad /13/$$

Тут /8/ - СЛАР, до якої зводиться розв'язування задачі теплостровідності; /9/ - СЛАР, до якої зводиться розв'язування задачі термопружності; /10/ - дискретна форма співвідношень Коши; /II/ - дискретна форма фізичних співвідношень; /12/ - обмеження на керуючі змінні; /13/ - функціональні обмеження на напруження та об'єми; K - індекс, що позначає розв'язок задачі статичної термопружності $K = 1$, і квазістатичної термопружності $K = 2$.

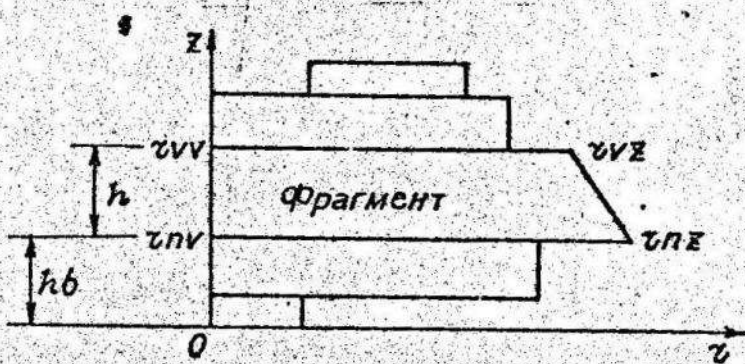
Як бачимо, сформульована задача оптимізації є двокритеріальною. Для її розв'язання використовується метод зондування простору, який дає змогу ефективно здійснювати розв'язування задачі в процесі діалогу з ПЕОМ /4/. У ролі пробних точок у просторі параметрів використовуються точки рівномірно розподіленої послідовності / AN_T - послідовності/.

Цілком очевидно, що основним інструментом оцінки якості та ефективності розроблених чисельних схем і алгоритмів є програмне забезпечення, створене на ізотропній основі. Програми реалізації методів скінчених та гравітаційних елементів, передсачають велику кількість арифметичних обчислень, що вимагає використання потужної обчислювальної техніки. Однак, враховуючи значне поширення, швидкий ріст продуктивності та зручність користування персональними комп'ютерами, вважаємо за доцільне використовувати їх для розв'язування прикладних інженерних задач такого класу.

Вищеописаний алгоритм реалізований у вигляді пакета прикладних програм "Тиран" /Тиристорний аналіз/. Цей пакет можна використовувати як зручний інструментарій для наукових розрахунків, а також як складову робочого місця конструктора.

У створенні промислового зразка програми важливе місце належить розробці "дружнього" інтерфейсу між користувачем і програмою. Він передбачає зручне і легке введення даних про задачу /геометричні розміри конструкції, термо механічні характеристики матеріалів, параметри оптимізації/, можливість керування ходом її розв'язування та широкий вибір інструментарію для аналізу отриманих результатів. Важливе значення має *HELP*-підтримка всіх етапів розв'язування задачі. Усі вказані функції в ПІА "Тиран" реалізовані в інтерактивному режимі.

Вважається, що основний перетин тиристора є набором трапецій, кожна з яких описує геометрію однієї зі складових пристрою /структурі, основи, термокомпенсатора, припою тощо/. Вважаємо також, що основи трапецій паралельні між собою, тому геометрія кожного з *NSE* елементів тиристора визначається шістьма величинами: внутрішнім радіусом нижньої площини /*znu*/; зовнішнім радіусом нижньої площини /*zvz*/; внутрішнім радіусом верхньої площини /*zvv*/; зовнішнім радіусом верхньої площини /*zuz*/; висотою /*h*/; висотою бази /*hb*/ /див. рисунок/. Ці ж геометричні параметри можна вважати параметрами оптимізації.



У результаті аналізу користувач одержує впорядковану за обсягом критеріями таблицю випробувань, яка може бути рекомендована для інженера-проектувальника. Далі він може докладно проаналізувати багато варіантів, підвищивши порядок апроксимації та оцінивши отримані значення на графіках, ізотермах збо лініях однакової напруженості.

І. Дияк І.І., Коссак О.С., Савула Я.Г.,
 Шинкаренко Г.А. Ресчт и оптимизация термоапряжений
 в паянных силовых полупроводниковых приборах // Теорет. электро-
 техника. Львов, 1990. Вып. 48. С.24-28. 2. Коваленко-
 ко А.Д. Избранные труды. К.: Наук. думка, 1976. 762 с.
 З. Марчук Г.И., Агостиков В.И. Введение в проекцион-
 но-сеточные методы. М.: Наука, 1981. 416 с. 4. Соболь И.М.,
 Статников Р.Б. Выбор оптимальных параметров в задачах
 со многими критериями. М.: Наука, 1981. 110 с.

Стаття надійшла до редколегії 10.02.94

УДК 518:517.948

Я.С.Гарасим, Б.А.Остудін

РОЗРОБКА МАТЕМАТИЧНОГО ТА ПРОГРАМНОГО ЗАБЕЗПЕЧЕННЯ
 ДЛЯ РОЗРАХУНКУ ОСЕСИМЕТРИЧНИХ ЕЛЕКТРОСТАТИЧНИХ ПОЛІВ
 НА БАЗІ ПЕРСОНАЛЬНИХ КОМП'ЮТЕРІВ

Нехай $Z \in R$ - декартові координати довільної точки
 евклідового простору R^2 за умови, що $R \geq 0$. Припустимо,
 що інформація про геометрію зарядженого електрода подається
 за допомогою параметричних рівнянь $Z = Z(\tau)$, $R = R(\tau)$ ($\alpha \leq \tau \leq \beta$),
 які описують деяку незамкнену криву L , розташовану в пів-
 площині $R \geq 0$. Ця крива є твірною певної циліндричної поверх-
 ні S , на якій задається граничне значення потенціалу U_0 .
 Електростатичне поле, утворене зарядженою поверхнею S , є
 осесиметричним і цілком характеризується своїми значеннями в
 точках півплощини $R \geq 0$. Припустимо також, що
 $Z(\tau), R(\tau) \in C^1[\alpha, \beta]$, як мінімум.

Відповідна математична модель, побудована на основі
 теорії потенціалу, дає змогу подати поле в будь-якій точці
 (\bar{Z}, \bar{R}) , $\bar{R} \geq 0$, за формулою [1, 6, 7]

$$U(\bar{Z}, \bar{R}) = \int_{\alpha}^{\beta} q(\tau) R(\tau) K(k) \left\{ [R(\tau) + \bar{R}]^2 + [Z(\tau) - \bar{Z}]^2 \right\}^{1/2} M(\tau) d\tau, \quad /I/$$

де $q(\tau)$ - густина розподілу зарядів уздовж L ; $K(k) =$
 $= \int_0^{\pi/2} (1 - k^2 \sin^2 y)^{-1/2} dy$ - повний еліптичний інтеграл
 першого роду, причому $k^2 = 4 \cdot R(\tau) \cdot \bar{R} \times$
 $\times \left\{ [R(\tau) + \bar{R}]^2 + [Z(\tau) - \bar{Z}]^2 \right\}^{-1}$.

а

$$M(\tau) = \left\{ [Z'(\tau)]^2 + [R'(\tau)]^2 \right\}^{1/2}.$$

(C) Гарасим Я.С., Остудін Б.А., 1995

Невідома функція $q(\tau)$ визначається з інтегрального рівняння /1Р/

$$Aq \equiv \int_{\alpha}^{\beta} q(\tau) R(\tau) K(\tau, \bar{\tau}) T^{-1}(\tau, \bar{\tau}) M(\tau) d\tau = U_0, \quad /2/$$

де

$$T(\tau, \bar{\tau}) = \{[R(\tau) + R(\bar{\tau})]^2 + [Z(\tau) - Z(\bar{\tau})]^2\}^{1/2}, \quad \bar{\tau} \in [\alpha, \beta];$$

$$K(\tau, \bar{\tau}) = P(\tau, \bar{\tau}) - Q(\tau, \bar{\tau}) \ln \eta \equiv \sum_{l=0}^4 a_l \eta^l - \ln \eta \sum_{l=0}^4 b_l \eta^l -$$

відома апроксимація повного еліптичного інтеграла першого роду /4/, причому

$$\eta = T^{-2}(\tau, \bar{\tau}) \{[R(\tau) - R(\bar{\tau})]^2 + [Z(\tau) - Z(\bar{\tau})]^2\}.$$

В аналізі задачі /2/ важливо з'ясувати тип /1Р/. Це допомагає вирішити питання розв'язності, що в свою чергу диктує вибір алгоритму наближеного розв'язування /2/ та визначає характер апроксимації шуканої густини $q(\tau)$. Неважко переконатися в тому, що /2/ зводиться до сингулярного /1Р/ першого роду з логарифмічною особливістю в ядрі:

$$(L + W)q \equiv \int_{\alpha}^{\beta} q(\tau) \left[\ln \frac{1}{|\tau - \bar{\tau}|} + W(\tau, \bar{\tau}) \right] d\tau = U(\bar{\tau}) \quad /3/$$

$(\alpha < \bar{\tau} < \beta)$

де

$$U(\tau) = U_0 \beta_0^{-1} M^{-1}(\tau); \quad W(\tau, \bar{\tau}) = \beta_0^{-1} M^{-1}(\bar{\tau}) \left\{ [B_0 M(\bar{\tau}) - \right. \\ \left. - 2D(\tau, \bar{\tau})Q(\tau, \bar{\tau})] \ln |\tau - \bar{\tau}| + D(\tau, \bar{\tau})[P(\tau, \bar{\tau}) + Q(\tau, \bar{\tau}) \ln \frac{(\tau - \bar{\tau})^2}{\eta}] \right\},$$

причому $D(\tau, \bar{\tau}) = R(\tau) M(\tau) T^{-1}(\tau, \bar{\tau})$.

Тут $W(\tau, \bar{\tau}) \in C([\alpha, \beta] \times [\alpha, \beta])$, оскільки $\lim_{\tau \rightarrow \bar{\tau}} W(\tau, \bar{\tau}) = B_0 M(\bar{\tau}) \{a_0 + 2\beta_0 \ln [2R(\bar{\tau})M^{-1}(\bar{\tau})]\}$ за умови $M(\bar{\tau}) \neq 0, \alpha < \bar{\tau} < \beta$.

Досліджувати розв'язність /1Р/ можна в різних функціональних просторах, але у всіх випадках потрібно враховувати сингулярну поведінку шуканого розв'язку в околі кінців розімкненої кривої L . Розглянемо розв'язок /3/ у просторі $H_{\mu}^*(\alpha, \beta) \quad (0 < \mu \leq 1)$ функцій, які зображені у вигляді

$$q(\tau) = q^*(\tau) / \hat{R}(\tau), \quad /4/$$

причому $q^*(\cdot) \in H_\mu([\alpha, \beta])$ / клас Гельдера з показником μ а $\hat{R}(\tau) = (\tau - \alpha)^n \cdot (\beta - \tau)^m$ ($0 \leq n, m < 1$).

Вважатимемо, що оператор A діє з банахового простору $H_\mu^*(\alpha, \beta)$ в банахів простір $H_\mu^{*,1}(\alpha, \beta)$, до якого належать функції, похідні яких мають властивість аналогічну до /4/. У частинному випадку, коли $n=m=0,5$ для використовуваних просторів використовують позначення $\tilde{H}_\mu(\alpha, \beta)$, $\tilde{H}_\mu^*(\alpha, \beta)$ відповідно.

Відомо [5], що оператор $L: \tilde{H}_\mu(\alpha, \beta) \rightarrow \tilde{H}_\mu^*(\alpha, \beta)$ за умови $0 < \mu < 0,5$; $|\beta - \alpha| \neq 4$ є неперервно оборотним. Разом із компактністю оператора W це приводить до фредгольмовості A . Таким чином, питання розв'язності IP /3/ вирішується в рамках теорії Фредгольма. Властивості операторів L і W дають змогу одержати IP Фредгольма другого роду:

$$(I + L^{-1}W)q = L^{-1}U \quad /5/$$

з компактним оператором $L^{-1}W$, яке еквівалентне /3/. Таке зображення є корисним для /3/, з міркувань як теорії, так і з чисельного аналізу. Однак під час побудови наближеної схеми розв'язання /5/ виникають проблеми технічного характеру внаслідок складності операторів $L^{-1}W$ та L^{-1} . Тому, на нашу думку, доцільно застосовувати до /3/ метод саморегуляризації, що дає змогу наблизити одержати набагато простіше IP другого роду.

Повернемось до IP /2/. Цілі час аналізу реальних електронно-оптических систем граничні значення потенціалу задають на сукупності кривих $\{L_j\}_{j=1}^M$, а IP типу /2/ подають у вигляді

$$AQ \equiv \sum_{j=1}^M \int_{\alpha_j}^{\beta_j} q_j(\tau) R_j(\tau) K_{ji}(\tau, \bar{\tau}) T_i^{-1}(\tau, \bar{\tau}) M_j(\tau) d\tau = U_0^{(i)} \quad /6/$$

$(i = 1, 2, \dots, M)$

Тут $U_0^{(i)}$ – граничне значення потенціалу на i -ї кривій;

$$T_{ji}(\tau, \bar{\tau}) = \left\{ [R_j(\tau) + R_i(\bar{\tau})]^2 + [Z_j(\tau) - Z_i(\bar{\tau})]^2 \right\}^{1/2};$$

$Z = Z_j(\tau)$, $R = R_j(\tau)$ ($\alpha_j \leq \tau \leq \beta_j$) – параметричні рівняння, що описують криву L_j ($j = 1, 2, \dots, M$);

$\{Z_i(\bar{\tau}), R_i(\bar{\tau})\}$ – деяка фіксована точка на кривій

$$L_i(\alpha_i < \bar{\tau} < \beta_i); M_j(\tau) = \left\{ [Z'_j(\tau)]^2 + [R'_j(\tau)]^2 \right\}^{1/2};$$

$$K_{ji}(\tau, \bar{\tau}) = \sum_{l=0}^4 a_l \eta_{ji}^l - \ln(\eta_{ji}) \sum_{l=0}^4 b_l \eta_{ji}^l.$$

причому

$$\eta_{ji} = \left\{ [R_j(\tau) - R_i(\bar{\tau})]^2 + [Z_j(\tau) - Z_i(\bar{\tau})]^2 \right\} T_{ji}^{-2}(\tau, \bar{\tau}).$$

Розв'язком IP /6/ є Q – густота розподілу зарядів вздовж сукупності кривих $\{L_j\}_{j=1}^M$, тобто $Q = \{q_1(\tau), q_2(\tau), \dots, q_M(\tau)\}$, або інакше, $Q/L_j = q_j(\tau)$, де $\tau \in [\alpha_j, \beta_j]$.

Враховуючи попередні міркування, шукатимемо функції $q_j(\tau)$ у вигляді

$$q_j(\tau) = q_j^*(\tau)(\tau - \alpha_j)^{n_j}(\beta_j - \tau)^{m_j}; \tau \in [\alpha_j, \beta_j]; 0 \leq n_j, m_j < 1,$$

де $q_j^*(\tau) \in H_M([\alpha_j, \beta_j])$. Нехай, відповідно до /1/, величина n_j характеризує сингулярну поведінку розв'язку в околі першої кратної точки кривої L_j , і вважаємо n_j початком L_j ; m_j відповідає крайній точці на кінці L_j .

Приймасмо, що n_j та m_j дорівнюють 0,5, якщо крива L_j своїми кінцями не торкається сусідніх. Якщо ж заряджена поверхня має злам, то її подають як таку, що складається із двох, а характер відповідних сингулярностей визначається таким чином:

$$m_j = n_{j+1} = (\pi - \omega_j \pi) / (2\pi - \omega_j \pi),$$

причому ω_j – кут, утворений дотичними до кривих L_j, L_{j+1} у спільніх точках.

Далі відповідно до основної ідеї методу саморегуляризації /2, 3, 8/, спеціальним чином локалізувавши особливість в ядрі IP /3/, а також зробивши апріорне припущення про те, що функція

$$\Delta_i(\tau) = q_i(\tau)(\tau - \alpha_i)^{n_i}(\beta_i - \tau)^{m_i}$$

мало змінюється на достатньо малому відрізку довжини h , одержимо IP другого роду:

$$\Delta_i(\bar{\tau}) G_i(\bar{\tau}) + \sum_{j=1}^M \int_{\alpha_j}^{\beta_j} q_j(\tau) N_{ji}(\tau, \bar{\tau}) d\tau = U_0^{(i)} \quad (i = 1, 2, \dots, M), \quad (7)$$

де $G_i(\bar{\tau})$ – лінійна комбінація відносно простих одновимірних невласних інтегралів; $N_{ji}(\tau, \bar{\tau})$ – неперервні за обома змінними функції, причому у випадку $i \neq j$ вони просто збігаються з ядрами IP /6/. Зауважимо, також, що при $h \ll 1$ величина $G_i(\bar{\tau})$, незалежно від $\bar{\tau}$, веде себе як $|h \cdot \ln h|$.

При формулюванні проблеми розрахунку осесиметричного електростатичного поля у вигляді IP /6/ останнє допускає просту модифікацію, коли сукупність кривих $\{L_j\}_{j=1}^M$ має симетрію в розташуванні відносно осі OR обраної системи координат ZR . При цьому передбачається також наявність відповідної симетрії у поданні граничних умов. Аналог IP /6/ у такій ситуації може мати вигляд

$$\sum_{j=1}^{M^*} \int_{\alpha_j}^{\beta_j} q_j(\tau) R_j(\tau) [K_{ji}(\tau, \bar{\tau}) T_{ji}^{-1}(\tau, \bar{\tau}) + k_j \hat{K}_{ji}(\tau, \bar{\tau}) \hat{T}_{ji}^{-1}(\tau, \bar{\tau})] M_j(\tau) d\tau = U_0^{(i)} (M^* < M; i=1, 2, \dots, M),$$

де

$$\hat{T}_{ji}(\tau, \bar{\tau}) = \left\{ [R_j(\tau) + R_i(\bar{\tau})]^2 + [Z_j(\tau) + Z_i(\bar{\tau})]^2 \right\}^{1/2},$$

$\hat{K}_{ji}(\tau, \bar{\tau})$ обчислюється аналогічно $K_{ji}(\tau, \bar{\tau})$ з тією відмінністю, що

$$\eta_{ji} = \left\{ [R_j(\tau) - R_i(\bar{\tau})]^2 + [Z_j(\tau) - Z_i(\bar{\tau})]^2 \right\} / \hat{T}_{ji}^2(\tau, \bar{\tau}).$$

Коефіцієнт k_j зі значеннями ± 1 показує наявність симетричної до L_j кривої відносно осі OR , за відсутності симетрії $k_j = 0$.

Для наближеного розв'язування IP /7/ використаємо метод Боголюбова-Куїлєва. Розбиваючи кожний інтервал інтегрування на N_j^* рівних частин та вибираючи контрольні точки посередині кожного підінтервалу, для визначення невідомих значень густини одержуємо систему лінійних алгебраїчних рівнянь:

$$\sum_{j=1}^{M^*} \sum_{t=1}^{N_j^*} q_t^{(j)} A_{k,t}^{(i,j)} = U_0^{(i)} \\ (i = 1, 2, \dots, M; k = 1, 2, \dots, N_j^*),$$

де

$$A_{k,t}^{(i,j)} = \Delta_j(\tau_t^{(j)}) \int_{\tau_t^{(j)} - h_j}^{\tau_t^{(j)} + h_j} \frac{N_{ji}(\tau, \bar{\tau}_k)}{\Delta_j(\tau)} d\tau + \delta_{k,t}^{(i,j)} \Delta_i(\bar{\tau}_k) G_i(\bar{\tau}_k), \quad /8/$$

причому $h_j = (\beta_j - \alpha_j)/2N_j^*$; $\delta_{k,t}^{(i,j)}$ - символ Кронекера; $q_t^{(j)}$ - наближені значення шуканої густини в точках $\tau_t^{(j)} = \alpha_j + h_j(2t-1)$; $\bar{\tau}_k = \alpha_i + h_i(2k-1)$ - точки задоволення граничних умов. Інтеграли в /8/ обчислюються за звичайними квадратурними формулами з потрібною точністю.

Важливим моментом у розв'язуванні IP /7/ є оцінка точності отриманого розв'язку. Цю оцінку виконують апостеріорно [6, 7].

Після знаходження густини розподілу зарядів уздовж кривих L_j ($j = 1, 2, \dots, M$) потенціал осесиметричного електростатичного поля в довільній точці (\bar{Z}, \bar{R}) півплощини $R \geq 0$ можна визначити за формулou

$$U(\bar{Z}, \bar{R}) = \sum_{j=1}^M \sum_{t=1}^{N_j^*} q_t^{(j)} \Delta_j(\tau_t^{(j)}) \int_{\tau_t^{(j)}+h_j}^{\tau_t^{(j)}} R_j(\tau) \bar{K}_j(\tau) M_j(\tau) \Delta_j^{-1}(\tau) \bar{T}_j^{-1}(\tau) d\tau, /9/$$

де $\bar{T}_j(\tau) = 2[R(\tau)\bar{R}]^{1/2}/k$,

$$\text{а } \bar{K}_j(\tau) = \sum_{l=0}^4 a_l \bar{\eta}_j^l - \ln(\bar{\eta}_j) \sum_{l=0}^4 b_l \bar{\eta}_j^l,$$

причому

$$\bar{\eta}_j = \{[R_j(\tau) - \bar{R}]^2 + [Z_j(\tau) - \bar{Z}]^2\} / \bar{T}_j^2(\tau).$$

Далі, виконуючи диференціювання виразу в правій частині формулі /9/ відповідно до \bar{Z} та \bar{R} , отримуємо, з точністю до знака, компоненти вектора напруженості. Наведемо лише першу компоненту

$$\frac{\partial U}{\partial \bar{Z}} = \sum_{j=1}^M \sum_{t=1}^{N_j^*} q_t^{(j)} \Delta_j(\tau_t^{(j)}) \int_{\tau_t^{(j)}+h_j}^{\tau_t^{(j)}} R_j(\tau) [Z_j(\tau) - \bar{Z}] \times \bar{E}_j(\tau) \Delta_j^{-1}(\tau) \bar{T}_j^{-3}(\tau) \bar{\eta}_j^{-1} M_j(\tau) d\tau, /10/$$

де $\bar{E}_j(\tau)$ - апроксимація повного еліптичного інтеграла другого роду згідно з формулou /4/:

$$\bar{E}_j(\tau) = 1 + \sum_{l=0}^4 p_l \bar{\eta}_j^l - \ln(\bar{\eta}_j) \sum_{l=0}^4 f_l \bar{\eta}_j^l.$$

Зауважимо, що під час визначення $\partial U / \partial \bar{Z}$ у безпосередній близькості кривої L_j точність знижується наближеного обчислення відповідного інтеграла у формулі /10/, що пояснюється різким зростанням похідної підінтегральної функції. Для поліпшення ситуації до підінтегрального виразу застосовують згладжувальний множник H^2 , який додівнює квадратні відстані точки з координатами (\bar{Z}, \bar{R}) до кривої L_j .

Після застосування квадратурного правила до такого "нерегулярного" інтеграла залишається просто поділити результат на H^2 .

Описані в даній роботі алгоритми послужили математичною основою відповідного програмного забезпечення для розрахунку електростатичних полів осесиметричних електронно-оптических систем /ЕОС/ на базі персонального комп'ютера IBM PC/AT. Мова програмування – фортран-77. Створений комплекс здатний розв'язувати широке коло практичних задач і забезпечує діалоговий режим експлуатації.

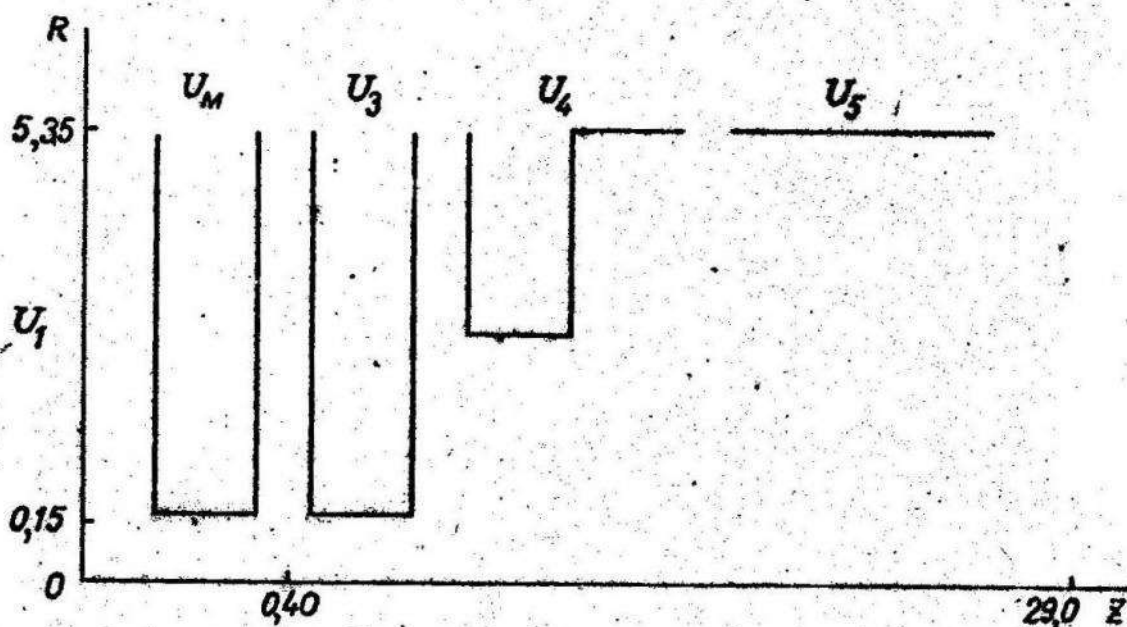


Рис. 1.

Одна з реальних ЕОС подана на рис. 1. Подібні системи застосовують для проектування нових електронно-променевих пристрій. Їх аналіз провадять з метою оцінки та поліпшення електронно-оптических характеристик систем формування та фокусування. Дані ЕОС моделюється за допомогою одинадцяти відрізків прямих, що об'єднуються в чотири джерела, на яких задані різні потенціали. Врахування симетрії у розташуванні ЕОС відносно осі OR забезпечує нульове значення потенціалу на катоді ($U_1 = 0$). Характерними ознаками даної ЕОС є малі відстані між джерелами, з також істотні відмінності у значеннях потенціалів на джерелах. Скажімо, на модуляторі

5-3174

задається значення потенціалу $U_M = -5$, тоді як на інших джерелах потенціали розподілені так: $U_3 = 500$, $U_4 = 650$, $U_5 = 10000$.

Для розрахунку поля, створеного такою ЕОС, використовуються розв'язки так званих базових задач, коли на кожному із джерел послідовно задається значення потенціалу, що дорівнює одиниці, а на решті — нулі. Тоді для розрахунку конкретного поля потрібно лише утворити лінійну комбінацію розв'язків базових задач. Легко бачити, що в нашій ситуації таких задач с. чотири.

Цей спосіб подання поля найефективніший, оскільки дає змогу для фіксованої геометрії ЕОС розв'язувати 1Р лише один раз, незважаючи на конкретні значення потенціалів на електродах.

Рис. 2 Ілюструє розподіл потенціалу в околі катоду та модулятора. Розроблений комплекс програм забезпечує також розрахунок напруженостей осесиметричного електростатичного поля та потенціалу запирання.

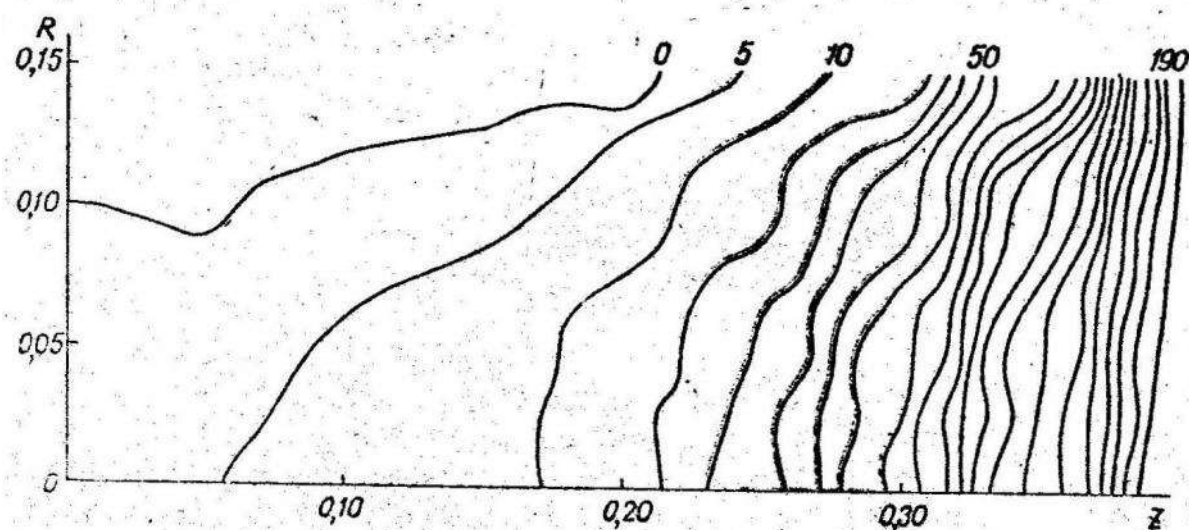


Рис. 2.

Наприкінці відзначимо, що використання сучасних засобів обчислювальної техніки у поєднанні з продуманим математичним забезпеченням дає змогу будувати ефективні розв'язки задач моделювання реальних фізичних явищ.

1. А н т о н е н к о О.Ф. Численное решение интегрального уравнения I-го рода для задачи Дирихле в случае тел вращения // Мат. пробл. геофизики. Новосибирск, 1969. Вып.1. С.202-211.
2. Д м и т р и ё в В.И., З а х а р о в Е.В. Интегральные уравнения в краевых задачах электродинамики. М.: Изд-во МГУ, 1987. 167 с.
3. Д м и т р и ё в В.И., З а х а р о в Е.В. О численном решении некоторых интегральных уравнений среды гольма I-го рода // Вычисл. методы и программирование. М.: Изд-во МГУ, 1968. Вып. 10. С.49-54.
4. Д и м а р с к и й Я.С., Л о з и н с к и й Н.Н., М а к у ш к и н А.Т. Справочник профессора: В 2 т. Л.: Судпромгиз. 1963. Т.1. 628 с.
5. И л ь и н с к и й А.С., Ш е с т о п а л о в Ю.В. Применение методом спектральной теории в задачах распространения волн. М.: Изд-во МГУ, 1989. 184 с.
6. Л ю д к е в и ч И.В., Г о р д и й - ч у к В.И., Б а к а л е ц В.А., М а р и н о к Л.О. Численное решение пространственных задач теории потенциала. Львов: МГУ, 1979. 116 с.
7. Л ю д к е в и ч И.В., О с т у д и ч Б.А. Численное решение граничных задач теории потенциала в электронной оптике методом саморегуляризации. Львов, 1983. 43 с.
8. Рукопись деп. в УкрНИИТИ 23.11.83, № 1455Ук-Д83.
9. Т и х о н о в А.Н., Д м и т р и ё в В.И. Метод расчета распределения тока в системе линейных вибраторов и диаграммы направленности этой системы // Вычисл. методы и программирование. М.: Изд-во МГУ, 1968. Вып.10. С.3-8.

Стаття надійшла до редколегії 08.02.94

УДК 519.6

Б.М.Голуб, Ю.П.Оліарник

ТУНЕЛЬНИЙ АЛГОРІТМ ПОШУКУ ГЛОБАЛЬНОГО МІНІМУМУ НЕПЕРЕРВНОЇ ФУНКІЇ

У даній статті розглядається метод пошуку глобального мінімуму неперервної функції $F(x)$ на компактній множині $X \subset \mathbb{R}^n$.

I. Тунельна функція. Нехай $x_1^* \in X$ — деяка ізольована точка мінімуму функції $F(x)$. Для пошуку точок x , в яких $F(x) < F(x_1^*)$, у праці [1] запропоновано використовувати допоміжну функцію:

$$P(x, z, \varrho) = \frac{e^{-\|x-x_1^*\|^2/\varrho^2}}{F(x)+z}, \quad /1/$$

де $F(x)+z > 0$ для всіх $x \in X$. Функцію $P(x, z, \varrho)$ називають тунельною, або наповнювальною.

© Голуб Б.М., Оліарник Ю.П., 1995

Позначимо $D = \min_{x \in S_1} \|x - x_1^*\|$, де

$$S_1 = \{x \in X : F(x_1^*) < F(x_1^* + \alpha(x - x_1^*)) < F(x_1^* + \beta(x - x_1^*)) < F(x), 0 < \alpha < \beta < 1\}.$$

Припустимо, що множина $\partial F(x)$ субдіференціалів функції $F(x)$ обмежена на X і

$$L = \max_{x \in X} \|\partial F(x)\|.$$

Нехай параметри z та ρ підібрані таким чином, що виконується нерівність

$$\frac{\rho^2}{z + F(x_1^*)} \leq \frac{2DC_1}{L}, \quad /2/$$

де C_1 – деяка константа, $0 < C_1 < 1$. Тоді /2/ функція $P(x, z, \rho)$ не має стаціонарних точок на множині

$$A = \{x \in X : F(x) \geq F(x_1^*)\} \setminus \{x_1^*\}.$$

Таким чином, якщо відношення $\rho^2/(z + F(x_1^*))$ вважати достатньо малим /щоб виконувалося /2// і застосувати деякий релаксаційний алгоритм локальної мінімізації з початкової точки поблизу x_1^* , то траекторія спуску або виходить з множини X , або збігається до точки $\bar{x} \notin A$.

З іншого боку, якщо z та ρ підібрані так, що

$$0 < \frac{\rho^2}{z + F(x_1^*)} < C_0 < \frac{2DC_1}{L},$$

де C_0 – деяка константа /2/, то функція $P(x, z, \rho)$ не має стаціонарних точок на всій множині $X \setminus \{x_1^*\}$.

В отриманому варіанті тунельного методу основною проблемою є вибір параметрів z та ρ який забезпечує виконання нерівності

$$C_0 < \rho^2/(z + F(x_1^*)) < 2DC_1/L, \quad /3/$$

тим паче, що значення констант C_0, C_1, D та L , як правило, невідомі.

2. Модифікована наповнювальна функція. Нехай x^* – точка глобального мінімуму функції $F(x)$ на X і $F^* = F(x^*)$. Евакуємо задачу оптимізації розв'язаною з точністю $\varepsilon > 0$ звичайним методом з використанням модифікованої наповнювальної функції $R(x, \rho)$

$$R(x, \rho) = \frac{1}{F(x) - F_1^* + \varepsilon} e^{-\|x - x_1^*\|^2/\rho^2},$$

де $F_1^* = F(x_1^*)$, x_1^* – деяка точка локального мінімуму.

Очевидно, що

$$x_i^* = \arg \max_{\mathbf{x}} R(\mathbf{x}, \rho).$$

Теорема. Якщо

$$\rho^2 < \frac{2\bar{D}\varepsilon}{L},$$

/4/

де $\bar{D} = \min \{ L, D \}$, то функція $R(\mathbf{x}, \rho)$ не має ста-
ціонарних точок на множині A .

Доведення. Нехай $\bar{\mathbf{x}} \in A$.

Позначимо

$$\begin{aligned} \tilde{R}(\alpha) &= R(\bar{\mathbf{x}} + \alpha(x_i^* - \bar{\mathbf{x}}), \rho), \\ G(\alpha) &= F(\bar{\mathbf{x}} + \alpha(x_i^* - \bar{\mathbf{x}})) - F_i^* + \varepsilon. \end{aligned}$$

Розглянемо різницю $\tilde{R}(\alpha) - \tilde{R}(0)$:

$$\begin{aligned} \tilde{R}(\alpha) - \tilde{R}(0) &= \frac{1}{G(\alpha)} e^{-(1-\alpha)^2 \|x_i^* - \bar{\mathbf{x}}\|^2 / \rho^2} - \frac{1}{G(0)} e^{-\|x_i^* - \bar{\mathbf{x}}\|^2 / \rho^2} = \\ &= \frac{G(0) - G(\alpha)}{G(\alpha)G(0)} e^{-\|x_i^* - \bar{\mathbf{x}}\|^2 / \rho^2} + \frac{1}{G(0)} [e^{-(1-\alpha)^2 \|x_i^* - \bar{\mathbf{x}}\|^2 / \rho^2} - e^{-\|x_i^* - \bar{\mathbf{x}}\|^2 / \rho^2}]. \end{aligned}$$

Розділимо ліву та праву частини на $\alpha > 0$ та спрямуємо α до $+0$. У результаті отримаємо

$$R'(\bar{\mathbf{x}}; x_i^* - \bar{\mathbf{x}}) = \left(-\frac{F'(\bar{\mathbf{x}}; x_i^* - \bar{\mathbf{x}})}{G(0)} + \frac{2\|x_i^* - \bar{\mathbf{x}}\|}{\rho^2} \right) \frac{1}{G(0)} e^{-\|x_i^* - \bar{\mathbf{x}}\|^2 / \rho^2}, \quad /5/$$

де $R'(\bar{\mathbf{x}}; x_i^* - \bar{\mathbf{x}})$ та $F'(\bar{\mathbf{x}}; x_i^* - \bar{\mathbf{x}})$ – похідні по напрямку $x_i^* - \bar{\mathbf{x}}$ функцій $R(\mathbf{x}, \rho)$ та $F(\mathbf{x})$ в точці $\bar{\mathbf{x}}$.

Припустимо, що $R'(\bar{\mathbf{x}}; x_i^* - \bar{\mathbf{x}}) \leq 0$. Тоді з /5/ ви-
пливає

$$2\|x_i^* - \bar{\mathbf{x}}\| / \rho^2 \leq F'(\bar{\mathbf{x}}; x_i^* - \bar{\mathbf{x}}) / G(0).$$

Оскільки $F'(\bar{\mathbf{x}}; x_i^* - \bar{\mathbf{x}}) = \max_{a \in \partial F(\bar{\mathbf{x}})} \langle a, x_i^* - \bar{\mathbf{x}} \rangle \leq L \|x_i^* - \bar{\mathbf{x}}\|$, то да-
лі отримаємо

$$2\|x_i^* - \bar{\mathbf{x}}\| / G(0) \leq \rho^2 L \|x_i^* - \bar{\mathbf{x}}\|$$

або, з урахуванням /4/,

$$G(0) < \bar{D}\varepsilon \leq \varepsilon. \quad /6/$$

Оскільки $G(0) = F(\bar{\mathbf{x}}) - F_i^* + \varepsilon \geq \varepsilon$, то з /6/ отримаємо
протиріччя. А тому

$$R'(\bar{\mathbf{x}}; x_i^* - \bar{\mathbf{x}}) > 0. \quad /7/$$

Аналогічно можна показати, що

$$R'(\bar{\mathbf{x}}; \bar{\mathbf{x}} - x_i^*) = - \left(\frac{F'(\bar{\mathbf{x}}; \bar{\mathbf{x}} - x_i^*)}{G(0)} + \frac{2\|\bar{\mathbf{x}} - x_i^*\|}{\rho^2} \right) \frac{1}{G(0)} e^{-\|x_i^* - \bar{\mathbf{x}}\|^2 / \rho^2}. \quad /8/$$

Припустимо, що $R'(\bar{x}; \bar{x} - x_1^*) \geq 0$. Тоді з /8/ випливає

$$2\|\bar{x} - x_1^*\|G(0) \leq \rho^2 |F'(\bar{x}; \bar{x} - x_1^*)|.$$

З цієї нерівності легко отримати протиріччя типу $\varepsilon < \varepsilon$.

Отже

$$R'(\bar{x}; \bar{x} - x_1^*) < 0.$$

/9/

З означення похідної за напрямом та нерівностей /6/, /9/, випливає, що функція $R(\bar{x} + \alpha(x_1^* - \bar{x}), \rho)$ є строго монотонно спадною в околі точки \bar{x} . Отже, точка \bar{x} не є точкою мінімуму. А оскільки /6/ і /9/ - строгі нерівності, то \bar{x} не може бути також сідовою точкою.

Теорема доведена.

Припустимо, що множина $B = \{x \in X : F(x) \leq F_1^* - \varepsilon\}$ непорожня. Тоді на границі множини B функція $R(x, \rho) = \infty$. Звідси випливає існування стаціонарних точок функції $R(x, \rho)$ на X для довільного ρ .

Зауважимо, що на відміну від /3/, в оцінці /4/ для ρ^2 відома нижня границя.

3. Алгоритм глобальної мінімізації. Сформулюємо алгоритм пошуку глобального мінімуму неперервної функції $F(x)$ на множині X , використовуючи модифіковану наповнювальну функцію $R(x, \rho)$.

Виберемо числа ρ_0 , $0 < \gamma < 1$, $\delta > 0$, $\varepsilon > 0$ та початкову точку $x_0 \in X$. Приймемо $\varrho = \rho_0$.

Опишемо загальний хідок алгоритму. Нехай точка $x_k \in X$ вже обчислена.

1. Оберемо за початкову точку x_k та застосуємо деякий релаксаційний метод локального пошуку екстремуму. Отримаємо точку мінімуму x_k^* .

2. За допомогою деякого методу локальної оптимізації шукаємо стаціонарну точку на множині X функції

$$R(x, \rho) = \frac{1}{F(x) - F(x_k^*) + \varepsilon} e^{-\|x - x_k^*\|^2/\rho^2}.$$

За початкові можна вибрати точки $y_i = x_k^* + \delta e_i$, $i = 1, \overline{n}$, де e_i - i -ий орт. Пшук-принимаємо, якщо знайдена така точка, що задовільняється одна з умов:

- а) \bar{x}_k - стаціонарна точка;
- б) $R(\bar{x}_k, \rho) < 0$;
- в) $R(\bar{x}_k, \rho) > R(x_k^*, \rho)$;
- г) $F(\bar{x}_k) < F(x_k^*)$.

Якщо точка \bar{x}_k не знайдена, то слід перейти до кроку 4.

3. Якщо $F(\bar{x}_k) \geq F(x_k^*)$, то приймаємо $\rho = \gamma\rho$ та переходимо до кроку 2. У протилежному випадку приймаємо $x_{k+1} = \bar{x}_k$, $k = k + 1$ та переходимо до кроку 1.

4. Вважаємо x_k^* точкою глобального мінімуму і припиняємо роботу алгоритму.

Враховуючи теоретичні властивості функції $R(x, \rho)$, легко бачити, що за скінченну кількість кроків алгоритм згенерує точку x_k^* таку, що $F(x_k^*) < F^* + \varepsilon$ /при відповідній точності розв'язування задач локальної оптимізації/.

1. Ge R.P. A filled function method for finding a global minimizer of a function of several variables // Presented at the Dundee Conference on Numerical Analysis, Dundee, Scotland, 1983.

2. Ge R.P. The theory of filled function method for finding global minimizers of nonlinearly constrained minimization problems // J. of Computational Mathematics, 1987, Vol. 5, N1. P.1-9.

Стаття надійшла до редколегії 04.03.94

УДК 519.6

Б.М.Голуб, Ю.М.Щербина

РЕЛАКСАЦІЙНИЙ АЛГОРИТМ КВАЗІНЬЮТОНОВОЇ МОДИФІКАЦІЇ МЕТОДУ ЛІНЕАРИЗАЦІЇ

1. Постановка проблеми. Розглянемо задачу оптимізації:

$$\min_{x \in R^n} \{f_0(x) : f_i(x) \leq 0, i \in J = \{1, 2, \dots, m\}\}, \quad /1/$$

де $f_i(x)$, $i \in \{0\} \cup J$ - достатньо гладкі функції.

Для пошуку мінімуму функції $f_0(x)$ при заданих обмеженнях у праці [2] запропонована квазіньютонова модифікація методу лінеаризації Пшеничного, яка показала високу ефективність під час розв'язування широкого класу тестових та практичних задач.

У разі виконання певних умов, накладених на функції $f_i(x)$ доведено [2] надлінійну швидкість збіжності послідовності $\{x_k\}$, яку генерує квазіньютонова модифікація методу лінеаризації, до точки мінімуму задачі /1/.

Однак недлінійну швидкість збіжності вдається досягнути, взагалі кажучи, за рахунок втрати релаксаційності алгоритму по

© Голуб Б.М., Щербина Ю.М., 1995

точній штрафній функції:

$$\Phi_N(x) = f_0(x) + N F(x),$$

де $N > 0$ - достатньо велике число; $F(x) = \max\{0, f_1(x), \dots, f_m(x)\}$.

2. Побудова алгоритму. Сформулюємо квазіньютонів алгоритм методу лінеаризації зі строго монотонним спаданням функції $\Phi_N(x)$.

Позначимо

$$J_\delta(x) = \{i \in J : f_i(x) \geq F(x) - \delta\}, \quad \delta > 0.$$

Поставимо у відповідність точці x такі задачі квадратичного програмування:

$$\min_p \left\{ \langle f'_0(x), p \rangle + \frac{1}{2} \langle p, Ap \rangle : \langle f'_i(x), p \rangle + f_i(x) \leq 0, i \in J_\delta(x) \right\}, \quad /2/$$

$$\min_y \left\{ \frac{1}{2} \|y\|^2 : \langle f'_i(x), y \rangle + f_i(x+p) \leq 0, i \in J_\delta(x) \right\}, \quad /3/$$

де A - симетрична додатно означена матриця, $\langle \cdot, \cdot \rangle$ - скалярний добуток векторів, $\|y\|^2 = \langle y, y \rangle$.

Позначимо розв'язки та множники Лагранжа задач /2/ і /3/ відповідно через $p(x)$, $u^i(x)$ та $y(x)$, $u^i(x)$, $i \in J_\delta(x)$.

Матрицю A для допоміжної задачі /2/ будуємо за правилом /2/.

Нехай матриця A_k відома. Обчислимо матрицю \tilde{A}_{k+1} за формулами

$$\tilde{A}_{k+1} = A_k + \Delta A_k, \quad /4/$$

де ΔA_k - поправкова квазіньютонова матриця /2/.

За допомогою модифікованого LDL^T розкладу Холеського /2/ будуємо додатно означену матрицю A_{k+1} :

$$A_{k+1} = L_{k+1} D_{k+1} L_{k+1}^T = \tilde{A}_{k+1} + E_{k+1}, \quad /5/$$

де E_{k+1} і D_{k+1} - невід'ємні діагональні матриці, L_{k+1} - однічна нижня трикутна матриця.

Позначимо через I_n одиничну матрицю порядку n .

Нехай вибрані числа $N > 0$, $\delta > 0$, $0 < \varepsilon < 1/2$, $S > 1$ та початкове наближення x_0 . Приймемо $A_0 = I_n$.

Опишемо загальний крок алгоритму. Припустимо, що точка x_k та матриця A_k вже побудовані.

1. Розв'язуючи задачу /2/ при $x = x_k$, $A = A_k$, обчислити $p_k = p(x_k)$ та $u_k^i = u^i(x_k)$, $i \in J_\delta(x_k)$.

2. Розв'язуючи задачу /3/ при $x = x_k$, $p = p_k$, обчислити $y_k = y(x_k)$.

3. Починаючи з $\alpha = 1$ дробити α шляхом поділу на піл до першого виконання нерівності

$$\Phi_N(x_k + \alpha p_k + \alpha^2 y_k) \leq \Phi_N(x_k) - \alpha \varepsilon \langle p_k, A_k p_k \rangle. \quad /6/.$$

4. Прийняти

$$x_{k+1} = x_k + \alpha_k p_k + \alpha_k^2 y_k. \quad /7/$$

5. Переобчислити матрицю A_{k+1} за формулами /4/-/5/. Якщо

$$\max_i a_{k+1}^i / \min_i d_{k+1}^i \leq s$$

(тут a_{k+1}^i та d_{k+1}^i – i -ті діагональні елементи матриць A_{k+1} та D_{k+1}), то перейти до кроку 1. У протилежному випадку прийняти $A_{k+1} = I_n$ і перейти до кроку 1.

3. Достатні умови збіжності. Справедливе таке твердження.

Теорема 1. Нехай виконуються умови:

1/ множина $\Omega = \{x : \Phi_N(x) \leq \Phi_N(x_0)\}$ компактна;

2/ градієнти функцій $f_i(x)$, $i \in \{0\} \cup J$ в Ω задовільняють умову Ліпшиця;

3/ задачі /2/ та /3/ мають розв'язок для довільного $x \in \Omega$, причому $\sum_{i \in J_f(x)} u^i(x) \leq N$.

Тоді алгоритм буде послідовність точок $\{x_k\}$, для якої $p(x_k) \rightarrow 0$, $y(x_k) \rightarrow 0$, $F(x_k) \rightarrow 0$ при $k \rightarrow \infty$ і в довільній граничній точці цієї послідовності задовільняються необхідні умови мінімуму для задачі /1/.

Доведення цієї теореми неістотно різнилось від доведення аналогічного результату в праці /2/.

4. Локальна швидкість збіжності. Припустимо, що $f_i(x) \in C^3(\Omega)$, $i \in \{0\} \cup J$, а розв'язок x_* задачі /1/ – єдина стаціонарна точка в Ω .

Позначимо через $\mathcal{L}(x, u)$ функцію Лагранжа задачі /2/:

$$\mathcal{L}(x, u) = f_0(x) + \sum_{i \in J} u^i(x) f_i(x).$$

Наступне твердження дає оцінку швидкості збіжності алгоритму в околі точки x_* .

Теорема 2. Припустимо, що виконуються умови теореми 1, а також

1/ градієнти $f'_i(x_*)$, $i \in J_* = \{i \in J : f_i(x_*) = 0\}$, лінійно незалежні;

2/ $u_*^i = u^i(x_*) > 0$, $i \in J_*$;

3/ $\langle \mathcal{L}_{xx}''(x_*, u_*) p, p \rangle > 0$ для всіх $p \neq 0$, які задовільняють рівності $\langle f_i'(x_*), p \rangle = 0$, $i \in J_*$, причому матриця $\mathcal{L}_{xx}''(x_*, u_*)$ невироджена;

4/

$$\lim_{K \rightarrow \infty} \| [A_K - \mathcal{L}_{xx}''(x_*, u_*)] p_K \| / \| p_K \| = 0.$$

Тоді алгоритм генерує послідовність точок $\{x_K\}$, для якої

$$\lim_{K \rightarrow \infty} \| x_{K+1} - x_* \| / \| x_K - x_* \| = 0.$$

Доведення цього результату доволі громіздке, тому в даній статті не наведене. Відзначимо лише, що воно за схемою близьке до відповідних викладок праці [4].

5. Обчислювальний аспект. Вибір числових параметрів алгоритму може істотно впливати на його ефективність. Деякі рекомендації стосовно вибору значень ε , S , δ , N а, також методики розв'язування допоміжної задачі [2] містять праці [2, 3] у статті [1] докладно описаний процес перерозрахунку факторів Холеського матриць A_{K+1} .

Відзначимо, що крок 2 алгоритму істотно збільшує обсяг обчислень, на кожній ітерації порівняно з квазіньютоновою модифікацією методу лінеаризації [2]. Однак додатковий крок у [7] у напрямі допустимої множини задачі [1] сприяє досягненню нерівності [6] без надмірного дроблення Δ . Окрім цього, область надлінійної твидкості збіжності даного алгоритму набагато більша. Ці міркування підтверджують також чисельний експеримент на низці тестових задач.

Наприкінці зауважимо, що алгоритм очевидно може бути застосований до пошуку мінімуму функції на множині, заданій системою рівностей і нерівностей. За наявності серед обмежень простих типу $a \leq x \leq b$ алгоритм доцільно модифікувати за схемою, викладеною у праці [3].

І. Голуб Б.М. Одна схема побудови квазіньютонівських алгоритмів для безумовної мінімізації функції // Вісн. Львів. ун-ту. Сер. мех.-мат. 1989. Вип.29. С.22-24. 2. Щербина В.Н., Голуб Б.М. Квазиньютоновская модификация метода линеаризации // Кибернетика. 1988. № 6. С.66-71. 3. Щербина В.Н., Голуб Б.М. Модификация метода линеаризации для решения задачи математического программирования на простом множестве типа параллелепипеда // Матем. методы и физико-техн. поля. 1989. № 30. С.24-28.

Стаття надійшла до редколегії 04.03.94

І.І.Дияк, В.Б.Марчук

ЗАСТОСУВАННЯ ІТЕРАЦІЙНИХ МЕТОДІВ
ДЛЯ ДОСЛІДЖЕННЯ КОМБІНОВАНИХ СХЕМ
МЕТОДІВ СКІНЧЕНИХ ТА ГРАНИЧНИХ ЕЛЕМЕНТІВ

Побудова адаптивних схем та алгоритмів розв'язання задач теорії пружності, які дають змогу апостеріорно оцінювати похибку одержаних результатів - одна з найактуальніших проблем досліджень у теорії та практиці застосувань методу скінчених елементів /МСЕ/ і методу граничних елементів /МГЕ/. Ці дослідження спрямовані на адектичне поповнення числових розв'язків як в МСЕ, так і в МГЕ.

Головним чином чотири типи адаптивного поповнення числових розв'язків використовуються у моделюванні реальної фізичної поведінки об'єктів:

d - адаптивність /використання моделей різної вимірності для різних частин об'єкта /7/;

h - адаптивність /досягнення належної точності чисельного розв'язку, подрібнення сітки елементів з використанням даного типу елемента/;

p - адаптивність /в цьому випадку дискретизаційна сітка збігається, а точність досягається за рахунок зростання порядку використовуваних апроксимаційних поліномів/;

$h\text{-}p$ - адаптивність, яка є комбінацією h та p версій.

У розвитку комбінованих схем МСЕ та МГЕ побудова адаптивних схем та алгоритмів - відкрите питання. При цьому ефективність програмного забезпечення для розв'язання систем лінійних алгебраїчних рівнянь /СЛАР/, які одержують в результаті застосування побудованих алгоритмів, великою мірою визначає ефективність власне підходу.

Відомі підходи комбінування МСЕ та МГЕ /6, 8/ не приділяють уваги розробці спеціальних алгоритмів розв'язання СЛАР. Здебільшого використовуються прямі методи розв'язання СЛАР.

Із розробкою ітераційних методів, які для СЛАР великих порядків мають вищі показники ефективності, ніж прямі методи /5/, та враховуючи, що в адаптивних схемах одержуємо добре початкове наближення до розв'язку з попереднього кроку, застосування ітераційних методів є перспективним.

©Дияк І.І., Марчук В.Б., 1995

Відомо, що в разі вдалої нумерації вузлів, а саме коли останні вузли СЕ області є першими для границі ГЕ області, загальна матриця системи для комбінованої схеми має вигляд, як на рис. I.

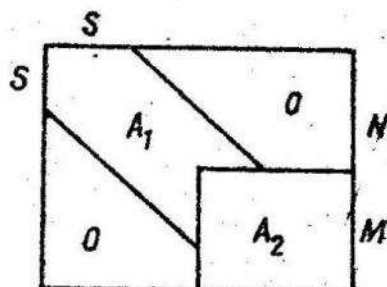


Рис. I

тут A_1 - симетричний блок стрічкової структури, який одержуємо в результаті СЕ апроксимації; A_2 - несиметричний блок, який одержуємо в результаті ГЕ апроксимації.

Більшість відомих ітераційних методів розв'язання СЛАР ефективні для систем зі симетричними додатно визначеними матрицями. Відомі підходи, які ґрунтуються на симетризації матриці комбінованого підходу. Водночас у праці [5] показано, що симетризація допустима для обмеженого кола задач.

З огляду на це у даній роботі розроблений та реалізований у вигляді C^{++} коду підхід для розв'язання систем з матрицями структури, зображененої на рис. I, який ґрунтуються на модифікації методу спряженых градієнтів [4].

Знаходимо розв'язок СЛАР

$$Au = b \quad /1/$$

з використанням рекурсивної процедури:

$$u^{n+1} = u^n + \lambda_n r^n, \quad /2/$$

де r^n - вектор напряму; λ_n - скаляр, який мінімізує в напрямі r^n квадратичний функціонал:

$$F(u) = \frac{1}{2}(u, Au) - (u, b) + c, \quad /3/$$

Скаляр λ_n в /2/ обчислюємо зі співвідношення

$$\lambda_n = \frac{z^n, T z^n}{r^n, T r^n}. \quad /4/$$

Тут нев'язку z^n знаходимо з виразу

$$z^n = b - Au^n, \quad /5/$$

або

$$z^n = z^{n-1} - \lambda_{n-1} A r^{n-1}, \quad /6/$$

Використання співвідношення /6/ економіше, тому що обчислення добутку $A p^{n-1}$ використовується також для λ_{n-1} /див. /4/. Знаходження напряму для ітерації задаємо

$$p^n = \begin{cases} z^0, & n=0, \\ z^n + \alpha_n p^{n-1}, & n \geq 1, \end{cases} \quad /7/$$

де α_n обчислюється з

$$\alpha_n = \frac{z^{n,T} z^n}{z^{n-1,T} z^n}. \quad /8/$$

Критерієм спинення ітераційного процесу є умова, що величина

$$\varepsilon = \left(\frac{z^{n,T} z^n}{\delta^n \delta} \right)^{1/2} \quad /9/$$

менша від заданої точності TOL .

Якщо застосуємо /2/, /4/, /6/, /7/ і /8/ до СЛАР вигляду

$$(Q^{-1}A)u = Q^{-1}b, \quad /10/$$

то отримаємо прискорений ітераційний метод. Матриця Q може бути матрицею основного ітераційного методу, приміром Якобі чи Зейделя. Система /10/ ліпше зумовлена, ніж вихідна система.

Тоді параметр ε цієї системи обчислюємо за формулою

$$\varepsilon = \left(\frac{\delta^{n,T} \delta^T}{(Q^{-1}b)^T (Q^{-1}b)} \right)^{1/2}, \quad /11/$$

де

$$\delta^n = Q^{-1}z^n. \quad /12/$$

Описаний метод спряжених градієнтів з прискоренням застосовується для систем зі симетричною матрицею. Якщо A - несиметрична, то симетричну систему отримуємо заміною Q^{-1} в /10/ на A^T . Проте матриця системи одержана у такий спосіб, має число зумовленості більше, ніж вихідна матриця. Отже, ітераційний процес у такому випадку вимагає більшої кількості ітерацій. Поліпшений метод запропонований у праці /5/. Цей метод побудований на основі /2/, /6/ і /7/ та додаткового визначення вектора \bar{p}^n , який обчислюється зі співвідношення

$$\bar{p}^n = \begin{cases} \bar{z}^0 = z^0, & n=0, \\ \bar{z}^n + \alpha_n \bar{p}^{n-1}, & n \geq 1, \end{cases} \quad /13/$$

де

$$\bar{z}^n = z^{n-1} - \lambda_{n-1} A^T \bar{p}^n. \quad /14/$$

Тепер λ_n і α_n визначаються як

$$\lambda_n = \frac{\bar{z}^{n,T} z^n}{\bar{p}^{n,T} A p^n}; \quad /15/$$

$$\alpha_n = \frac{\bar{z}^{n,T} z^n}{\bar{z}^{n-1,T} z^{n-1}}. \quad /16/$$

Отже, модифікований алгоритм подається співвідношеннями /2/ /6/, /7/, /13/, /14/, /15/ і /16/. При цьому елементи матриці Q визначаються

$$q_{ij} = \begin{cases} a_{ij}, & i=j, \\ 0, & i \neq j. \end{cases} \quad /17/$$

Цей алгоритм можна подати у такому вигляді:

```

 $u = u^0$  // початкове наближення
 $z = \delta - Au$  // нев"язка
 $\delta = Q^{-1}z$  // нормалізована нев"язка
 $DELTAD = \delta^T \delta$  // похибка
IF (DELTAD < TOL) → STOP // умова спинення
 $p = \bar{p} = \bar{\delta} = \delta$ 
:  $h = Ap$ 
 $h_1 = Q^{-1}h$ 
 $\lambda = DELTA0 / p^T h_1$  // скаляр для мінімізації
 $u = u + \lambda p$  // обчислюємо наступне набли-
// ження
 $\delta = \delta - \lambda h_1$  // наступна нормалізована
// нев"язка
 $DELT1 = \delta^T \delta$  // похибка
IF DELT1 < TOL → STOP // умова спинення
 $h = Q^{-1}\bar{p}$ 
 $h_1 = A^T h$ 
 $\bar{\delta} = \bar{\delta} - \lambda h_1$  // наступна нормалізована
// нев"язка
 $DELT1 = \bar{\delta}^T \delta$  // похибка
 $\alpha = DELT1 / DELTO$ 
 $DELTO = DELT1$ 
 $p = \delta + \alpha p$  // вектор напряму
 $\bar{p} = \bar{\delta} + \alpha \bar{p}$  // вектор напряму
GOTO R // повернення на крок R.

```

Даний алгоритм реалізований у вигляді програми на мові *C++*. Для розв'язання систем великих розмірів передбачена можливість використання зовнішньої пам'яті ПЕОМ.

Приклад. Як текстову задачу розглянемо застосування комбінованого скінченно-границю елементного підходу для визначення пружно-деформівного стану в об'єкті, поперечний переріз якого поданий на рис. 2. Як бачимо на межі Γ_1 задається умова хордового зачленення, на Γ_2 - нормальнє одиничне навантаження.

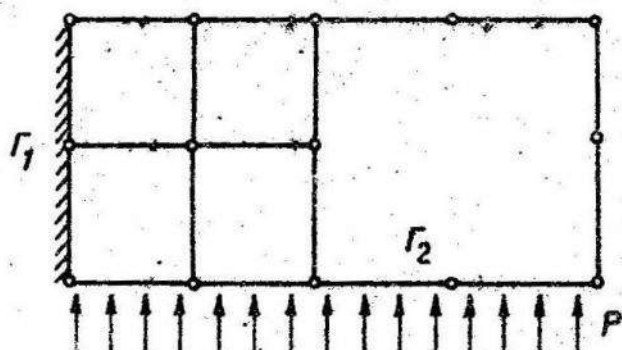


Рис. 2

У таблиці наведені результати розв'язування СЛАР, яку одержують застосуванням комбінованого підходу /3/ методами: Зейделя, вищеписаним методом та прямим методом Гаусса /3/ для двох різних сіток комбінованих апроксимацій та різних початкових наближень.

S/N/M	Кількість ітерацій			Час рахунку /с/			Початкове наближення
	1	2	3	1	2	3	
I4/30/42	444	7	38	4			
	854	43	72	9			
	365	21	32	5			
	315	33	25	14			
I4/70/66	166	37	33	16			
				12			

Тут використані позначення: 1 - метод Зейделя; 2 - прискорений ітераційний метод спряжених градієнтів; 3 - метод Гаусса; a - розв'язок - 0.1*розв'язок/, b - всі значення вектора початкового наближення - 1.0, c - всі значення вектора початкового наближення - 0.1e - 3, d - початкове наближення - значення розв'язку для попередньої сітки, решта значень - 0.0; e - по-

чаткове наближення – значення розв'язку для попередньої сітки, решта значень одержані шляхом лінійної інтерполяції.

Як бачимо з таблиці, за швидкодією описаний ітераційний метод порівняльний з прямим методом /3/ та ефективніший від методу Зейделя. Процес збіжності цього методу не сильно залежить від початкового наближення.

1. Бенеджі П., Баттерфілд Р. Метод граничних елементов в прикладних науках. М.: Мир, 1984. 494 с.
2. Бреобія К., Теллес Х., Вроубел Л. Методи граничних елементів. М.: Мир, 1987. 324 с.
3. Дияк І.І., Чернуха А.Ю. Чисельне дослідження задачі теорії пружності на основі комбінації методів граничних та скінчених елементів // Вісн. ДДУ. Сер. мех.-мат. 1992. Вип.39. С.41-46.
4. Крільов В.І., Бобков В.В., Монастиринський Д.І. Невід'ємні методи; В 2 т. М.: Наука, 1976. Т.І. 302 с.
5. Aganțio F.C., Mansur W.J., Malaghini J.E.B. Biconjugate Gradient Acceleration for Large BEM System of Equations, BEM XII. Vol. 1. Applications in Stress Analysis, Potential and Diffusion // Proc. of Twelfth Int. Conf. on BE in Eng. Septem., 1989. P. 24-27.
6. Mang H.A., Torzicky P., Chen Z.Y. On the mechanical inconsistency of symmetrization of unsymmetric coupling matrices for BEM/FEM discretization of solids// Computational Mechanics, 1989. Vol.4. P.301-308.
7. Stein E., Ohnimus S. Concept and realisation of integrated adaptive finite element methods in solid- and structural mechanics// Numerical Methods in Engineering'92. Ed. Ch. Hirsch. 1992. P. 163-170.
8. Zienkiewicz O.C., Kelly D.W., Bettess P. The coupling of the finite element method and boundary solution methods// Int. J. Numer. Methods Eng., 1977. Vol. 11(2). P.355-375.

Спогта надійшла до редакторії 10.02.94

УДК 517.946

І.М.Дудзяй, В.М.Цимбал

НЕЛОКАЛЬНА ЗАДАЧА

ДЛЯ ДЕЯКОГО СИНГУЛЯРНО ЗБУРЕНОГО РІВНЯННЯ
ТРЕТЬОГО ПОРЯДКУ

Останнім часом велику увагу приділяють вивченню нелокальних задач для диференціальних рівнянь у частинних похідних різних типів. Це пов'язане як з розмаїтим практичним застосуванням таких задач, так і з їхньою теоретичною важливістю.

Задачі викликають також задачі даного типу для сингулярно збурених рівнянь. Для побудови асимптотики розв'язку таких задач може бути використана ідея побудови асимптотики розв'

© Дудзяй І.М., Цимбал В.М., 1995

в "язку складнішої збуреної задачі на основі асимптотики розв'язку простішої сингулярно збуреної задачі. Ця ідея для звичайних диференціальних рівнянь вперше реалізована у праці [1]. Для сингулярно збурених рівнянь у частинних похідних вона виявилася також плідною і вперше реалізована у праці [7] (див. також [6], [8]).

У даній роботі в області $D = \{(x,t) : 0 \leq x \leq l, 0 \leq t \leq T\}$ отримане асимптотичне розширення такої задачі:

$$\varepsilon \frac{\partial u}{\partial t} - \frac{\partial^3 u}{\partial x^3} + a(x,t)u = f(x,t); \quad /1/$$

$$u(0,t) = 0, \quad \frac{\partial u(0,t)}{\partial x} = 0, \quad u(l,t) = 0; \quad /2/$$

$$u(x,0) + \beta \psi(x,T) = 0, \quad /3/$$

де $\varepsilon > 0$ – малий параметр.

Нехай N – деяке натуральне число. Припустимо, що виконуються умови:

1/ $a(x,t)$, $f(x,t)$ – достатньо гладкі в D функції;

2/ $a(x,t) > 0$ в D , $|f| \leq 1$.

Перш ліч будувати асимптотику розв'язку задачі /1/-/3/, побудуємо асимптотику єзв'язку допоміжної локальної задачі, тобто задачі розв'язку рівняння /1/ з граничними умовами /2/ і початковою

$$u(x,0,\varepsilon) = \sum_{i=0}^N \varepsilon^i z_i(x) \quad /4/$$

замість нелокальної умови /3/, де $z_i(x)$ ($i = 0, N$)

на даному етапі/ задані достатньо гладкі функції, такі що

$$z_i(0) = z'_i(0) = z''_i(0) = 0 \quad (i = 0, N).$$

Розв'язення розв'язку допоміжної задачі /1/, /2/, /4/ будимо методом прямогошого шару [1, 2]. Зauważимо, що у випадку $N=0$ асимптотичне розширення цієї задачі отримане у праці [9].

Асимптотичне розширення шукаємо у вигляді

$$u(x,t,\varepsilon) = \sum_{i=0}^N \varepsilon^i \bar{u}_i(x,t) + \sum_{i=0}^N \varepsilon^i \Pi_i(x,T) + R_N(x,t,\varepsilon), \quad /5/$$

де $T = t/\varepsilon$.

Вивишемо задачі, у яких визначаються функції, що входять у /5/. Вони визначаються стандартно.

Функції регулярної частини асимптотики $\bar{U}_i(x,t)$ ($i=0, \dots, N$) є розв'язками граничних задач для звичайних диференціальних рівнянь / t входить як параметр/:

$$M\bar{U} = -\frac{\partial^3 \bar{U}}{\partial x^3} + a(x,t)\bar{U}_i = f_i(x,t); \quad /6/$$

$$\bar{U}_i(0,t) = 0, \frac{\partial \bar{U}_i(0,t)}{\partial x} = 0, \bar{U}_i(l,t) = 0, \quad /7/$$

де $f_0(x,t) \equiv 0$, $f_i(x,t) = -\frac{\partial \bar{U}_{i-1}}{\partial t}$ ($i=1, \dots, N$).

Як бачимо, вони визначаються рекурентно. Добре відомо [4], що з єдності розв'язку задачі /6/, /7/ випливає існування розв'язку цієї задачі. Тому достатньо показати, що рівняння $M\bar{U}_i = 0$ з нульовими граничними умовами /7/ має тільки тривіальний розв'язок. Дійсно, домножуючи це рівняння на \bar{U}_i , інтегруючи по x від 0 до l з урахуванням граничних умов /6/, отримуємо

$$\frac{1}{2} \left(\frac{\partial \bar{U}_i(l,t)}{\partial x} \right)^2 + \int_0^l a(x,t) \bar{U}_i^2(x,t) dx = 0,$$

звідки випливає єдиність розв'язку задачі /5/, /6/ ($i=0, \dots, N$), а це доводить існування розв'язку цієї задачі.

Функції примежового шару $\Pi_i(x,\tau)$ ($i=0, \dots, N$) в околі $t=0$ є розв'язками змішаних задач:

$$\frac{\partial \Pi_i}{\partial \tau} - \frac{\partial^3 \Pi_i}{\partial x^3} + a(x,0)\Pi_i = \varphi_i(x,\tau) \quad (i=0, \dots, N), \quad /8/$$

$$\Pi_i(0,\tau) = 0, \frac{\partial \Pi_i(0,\tau)}{\partial x} = 0, \Pi_i(l,\tau) = 0 \quad (i=0, \dots, N), \quad /9/$$

$$\Pi_i(x,0) = Z_i(x) - \bar{U}_i(x,0) \quad (i=0, \dots, N), \quad /10/$$

де $\varphi_0(x,\tau) \equiv 0$, $\varphi_i(x,\tau)$ ($i=1, \dots, N$) лінійно залежать від $\Pi_j(x,\tau)$ ($j < i$).

Після того як знайдені функції $\bar{U}_i(x,t)$ ($i=0, \dots, N$), функції $\Pi_i(x,t)$ ($i=0, \dots, N$) знаходяться рекурентно як розв'язки змішаних задач /8/-/10/. Показано, що функції $\Pi_i(x,t)$ ($i=0, \dots, N$) експоненціально спадають при $\tau \rightarrow \infty$, тобто дійсно є функціями примежового шару в околі $t=0$.

Таким чином, формальне асимптотичне розвинення розв'язку додоміжної задачі /1/, /2/, /4/ побудоване. Далі вважаємо $Z_i(x)$ ($i=0, \dots, N$) невідомими, і головним завданням у побудові асимптотики розв'язку вихідної задачі /1/-/3/ є такий

підбір $z_i(x)$ ($i=0, \dots, N$) , щоб формальне асимптотичне розвинення розв'язку допоміжної задачі /I/, /2/, /4/ було одночасно і формальним асимптотичним розвиненням розв'язку вихідної задачі /I/-/3/.

Підстановка асимптотичного розвинення /5/ розв'язку допоміжної задачі /I/, /2/, /4/ у нелокальну умову /3/ дас співвідношення для визначення $z_i(x)$ ($i=0, \dots, N$) , а саме

$$z_i(x) = -\beta \bar{u}_i(x, t) \quad (i=0, \dots, N). \quad /II/$$

Піставляючи отримані вирази /II/ у /10/, маємо початкові умови для визначення функцій $P_i(x, t)$ ($i=0, \dots, N$) – функцій примежового шару асимптотичного розвинення вихідної задачі /I/-/3/. Розв'язуючи задачі /8/-/10/ з уже визначеними початковими умовами, отримуємо функції примежового шару $P_i(x, t)$ ($i=0, \dots, N$). Разом з уже визначеними функціями $\bar{u}_i(x, t)$ ($i=0, \dots, N$) діє дас всі функції, що входять в асимптотичне розвинення /5/ задачі /I/-/3/.

Застосування методу інтегралів енергії /3/ до задачі знаходження залишкового члена дас таку оцінку:

$$\|R_N(x, t, \varepsilon)\|_{L_\varepsilon(D)} \leq C\varepsilon^{N+1}, \quad /12/$$

де константа C не залежить від вибору ε .

Таким чином, отримана така теорема,

Теорема. Нехай у D виконуються умови /I/, /2/. Тоді розв'язок задачі /I/-/3/ допускає асимптотичне зображення /5/, де $\bar{u}_i(x, t)$ ($i=0, \dots, N$) – розв'язки задач /6/, /7/; функції примежового шару $P_i(x, t)$ ($i=0, \dots, N$) – розв'язки задач /8/, /9/, /10/, де $z_i(x)$ ($i=0, \dots, N$) , що входить у /10/ визначається з /II/; залишковий член допускає оцінку /12/.

1. Васильев А.Б., Бутузов В.С. Асимптотические разложения решений сингулярно возмущенных уравнений. М.: Наука, 1973. 2. Вишник М.И., Лястеник Л.А. Регулярное вырождение и граничный слой для линейных дифференциальных уравнений с малым параметром // Успехи мат. наук. 1957. Т.12. № 5. С.3-122. 3. Курант Р. Уравнение с частными производными. М.: Наука, 1964. 4. Найдмарк М.А. Линейные дифференциальные операторы. М.: Наука, 1969. 5. Хартман Ф. Основные дифференциальные уравнения// М.: Наука, 1970. 6. Цимбал В. Нелокальная задача для деяких сингулярно збурених рівнянь у частинних похідних // Тези доп. Всеукр. наук. конф. "Нові підходи до розв'язання диференціальних рівнянь" /М.Дрогобич, 25-27 січня 1994 р./. К.: Ін-т математики АН України, 1994.

7. Чимбо В.И. Некоторые чехиоскеские сингулярно возмущенные задачи // Методы нового параметра и их применение: Тез. лекций и докторик наук. союз. всесоюз. школы-семинара / г. Минск, 12-18 сент. 1982 г. / М.: АН ССР, 1982. 8. Чимбала В.И. Поверхнева задача для сингулярно возмущенных эллиптических и параболических уравнений // Тез. 8 Респ. конф. "Нелинейные задачи математической физики и задачи со свободной границей" / г. Донецк, 5-6 сент. 1991 г. / Донецк: Ин-т прикл. математики и механики, 1991. 9. Чимбала В.И. Приближенное решение смешанной задачи для некоторого уравнения математической физики // Тез. лекций и докл. всесоюз. школы молодых ученых "Математические методы решения задач математической физики" / г. Москва, 26 мая-4 июня 1988 г. / М.: Изд-во Всесоюз. об-ва "Знание", 1983. Ч.2. С.29-30.

Стаття надійшла до редколегії 18.03.94

УДК 518:517.948

М.В.Еук

РОЗВ'ЯЗУВАННЯ НЕЛІНІЙНОГО ДИФЕРЕНЦІАЛЬНОГО РІВНЯННЯ МЕТОДОМ КАНТОРОВИЧА

Розглянемо нелінійне диференціальне рівняння

$$Au \equiv -\frac{\partial p(x, y, u, \frac{\partial u}{\partial x}, \frac{\partial u}{\partial y})}{\partial x} - \frac{\partial q(x, y, u, \frac{\partial u}{\partial x}, \frac{\partial u}{\partial y})}{\partial y} + \\ + r(x, y, u, \frac{\partial u}{\partial x}, \frac{\partial u}{\partial y}) = f(x, y) \quad /1/$$

за однорідної краєвої умови:

$$Ru|_{\Gamma} = [p(x, y, u, \frac{\partial u}{\partial x}, \frac{\partial u}{\partial y}) \cos(\nu, x) + q(x, y, u, \frac{\partial u}{\partial x}, \frac{\partial u}{\partial y}) \cos(\nu, y)]|_{\Gamma} = 0 /2/$$

де Γ - межа області D , обмеженої по x прямими $x=b$, $x=b$, а по y - достатньо гладкими кривими $y=g(x)$ і $y=h(x)$, причому $g(x) < h(x)$, ν - зовнішня нормаль до Γ .

На функції $p(x, y, s, t, z)$, $q(x, y, s, t, z)$, $r(x, y, s, t, z)$ і $f(x, y)$ накладаються ті ж обмеження, що і в праці [2].

Введемо допоміжний оператор T , який визначається за формулами:

$$Tu = -\frac{\partial^2 u}{\partial x^2} - \frac{\partial^2 u}{\partial y^2} + u, \quad /3/$$

$$\left[\frac{\partial u}{\partial x} \cos(\nu, x) + \frac{\partial u}{\partial y} \cos(\nu, y) \right]|_{\Gamma} = 0. \quad /4/$$

За область визначення $D(T)$ оператора T приймаємо множину двічі неперервно диференційованих функцій $u(x, y)$ у замкнітій множині \bar{D} , які задовільняють країові умови /4/.

При цьому оператор T на лініалі $D(T)$ буде додатно визначеним:

$$(Tu, u) = \iint_D \left[\left(\frac{\partial u}{\partial x} \right)^2 + \left(\frac{\partial u}{\partial y} \right)^2 + u^2 \right] dx dy \geq \|u\|^2. \quad /5/$$

Позначимо через $H_T \subset H = L_2(D)$ енергетичний простір оператора T , тобто замикання $D(T)$ у метриці

$$[u, v] = (Tu, v) = \iint_D \left[\frac{\partial u}{\partial x} \frac{\partial v}{\partial x} + \frac{\partial u}{\partial y} \frac{\partial v}{\partial y} + uv \right] dx dy,$$

$$\|u\|^2 = [u, u].$$

Можна показати, що функції $u(x, y) \in H_T$ мають перші узагальнені похідні, сумовані з квадратом в D , і що країові умови /4/ - природні, тобто $H_T = W_2^1(D)$.

Із нерівності /5/ внаслідок граничного переходу для довільного $u \in H_T$ отримуємо

$$\|u\| \leq \|u\|. \quad /6/$$

Для довільних $u, v \in H_T$ справедлива лінійну форму:

$$A(u, v) \equiv \iint_D \left[p(x, y, u, \frac{\partial u}{\partial x}, \frac{\partial u}{\partial y}) \frac{\partial v}{\partial x} + q(x, y, u, \frac{\partial u}{\partial x}, \frac{\partial u}{\partial y}) \frac{\partial v}{\partial y} + r(x, y, u, \frac{\partial u}{\partial x}, \frac{\partial u}{\partial y}) v \right] dx dy. \quad /7/$$

Припустимо, що при $(x, y) \in \bar{D}$ і довільних s, t, z справедлива нерівність

$$\begin{aligned} & \frac{\partial p}{\partial t} \xi_1^2 + \left(\frac{\partial p}{\partial z} + \frac{\partial q}{\partial t} \right) \xi_1 \xi_2 + \frac{\partial q}{\partial t} \xi_2^2 + \left(\frac{\partial p}{\partial s} + \frac{\partial z}{\partial t} \right) \xi_1 \xi_0 + \\ & + \left(\frac{\partial q}{\partial s} + \frac{\partial z}{\partial z} \right) \xi_2 \xi_0 + \frac{\partial z}{\partial s} \xi_0^2 \geq M(\xi_1^2 + \xi_2^2) + N \xi_0^2, \end{aligned}$$

де ξ_0, ξ_1, ξ_2 - довільні дійсні числа, $M = \text{const} > 0$, $N = \text{const} > 0$. Тоді для довільних $u, v \in H_T$ справедлива нерівність

$$A(u, u-v) - A(v, u-v) \geq M|u-v|^2, \quad /8/$$

де $M = \min \{M, N\}$.

Крім цього, для довільних $u, v, w \in H_T$ можна визначити виконання нерівності

$$|A(u, w) - A(v, w)| \leq \eta |u-v| |w|, \quad /9/$$

де $\eta = 3 \max \{M_1, M_2, N_1, N_2\}$ а константи M_1, M_2, N_1, N_2 визначаються умовами задачі /формула /3/ із праці [2]/.

Узагальненим розв'язком задачі /I/-/2/ називається функція $u(x, y) \in H_T$, для якої виконується тодіність

$$A(u, v) = \iint_D f v(x, y) dx dy \quad /10/$$

при довільній функції $v(x, y) \in H_T$. Відомо /див., при-
міром [1]/, що виконання умов /8/, /9/ забезпечує існування та
єдиність узагальненого розв'язку.

Наближений розв'язок задачі /I/-/2/ шукаємо методом Канто-
ровича у вигляді

$$u_n(x, y) = \sum_{k=1}^n c_k(x) \varphi_k(x, y), \quad /11/$$

де лінійно незалежні у проміжку $[g(x), h(x)]$ функції
 $\varphi_k(x, y)$ вибираємо таким чином, щоб система функцій
 $\{x_l(x) \varphi_k(x, y)\} \in H_T$ була повною за енергією. Шукані кое-
фіцієнти $c_k(x)$ визначаємо зі системи

$$\int_{g(x)}^{h(x)} (Au_n - f) \varphi_i dy + \varphi_i \sqrt{1+y'^2} P u_n \Big|_{y=g(x)} + \varphi_i \sqrt{1+y'^2} P u_n \Big|_{y=h(x)} = 0 \quad /12/$$

з умов

$$\begin{aligned} & \int_{g(a)}^{h(a)} \varphi_i P u_n \Big|_{x=a} dy = 0, \quad \int_{g(b)}^{h(b)} \varphi_i P u_n \Big|_{x=b} dy = 0, \quad i = 1, 2, \dots, n. \quad /13/ \\ & g(a) \quad h(a) \\ & g(b) \quad h(b) \end{aligned}$$

Позначимо через $H_n \subset H$ простір функцій вигляду

$$V_n(x, y) = \sum_{k=1}^n a_k(x) \varphi_k(x, y).$$

Узагальненим розв'язком системи методу Канторовича /12/-
/13/ називається функція $u_n(x, y) \in H_n \cap H_T$, що задо-
воляє тодіність

$$A(u_n, v_n) = \iint_D f v_n(x, y) dx dy \quad /14/$$

при довільній функції $v_n(x, y) \in H_n \cap H_T$.

Покажемо, що узагальнений розв'язок системи методу Кан-
торовича існує та є єдиним. Для цього до задачі /I/-/2/ застосуємо метод Бубнова-Гельборкіна, тобто наближений розв'язок
шукаємо у вигляді:

$$u_n^m(x, y) = \sum_{k=1}^n \sum_{l=1}^m c_{kl} x_l(x) \varphi_k(x, y), \quad /15/$$

а невідомі коефіцієнти C_{kl} визначаємо зі системи

$$A(u_n^m, \chi_j(x)\varphi_i(x,y)) = \iint_D f \chi_j(x)\varphi_i(x,y) dx dy /16/$$

$i=1,2,\dots,n, j=1,2,\dots,m.$

Система /16/ зводиться до системи нелінійних алгебраїчних або транспонентних рівнянь, розв'язок яких існує та є єдиним /1/.

Аналогічно, як і в праці /3/, можна показати, що послідовність розв'язків $\{u_n^m\}$ системи /16/ при $m \rightarrow \infty$ слабо збігається у просторі H_T до єдиного узагальненого розв'язку системи методу Канторовича /12/-/13/.

Теорема. Якщо обмеження на вихідні дані задачі /1/-/2/ такі, що виконуються умови /8/, /9/, то для довільної функції $f(x, y) \in H$ задача /1/-/2/ має єдиний узагальнений розв'язок $u(x, y) \in H_T$ і при довільному n система методу Канторовича /12/-/13/ має єдиний узагальнений розв'язок $u_n(x, y) \in H_n \cap H_T$.

І. Варга Р. Функциональный анализ и теория аппроксимаций в численном анализе. М., 1974. 2. Жук М.В. Застосування методу Канторовича для нелінійних диференціальних рівнянь // Вісн. Львів. ун-ту. Сер. мех.-мат. 1992. Вип.37. С.12-16. 3. Жук М.В. Исследование быстроты сходимости метода Канторовича для нелинейных дифференциальных уравнений // Укр. мат. журн. 1976. Т.28. № 2. С.183-193.

Стаття надійшла до редколегії 21.02.94

УДК 519.6

В.М.Зубов, С.Ю.Терлецька

ПРОТИПОКОВА СХЕМА МЕТОДУ СКІНЧЕНИХ ЕЛЕМЕНТІВ ДЛЯ РОЗВ'ЯЗУВАННЯ ЗАДАЧ ЗАКРУДНЕННЯ АТМОСФЕРИ

1. Постановка задачі про поширення домішок в атмосфері. Усталений у часі процес поширення пасивної домішки в приземному шарі атмосфери описується рівнянням турбулентної дифузії /1/:

$$-\frac{\partial}{\partial x}(\mu_x \frac{\partial \varphi}{\partial x}) - \frac{\partial}{\partial y}(\mu_y \frac{\partial \varphi}{\partial y}) - \frac{\partial}{\partial z}(\nu \frac{\partial \varphi}{\partial z}) + \operatorname{div}(\bar{u}\varphi) + \sigma\varphi = f, /1/$$

що встановлює залежність між шуканою концентрацією домішки $\varphi(x, y, z)$, вектором швидкості вітру $\bar{u} = (u(x, y, z), v(x, y, z), w(x, y, z))$,

© Зубов В.М., Терлецька С.Ю., 1995

коєфіцієнтами турбулентної дифузії $\mu_x(x, y, z)$, $\mu_y(x, y, z)$, $\nu(x, y, z)$ - коєфіцієнтом поглинання/розкладу домішки, функцією $f(x, y, z)$, яка описує інтенсивність джерел домішки.

Рівняння /1/ розглядається в циліндричній області Ω , на границі якої задаються такі умови:

$$\varphi = 0, \quad (\bar{u}, \bar{n}) < 0 \text{ на } \Sigma; \quad /2/$$

$$\frac{\partial \varphi}{\partial n} = 0, \quad (\bar{u}, \bar{n}) \geq 0 \text{ на } \Sigma; \quad /3/$$

$$\frac{\partial \varphi}{\partial z} = -\alpha \varphi \text{ на } \Sigma_0; \quad /4/$$

$$\frac{\partial \varphi}{\partial z} = 0 \text{ на } \Sigma_H, \quad /5/$$

де $\bar{n}(x, y, z)$ - вектор однієї зовнішньої нормалі до Σ ; $\alpha(x, y)$ - коєфіцієнт взаємодії домішки з поверхнею землі; Σ - бічна поверхня циліндра; Σ_0 - нижній торець циліндра, Σ_H - верхній торець циліндра.

2. Модельне одновимірне рівняння. 2.1. Формулювання одновимірної крайової задачі. Для дослідження впливу параметрів крайової задачі на поведінку її розв'язку розглянемо на відрізку $[0, L]$ найпростіше одновимірне рівняння адвекції-дифузії /2, 3/:

$$-k \frac{d^2 \varphi}{dx^2} + u \frac{d\varphi}{dx} = 0 \quad /6/$$

з постійними коєфіцієнтом дифузії k та швидкістю потоку u /обидва додатні/. Рівняння /6/ доповнено граничними умовами:

$$\varphi(0) = 0, \quad \varphi(L) = 1. \quad /7/$$

Крайову задачу /6/, /7/ можна трактувати як математичну модель одновимірного перенесення домішки на відрізку $[0, L]$, на правому кінці якого ($x = L$) підтримується постійний рівень домішки, що дорівнює 1.

Точний розв'язок задачі /6/, /7/ має вигляд

$$\varphi(x) = \frac{1 - \exp(-Pe x/L)}{1 - \exp(-Pe)}, \quad /8/$$

де $Pe = uL/k$ - безрозмірний параметр, який називається числом Пекле.

При малих числах Пекле ($Pe \ll 1$) розв'язок задачі /6/, /7/ практично лінійно залежить від x , тоді як при великих Pe ($Pe \gg 1$) розв'язок $\varphi(x)$ неістотно змінюється та йде на всьому відрізку $[0, L]$ ($\varphi(x) = 0$), за винятком деяко-

го малого околу точки $x=L$, який називається примежовим шаром, в якому градієнт функції $\varphi(x)$ досягає великих значень. Товщина примежового шару пропорційна до $1/\text{Pe}/21$.

Наявність примежового шару істотно ускладнює відшукання розв'язку задачі /6/, /7/ стандартними чисельними методами /методом сіток, методом скінчених елементів/. Тому потрібні спеціальні підходи, що враховують специфіку таких задач.

2.2. Метод скінчених різниць. Протипотокові різниці. Як приклад розглянемо розв'язок задачі /6/, /7/ методом скінчених різниць. Для цього апроксимуємо похідні, що входять до рівняння /6/, різницями першого порядку:

$$\frac{d\varphi}{dx} \approx \frac{\varphi_{i+1} - \varphi_{i-1}}{2h},$$

$$\frac{d^2\varphi}{dx^2} \approx \frac{\varphi_{i+1} - 2\varphi_i + \varphi_{i-1}}{h^2},$$

де $h = L/N$ – параметр дискретизації /буали скінченно-різницевої сітки $x_i = x_0 + ih$, $i=1, \dots, N$ /, у результаті отримаємо різницеву схему:

$$-k \frac{\varphi_{i+1} - 2\varphi_i + \varphi_{i-1}}{h^2} + u \frac{\varphi_{i+1} - \varphi_{i-1}}{2h} = 0. \quad /9/$$

Чисельні розв'язки задачі /6/, /7/ на вітці, що складається з 11 вузлів ($N = 10$), побудовані використанням схеми /9/, демонструють осцилюючий характер скінченно-різницевої апроксимації виду /9/ при $\alpha \gg 1$. Причому осциляції наближеного розв'язку викликані лише недоліками чисельної схеми і не мають жодної фізичної інтерпретації.

Типовим прийомом для втамування осциляцій скінченно-різницевого розв'язку рівняння адвекції-дифузії з використанням несиметричної протипотокової різниці для апроксимації першої похідної в рівнянні /6/:

$$\frac{d\varphi}{dx} \approx \frac{\varphi_i - \varphi_{i-1}}{h}.$$

При цьому друге похідне надалі апроксимується центральною різницею другого порядку:

$$-k \frac{\varphi_{i+1} - 2\varphi_i + \varphi_{i-1}}{h^2} + u \frac{\varphi_i - \varphi_{i-1}}{h} = 0. \quad /10/$$

Аналіз чисельних розв'язків задачі /6/, /7/, отриманих з використанням протипотокової схеми /10/, приводить до виснов-

ку, що схема з центрально-різницевою апроксимацією едвективного члена має від'ємну штучну дифузію, тоді як у протипотокової схемі закладена додатна штучна дифузія.

Неважко перевіритись у тому, що едвективний член у /10/ можна подати у вигляді суми члена із центральною різницею, а також додаткового дифузійного члена:

$$u \frac{\Phi_i - \Phi_{i-1}}{h} = u \frac{\Phi_{i+1} - \Phi_{i-1}}{2h} - \bar{k} \frac{\Phi_{i+1} - 2\Phi_i + \Phi_{i-1}}{h^2},$$

де $\bar{k} = uh/2$ – нездешкова дифузія різницевої схеми /10/ порівняно зі схемою /9/.

Таким чином, чисельний розв'язок можна уточнити, якщо в різницевій схемі записати деяку лінійну комбінацію центральної та протипотокової різниць. Або, що еквівалентно, вибрати потрібне значення коефіцієнта штучної дифузії \bar{k} .

Дійсно, у праці [6] з'ясовано, що якщо до схеми /9/ додати дифузійний член з коефіцієнтом дифузії

$$\bar{k} = \frac{uh}{2} \xi, \quad /11/$$

де $\xi = \coth(\alpha) - 1/\alpha$, $\alpha = uh/(2k)$, тоді розв'язок отриманої різницевої схеми початково збігатиметься з точним розв'язком задачі /6/, /7/ вузлах сітки.

2.3. Метод скінчених елементів, формулювання Петрова-Гальськіна. Аналогічна проблема, що стосується осциляцій чисельного розв'язку, виникає під час розв'язування задачі /6/, /7/ з великими числами Пекле методом скінчених елементів за допомогою стандартного формульовання міріаційних рівнянь методу Гальськіна:

$$\int_a^b \left(k \frac{d\phi}{dx} \frac{d\Phi_i}{dx} + u \frac{d\phi}{dx} \Phi_i \right) dx = 0, \quad /12/$$

де $\Phi_i(x)$ – деяка функція з простору пробних функцій Φ_h , в якому потрібно знайти наближений розв'язок задачі /6/, /7/.

Неважко перевірити, що якщо Φ_h вибирається згідно з методом скінчених елементів, причому

$$\Phi_h = \begin{cases} \frac{x - x_{i-1}}{h}, & x \in [x_{i-1}, x_i], \\ -\frac{x - x_{i+1}}{h}, & x \in [x_i, x_{i+1}], \end{cases} \quad l = 1, \dots, N-1, \quad /13/$$

тоді верісійне формульовання /12/ задачі /6/, /7/ зводиться до рівняння /9/, що відповідає центрально-різницевій апроксимації едвективного члена з /6/.

На відміну від методу скінчених різниць, у методі скінчених елементів існує декілька шляхів боротьби з осциляціями, викликаними від "смною штучної дифузією" чисельної схеми /що відповідає формулуванню Гальоркіна методу скінчених елементів/.

Перший з них припускає додавання у вихідне формулування краївої задачі штучної дифузії, що в наступному компенсує від "смної схеми дифузії" методу Гальоркіна /6/. Для задачі /6/, /9/ такий підхід приводить до формулування

$$\int_0^L \left((k + \bar{k}) \frac{d\phi}{dx} \frac{d\Phi_i}{dx} + u \frac{d\phi}{dx} \Phi_i \right) dx = 0, \quad /14/$$

де \bar{k} вибирається згідно з /II/.

Друга можливість полягає у використанні квадратурної формули спеціального вигляду для інтегрування ефективного члена в /II/, що врешті-решт приводить до дискретної задачі /4/, еквівалентної до /10/.

І, нарешті, третій шлях поєднання з використанням методу Петрова-Гальоркіна для отримання варіаційного формулування бічної країової задачі. У цьому методі використовуються якогоді функції, що рівняються від пробних функцій, тоді як у методі Гальоркіна протягом всіх пробних функцій збігаються.

Для задачі /6/, /7/ варіаційне формулування Петрова-Гальоркіна має вигляд /рівняння /6/ множимо на вагову функцію $\Phi_i = \Phi_i^1 + \Phi_i^2$, та інтегруємо від 0 до L з використанням формул інтегрування частинами/:

$$\int_0^L \left(k \frac{d\phi}{dx} \frac{d\Phi_i^1}{dx} + k \frac{d^2\phi}{dx^2} \Phi_i^2 + u \frac{d\phi}{dx} (\Phi_i^1 + \Phi_i^2) \right) dx = 0, \quad /15/$$

Дри п'яту резервний шукамо у вигляді

$$\phi(x) = \sum_{i=1}^{N-1} \Phi_i \Phi_i^1(x).$$

Джко Φ_i^1 вибираємо згідно /13/, а

$$\Phi_i^2 = \frac{\bar{k}}{u} \frac{d\Phi_i^1}{dx},$$

тоді рівняння /15/ еквівалентне /14/ за рахунок того, що

$$\frac{d^2\phi}{dx^2} = 0$$

всередині кожного скінченого елемента.

Таким чином, у випадку задачі /6/, /7/ всі три підходи до конструювання протипотокової схеми методу скінчених елементів приводять до одного і того ж дискретного рівняння.

3. Протипотокова схема МСЕ у випадку декількох просторових вимірів. Під час використання розглянутих протипотокових схем МСЕ, адаптованих до випадку декількох вимірів, виникають

труднощі, пов'язані з виникненням так званого ефекту поперечної дифузії.

Суть цього ефекту полягає в появі додаткової штучної дифузії в напрямі перпендикулярному до напряму швидкості потоку, що зумовлює істотні похибки чисельного розв'язку.

Для уникнення ефекту поперечної дифузії у праці [6] запропоновано використовувати тензор штучної дифузії \bar{k}_{ij} замість скалярного коефіцієнта \bar{k} . При цьому

$$k_{ij} = \bar{k} \hat{u}_i \hat{u}_j, \quad \hat{u}_i = u_i / \|u\|, \quad /16/$$

де u_i - компоненти вектора швидкості потоку. Заміна скалярного коефіцієнта штучної дифузії \bar{k} тензором \bar{k}_{ij} знищує поперечну схемну дифузію, оскільки в останньому випадку штучна дифузія вводиться тільки в напрямі вектора швидкості потоку.

У праці [5] зазначено, що у випадку наявності правої частини f у рівнянні адвекції-дифузії несумісність вагових функцій, що відповідають f та адвективному членові, також приводить до перебільшеної дифузії чисельної апроксимації. Цим пояснюється необхідність використання методу Петрова-Гальоркіна для формульовання варіаційної задачі.

Розглянемо n -вимірне рівняння адвекції-дифузії:

$$\sum_{i=1}^n \frac{\partial}{\partial x_i} \left(- \sum_{j=1}^n k_{ij} \frac{\partial \varphi}{\partial x_j} + u_i \varphi \right) = f \quad \text{в } \Omega \subset \mathbb{R}^n. \quad /17/$$

Сформулюємо такі граничні умови:

$$\varphi = 0 \quad \text{на } \Gamma_g; \quad /18/$$

$$-\sum_{i=1}^n \sum_{j=1}^n k_{ij} \frac{\partial \varphi}{\partial x_i} n_i = s \quad \text{на } \Gamma_s, \quad /19/$$

де Γ_g та Γ_s - частини границі області Ω , в якій розглядається рівняння /17/, що задовільняють умови:

$$\overline{\Gamma_g \cup \Gamma_s} = \partial \Omega, \quad \overline{\Gamma_g \cap \Gamma_s} = 0.$$

Формульовання Петрова-Гальоркіна краєвої задачі /17/-/19/ має вигляд

$$\int_{\Omega} \left\{ \sum_{i=1}^n \left(\sum_{j=1}^n \left(k_{ij} \frac{\partial \varphi}{\partial x_j} \frac{\partial \Phi_k^i}{\partial x_j} \right) + \sum_{j=1}^n \left(k_{ij} \frac{\partial^2 \varphi}{\partial x_j^2} \Phi_k^i \right) + u_i \frac{\partial \varphi}{\partial x_i} (\Phi_k^i + \Phi_k^2) \right) - f \Phi_k \right\} dx + \int_{\Gamma_s} s \Phi_k^i d\Gamma = 0,$$

де

$$\varphi(x) = \sum_{i=1}^N \Phi_i^1(x).$$

Якщо $\Phi_i^1(x)$ - полілінійна функція, то на прямокутній сітці похідна $\partial^2 \varphi / \partial x_j^2$ перетворюється в нуль. У цьому випадку формування Петрова-Гальоркіна задачі /I7/-/I8/ набуває вигляду

$$\int_{\Omega} \left\{ \sum_{i=1}^n \left(\sum_{j=1}^n \left(k_{ij} \frac{\partial \varphi}{\partial x_j} \frac{\partial \Phi_k^1}{\partial x_j} \right) + u_i \frac{\partial \varphi}{\partial x_i} (\Phi_k^1 + \Phi_k^2) \right) - f \Phi_k \right\} dx + \int_{\Gamma_a} s \Phi_k^1 d\Gamma = 0.$$

Ефект "протипотоковості" досягається за рахунок вибору функцій $\Phi_i^2(x)$ у вигляді

$$\Phi_i^2(x) = k \sum_{j=1}^n \frac{\bar{u}_j}{\|u\|} \frac{\partial \Phi_k^1}{\partial x},$$

де k - коефіцієнт штучної дифузії, що у двовимірному випадку /для одного скінченного елемента/ визначається за формулами:

$$k = (\xi u_\xi h_\xi + \eta u_\eta h_\eta) / 2,$$

$$\xi = \coth(\alpha_\xi) - 1/\alpha_\xi, \quad \eta = \coth(\alpha_\eta) - 1/\alpha_\eta,$$

$$\alpha_\xi = u_\xi h_\xi / (2k), \quad \alpha_\eta = u_\eta h_\eta / (2k),$$

$$u_\xi = (\bar{e}_\xi, \bar{u}), \quad u_\eta = (\bar{e}_\eta, \bar{u}),$$

де $\bar{e}_\xi, \bar{e}_\eta, h_\xi, h_\eta$ - геометричні характеристики скінченного елемента.

1. Марчук Г.И. Математическое моделирование в проблеме окружающей среды. М.: Наука, 1982. 320 с. 2. Флэтчед К. Численные методы на основе метода Галеркина. М.: Мир, 1988. 352 с. 3. Finite Element Methods for Convection Dominated Flows / Ed. T.J.R. Hughes. New York: ASME, 1988. 227р. 4. Hughes T.J.R. A simple scheme for developing "upwind" finite elements // Int. J. Numer. Meth. Eng. 1978. Vol. 12. P. 1359-1362. 5. Hughes T.J.R., Brooks A. A multidimensional upwind scheme with no crosswind diffusion // Finite Element Methods for Convection Dominated Flows, AMD, 1979. Vol. 34. 6. Kelly D.W., Nakazawa S., Zienkiewicz O.C., Heinrich J.C. A note of upwinding and anisotropic balancing dissipation in finite element approximations to convective diffusion problem. Internat. J. Numer. Methods Eng. 1980. Vol. 15. P. 1705-1711.

Стаття надійшла до редакції 22.02.94

В.М.Зусов, С.Ю.Терлецька, Г.А.Шинкаренко

РОЗ'ЯСУВАНІСТЬ І АПРОКСИМАЦІЯ
УЗАГАЛЬНЕНІХ РОЗ'ЯЗКІВ ПОЧАТКОВО-КРАЙОВИХ ЗАДАЧ
МІГРАЦІЇ АТМОСФЕРНИХ ДОМІШКІВ

Метою даної роботи - проаналізувати коректність варіаційної задачі про нестационарну конвекцію - дифузію пасивної домішки в приземному шарі атмосфери і з'ясувати можливості проекційно-сіткових методів розв'язування даного класу задач. З огляду на те що в використанні спеціального трактування конвективних додаників конструкується варіаційна задача і доводиться, що границя послідовності відповідних напівдискретних апроксимацій Гельзоркіна є її розв'язком. Більше того, для типових просторів методу скічених елементів будуться апріорні оцінки швидкості збіжності таких апроксимацій. Повна дискретизація варіаційної задачі дозволяється побудовою однокрокових рекурентних схем інтегрування по часу, для яких визначаються достатні умови стійкості та оцінки збіжності.

I. Постановка початково-крайової задачі. Нехай Ω - утворює обмежену зв'язну область точок $x = (x_1, \dots, x_n)$ виключного простору \mathbb{R}^n з неперервною за Ліпшичем границею F . Позначимо через $V = (v_1, \dots, v_n)$ одиничний вектор зовнішньої нормалі до Γ , t - поточний момент часу в проміжку, що нас цікавить, $[0, T]$, $0 < t < +\infty$, $u = (u_1, \dots, u_n)$ - заданий вектор швидкості вітру, що задовільняє умову нестисливості:

$$\operatorname{div} u = u_{i,i} = 0 \text{ в } \Omega \times (0, T], \quad /I.1/$$

$f = f(x, t)$ - відома інтенсивність джерел аерозолю, концентрацію якого позначатимемо через $\psi(x, t)$. У рівнянні /I.1/ і всередині далі по індексах, що повторюються, передбачається підсумування від 1 до n , $\varphi_{,i} = \frac{\partial \varphi}{\partial x_i}$.

Розглянемо задачу перенесення і дифузії пасивного аерозолю в приземному шарі атмосфери: знайти концентрацію $\psi(x, t)$ таку, що

$$\psi' + u_i \psi_{,i} - \{ \mu_{ij} \psi_{,j} \}_{,i} + \sigma \psi = f \text{ в } \Omega \times (0, T], \quad /I.2/$$

$$\psi = 0 \text{ на } \Gamma_\psi \times [0, T], \operatorname{mes}(\Gamma_\psi) > 0, \Gamma_\psi \subset \Gamma, \quad /I.3/$$

$$\mu_{ij}\psi_{,j}v_i + \alpha\psi = 0 \text{ на } \Gamma_q \times [0, T], \quad \Gamma_q = \Gamma \setminus \Gamma_\psi, \quad /I.4/$$

$$\psi = \psi_0 \text{ в } \Omega, \quad t=0. \quad /I.5/$$

Тут $\sigma = \sigma(x) \geq 0$ – коефіцієнт поглинання аерозолю; $\mu_{ij} = \mu_{ij}(x)$ – коефіцієнти турбулентної дифузії, що задовільняють звичайну умову симетрії та еліптичності:

$$\begin{cases} \mu_{ij} = \mu_{ji}, \\ \mu_{ij}\xi_i\xi_j \geq \mu_0\xi_i\xi_i, \quad \mu_0 = \text{const} > 0, \quad \forall \xi_i \in \mathbb{R}; \end{cases} \quad /I.6/$$

$\alpha = \alpha(x) \geq 0$ – коефіцієнт взаємодії аерозолю із зовнішнім середовищем; $\Gamma_\psi = \{x \in \Gamma \mid v_i u_i < 0\}$, $\psi' = \frac{\partial \psi}{\partial t}$.

Вичерпаючи фізично змістовні постановки задач про міграцію аерозолю розглянуті у праці [4]. Відзначимо, що такі задачі, як /I.1/, /I.6/, також виникають під час розв'язування екологічних проблем забруднення промисловими стоками водних басейнів [5], забруднення пестицидами сільськогосподарських угідь і ґруntових вод.

2. Варіаційна постановка задачі. Введемо простори

$$\Phi = \{\varphi \in H^1(\Omega) \mid \varphi = 0 \text{ на } \Gamma_\psi\}, \quad H = L^2(\Omega),$$

$$U = \{u \in L^\infty(\Omega)^n \cap H(\operatorname{div}; \Omega) \mid \operatorname{div} u = 0 \text{ в } \Omega\},$$

де $H^k(\Omega)$ – простори функцій Соболєва, інтегрованих з квадратом в області Ω разом зі своїми всім можливими похідними до k -го порядку включно, $H(\operatorname{div}; \Omega) = \{u \in L^2(\Omega)^n \mid \operatorname{div} u \in L^2(\Omega)\}$;

докладніше ці та наведені далі простори описані у праці [1].

Використовуватимемо такі форми:

$$\begin{cases} \tau(\psi, \varphi) = \int \psi \varphi dx, \quad b_1(u; \psi, \varphi) = \frac{1}{2} \int_{\Omega} [\varphi \operatorname{div} \psi u - \psi \operatorname{div} \varphi u] dx, \\ b_2(u; \psi, \varphi) = \frac{1}{2} \int_{\Omega} \varphi \psi u_i v_i dy, \quad b(u; \psi, \varphi) = b_1(u; \psi, \varphi) + b_2(u; \psi, \varphi), \\ a(\varphi, \psi) = \int_{\Omega} \{\mu_{ij} \varphi_{,i} \psi_{,j} + \sigma \varphi \psi\} dx + \int_{\Gamma_q} \alpha \varphi \psi dy, \\ \langle l, \varphi \rangle = \int_{\Omega} f \varphi dx \quad \forall \varphi, \psi \in \Phi, \quad \forall u \in U. \end{cases} \quad /2.1/$$

Розглянемо також із можливих/ варіаційне формулювання початково-крайової задачі /I.1/-I.6/:

$$\begin{cases} \text{здано } \psi_0 \in H, \quad l \in L^2(0, T; \Phi'), \quad u \in L^2(0, T; U); \\ \text{ знайти } \psi \in L^2(0, T; \Phi) \quad \text{таку, що} \\ \tau(\psi'(t), \varphi) + b(u(t), \psi(t), \varphi) + a(\psi(t), \varphi) = \langle l(t), \varphi \rangle, \\ \tau(\psi(0) - \psi_0, \varphi) = 0 \quad \forall \varphi \in \Phi. \end{cases} \quad /2.2/$$

Застосовуючи інтегрування частинами і тотожність

$$b(u, \psi, \varphi) = \int_{\Omega} \varphi u_i \psi_i dx - \frac{1}{2} \left\{ \int_{\Omega} [\varphi \operatorname{div} u - \psi \operatorname{div} \varphi] dx + \int_{\Gamma_4} \varphi \psi u \nu dy \right\}, \quad \forall \varphi, \psi \in \Phi \quad \forall u \in U, \quad /2.3/$$

неважко перевірити, що розв'язок початково-крайової задачі /1.1/-/1.6/ якщо він існує/ одвочасно є розв'язком варіаційної задачі /2.2/.

Змеження 2.1. Неважко перевірати, що неперервна симетрична білінійна форма $a(., .) : \Phi \times \Phi \rightarrow \mathbb{R}$ породжує на просторі Φ форму

$$\| \varphi \| = a^{\frac{1}{2}}(\varphi, \varphi) \quad \forall \varphi \in \Phi, \quad /2.4/$$

Із визначення /2.1/ зрозуміло також, що трилінійні форми $b_k(., ., .)$: $U \times \Phi \times \Phi \rightarrow \mathbb{R}$ мають властивості:

$$\begin{cases} b_1(u, \varphi, \psi) = -b_1(u, \psi, \varphi), \\ b_2(u, \varphi, \psi) \geq 0, \quad \forall u \in U, \quad \forall \varphi, \psi \in \Phi. \end{cases} \quad /2.5/$$

Остання з властивостей /2.5/ дає змогу ввести на Φ ще одну норму:

$$\| \varphi \| = \{b_1(\varphi, \varphi) + b_2(u, \varphi, \varphi)\}^{\frac{1}{2}} \quad \forall \varphi \in \Phi \quad /2.6/$$

3. Надівдискретизація Гальоркіна. Вважаємо наступність підпросторів $\{\Phi_h\} \in \Phi$ таку, що

$$\dim \Phi_h = N(h) = N \neq \infty, \quad h \geq 0, \quad /3.1/$$

$\bigcup_{h>0} \Phi_h$ щільно вкладені в Φ .

Для кожного фіксованого значення $h \geq 0$ визначимо надівдискретну апроксимацію Гальоркіна $\Psi_h \in \Phi_h$ як розв'язок задачі

$$\begin{cases} \text{ знайти } \Psi_h \in L^2(0, T; \Phi_h) \text{ таку, що} \\ t(\Psi'_h(t), \varphi) + b(u(t), \Psi_h(t), \varphi) + a(\Psi_h(t), \varphi) = \langle l(t), \varphi \rangle, \\ t(\Psi_h(0) - \Psi_0, \varphi) = 0, \quad \forall \varphi \in \Phi_h. \end{cases} \quad /3.2/$$

Якщо $\varphi_1, \dots, \varphi_N$ базис простору Φ_h , то розв'язок задачі /3.2/ можна подати у вигляді лінійної комбінації:

$$\Psi_h = \sum_{j=1}^N q_j(t) \varphi_j \quad /3.3/$$

з невідомими коефіцієнтами $Q(t) = (q_1(t), \dots, q_N(t))$.

Підставляючи в рівняння задачі /3.3/ послідовно $\varphi = \varphi_i$, $i=1, \dots, N$, приходимо до такої задачі Коші для визначення цих невідомих:

$$\begin{cases} MQ'(t) + \{B(t) + A\}Q(t) = R(t), & t \in (0, T], \\ M[Q(0) - Q_0] = 0. \end{cases} \quad /3.4/$$

Оскільки

$$\begin{cases} \text{матриці } M = \{m(\varphi_i, \varphi_j)\}_{i,j=1}^N, & \\ \text{симетричні і додатно визначені,} & \end{cases} \quad /3.5/$$

то задача Коші /3.4/ розв'язується однозначно. Отже, для кожного $h > 0$ напівдискретній апроксимації ψ_h розв'язку ψ задачі /2.2/ єдино визначається задачею Коші /3.4/ і формулою /3.3/.

Зauważення 3.1. Неважко перевірити, що складові матриці $B(t)$ мають властивості:

$$\begin{cases} \text{матриця } C(t) = \{\beta_1(\psi(t); \varphi_i, \varphi_j)\}_{i,j=1}^N & \text{кососиметрична,} \\ \text{матриця } D(t) = \{\beta_2(\psi(t); \varphi_i, \varphi_j)\}_{i,j=1}^N & \text{симетрична} \\ \text{i нейвід'ємна} & \end{cases} \quad /3.6/$$

Відзначені факти разом із /3.5/ відіграють ключову роль у конструуванні методів дозщеплення і добуття цілком обґрунтованої можливості їх успішного застосування для розв'язування задачі Коші /3.4/ /4/.

4. Розв'язуваність варіаційної задачі. Підставляючи в рівняння /3.2/ $\varphi = \psi_h(t)$, знаходимо, що

$$\int \frac{d}{dt} |\psi_h(t)|^2 + \|\psi_h(t)\|^2 = \langle l(t), \psi_h(t) \rangle, \quad t \in (0, T], \quad /4.1/$$

$$|\psi_h(0)|^2 = m(\psi_h(0), \psi_0),$$

де 1.1 – норма простору $L^2(\Omega)$.

З останніх рівнянь випливають емпіричні оцінки:

$$\begin{aligned} |\psi_h(t)|^2 + \int_0^t \|\psi_h(\tau)\|^2 d\tau &\leq \\ \leq |\psi_0|^2 + \int_0^t \|l(\tau)\|^2 d\tau, & \forall h > 0, \forall t \in (0, T]. \end{aligned} \quad /4.2/$$

де $\|\cdot\|_*$ норма в просторі Φ' , спряженному до Φ

Звідси робимо висновок, що

$$\begin{cases} \text{послідовність напівдискретних апроксимацій} \\ \{\psi_h\} \text{ обмежена в } L^\infty(0, T; H) \cap L^2(0, T; \Phi), \\ i, \text{ отже, з цієї послідовності можна вибрати підпослідовність,} \\ \text{яку знову позначимо як } \{\psi_h\}, \text{ і функцію } \psi \text{ з} \\ L^\infty(0, T; H) \cap L^2(0, T; \Phi) \text{ такі, що} \end{cases} \quad /4.3/$$

$$\begin{cases} \{\psi_h\} \text{ збігається до } \psi \text{ в } L^\infty(0, T; H) & *-\text{слабо}, \\ \{\psi_h\} \text{ збігається до } \psi \text{ в } Q^2(0, T; \Phi) & \text{слабко}. \end{cases} \quad /4.4/$$

Теорема 4.1 /про коректність варіаційної задачі/.

Нехай виконані включения

$$\psi_0 \in H, \quad l \in L^2(0, T; \Phi'), \quad u \in L^2(0, T; U). \quad /4.5/$$

Тоді існує єдиний розв'язок ψ варіаційної задачі /2.2/, при чому

$$\begin{cases} \psi \in L^\infty(0, T; H) \cap L^2(0, T; \Phi), \\ \psi' \in L^2(0, T; \Phi') \end{cases} \quad /4.6/$$

$$|\psi(t)|^2 + \int_0^t \|\psi(\tau)\|^2 d\tau \leq |\psi_0|^2 + \int_0^t \|l(\tau)\|_*^2 d\tau, \quad \forall t \in [0, T]. \quad /4.7/$$

Доведення теореми завершується перевіркою, що функція з /4.4/ ψ задовільняє рівняння задачі /2.2/ і лише неістотно різниеться від міркувань /1, 2/.

5. Швидкість збіжності напівдискретних апроксимацій. Вважаємо, що щільність вкладення з /3.1/ характеризується властивостями /типовими для більшості просторів апроксимацій методу скінчених елементів /6, 7/:

$$\begin{cases} \text{для кожного } \varphi \in \Phi \cap H^{k+1}(\Omega), k \geq 0, \\ \text{знаходитьсья функція } \varphi_h \in \Phi_h \text{ і} \\ \text{константа } C > 0, \text{ значення якої не} \\ \text{залежить від величин, що нас цікавлять, такі, що} \\ \|\varphi - \varphi_h\|_{m, \Omega} \leq Ch^{k+l-m} \|\varphi\|_{k+1, \Omega}, \quad 0 \leq m \leq k. \end{cases} \quad /5.1/$$

Введемо також оператори ортогонального проектування $\Pi_h : \Phi \rightarrow \Phi_h$, які діють згідно з правилом

$$\|\psi - \Pi_h \psi\| = \inf_{\varphi \in \Phi_h} \|\psi - \varphi\|, \quad \forall \psi \in \Phi. \quad /5.2/$$

Тоді основові похибки напівдискретизації

$$e_h(t) = E_h(t) - E_h(t), \quad /5.3/$$

де

$$\varepsilon_h(t) = \psi_h(t) - \Pi_h \psi(t), \quad E_h(t) = \psi(t) - \Pi_h \psi(t) \quad /5.4/$$

задовільняють енергетичне рівняння

$$\frac{1}{2} \frac{d}{dt} \|\varepsilon'_h(t)\|^2 + \|\varepsilon_h(t)\|^2 = m(E'_h(t), \varepsilon_h(t)) + \beta(E_h(t), \varepsilon_h(t)). \quad /5.5/$$

Останнє приводить до оцінки

$$|\varepsilon_h(t)|^2 + \int_0^t \|\varepsilon_h(\tau)\|^2 d\tau \leq K \left\{ |\varepsilon_h(0)|^2 + \int_0^t [|\varepsilon'_h(\tau)|^2 + \|\varepsilon_h(\tau)\|^2] d\tau \right\}. /5.6/$$

З огляду на те, що /5.2/ і /5.1/ передбачають оцінку

$$\|\varepsilon_h(\tau)\| \leq Ch^k \|\psi(\tau)\|_{k+1, \Omega} \quad \forall t \in [0, T], /5.7/$$

і, зауважуючи, що оператор $P_h : \Phi \rightarrow \Phi_h$ здійснює проектування лише за просторовими змінними, на основі нерівності трикутника, /5.6/ і /5.7/ приходимо до оцінки

$$|\psi(t) - \psi_h(t)|^2 + \int_0^t \|\psi(\tau) - \psi_h(\tau)\|^2 d\tau \leq \\ \leq Kh^{2k} \left\{ \|\psi_0\|_F^2 + \|\psi(t)\|_F^2 + \int_0^t [\|\psi'(\tau)\|_F^2 + \|\psi(\tau)\|_F^2] d\tau \right\}, /5.7/$$

де використаний простір $F = H^{k+1}(\Omega)$ з нормою $\|\cdot\|_F = \|\cdot\|_{k+1, \Omega}$ і $K = \text{const} > 0$ не залежить від h і ψ . Таким чином, доведена така теорема.

Теорема 5.1. /про збіжність напівдискретних апроксимацій/.
Нехай існує таке натуральне $K \geq 1$, що розв'язок ψ варіаційної задачі /2.2/ характеризується включеннями

$$\begin{cases} \psi \in L^\infty(0, T; F) \cap L^2(0, T; F \cap \Phi), \\ \psi' \in L^2(0, T; F), \psi_0 \in F, F = H^{k+1}(\Omega) \end{cases} /5.8/$$

і його напівдискретні апроксимації Гельзоркіна ψ_h відшуковуються у просторах Φ_h із властивостями /5.1/.

Тоді послідовність $\{\psi_h(t)\}$ при $h \rightarrow 0$ збігається відносно норми

$$\|\psi\| = \left\{ \|\psi\|_{L^\infty(0, T; L^2(\Omega))}^2 + \|\psi\|_{L^2(0, T; \Phi)}^2 \right\}^{\frac{1}{2}}$$

до розв'язку ψ задачі /2.2/. Більше того, швидкість збіжності похибки $e_h = \psi - \psi_h$ характеризується оцінкою /5.7/, яка показує, що $\|e_h\| = O(h^k)$.

6. Дискретизація варіаційної задачі по часу. Розіб'ємо відрізок часу $[0, T]$ на $N_t + 1$ рівні /хоча це необов'язково/ частини $[t_j, t_{j+1}]$ завдовжки $\Delta t = t_{j+1} - t_j$, $j = 0, \dots, N_t$, і розглянемо однокрокову рекурентну схему інтегрування задачі /3.1/:

$$\begin{cases} \text{задані параметри } \Delta t > 0, \theta > 0 \quad i \psi^0 \in \Phi_h; \\ \text{ знайти } \psi^{j+1} \in \Phi_h \text{ таку, що} \\ m(\psi^{j+\theta}, \varphi) + \frac{1}{2} \Delta t b(u(t_{j+\frac{1}{2}}), \psi^{j+\theta}, \varphi) + \Delta t \theta a(\psi^{j+\theta}, \varphi) = \\ = m(\psi^j, \varphi) + \Delta t (\theta - \frac{1}{2}) b(u(t_{j+\frac{1}{2}}), \psi^j, \varphi) + \Delta t \theta l(t_{j+\frac{1}{2}}), \varphi, \\ \psi^{j+1} = \psi^j + \theta^{-1} [\psi^{j+\theta} - \psi^j], \quad j = 0, \dots, N_t. \end{cases} /6.1/$$

Тут і пікше для скорочення запису введені позначення:

$$\psi^{j+\frac{1}{2}} = \frac{1}{2}(\psi^{j+1} + \psi^j), \quad \dot{\psi}^{j+\frac{1}{2}} = \Delta t^{-1}(\psi^{j+1} - \psi^j),$$

$$\psi^{j+\theta} = \psi^{j+\frac{1}{2}} + \Delta t(\theta - \frac{1}{2})\dot{\psi}^{j+\frac{1}{2}}.$$

Застосовуючи лему Лакса-Мільграма, переконуємося, що рівняння задачі /6.1/ однозначно розв'язується відносно $\psi^{j+\theta}$, якщо відомі значення розв'язку ψ^j із попереднього кроку по часу. Зауважимо, що рекурентний розв'язок задачі /6.1/ починається після обчислення ψ^0 з рівняння

$$m(\psi^0 - \psi_0, \varphi) = 0 \quad \forall \varphi \in \Phi_h. \quad /6.2/$$

Для визначення стійкості схеми /6.1/ в її рівнянні приймемо $\varphi = \psi^{j+\frac{1}{2}}$. Внаслідок нескладних перетворень отримаємо енергетичне рівняння:

$$\begin{aligned} & \frac{1}{2}|\psi^{j+1}|^2 + \Delta t \|\psi^{j+1}\|^2 + \frac{1}{2}\Delta t(\theta - \frac{1}{2})\|\psi^{j+1}\|^2 = \\ & = \frac{1}{2}|\psi^j|^2 + \frac{1}{2}\Delta t(\theta - \frac{1}{2})\|\psi^j\|^2 + \Delta t \langle l(t_{j+\frac{1}{2}}), \psi^{j+\frac{1}{2}} \rangle, \quad j=0, \dots, N_T, \end{aligned} \quad /6.3/$$

або

$$\begin{aligned} & \frac{1}{2}|\psi^{m+1}|^2 + \Delta t \sum_{j=0}^m \|\psi^{j+\frac{1}{2}}\|^2 + \frac{1}{2}\Delta t(\theta - \frac{1}{2})\|\psi^{m+1}\|^2 = \\ & = \frac{1}{2}|\psi^0|^2 + \Delta t \sum_{j=0}^m \langle l(t_{j+\frac{1}{2}}), \psi^{j+\frac{1}{2}} \rangle + \frac{1}{2}\Delta t(\theta - \frac{1}{2})\|\psi^0\|^2, \quad m=0, \dots, N_T. \end{aligned} \quad /6.4/$$

Беручи до уваги оцінки

$$|\langle l(t_{j+\frac{1}{2}}), \psi^{j+\frac{1}{2}} \rangle| \leq \frac{1}{2} \|\psi^{j+\frac{1}{2}}\|^2 + \frac{1}{2} C \|l(t_{j+\frac{1}{2}})\|_*^2, \quad /6.5/$$

де $\|\cdot\|_*$ – норма в просторі Φ' і символ C , як і всюди далі, використаний для додатних констант, значення яких не залежать від величин, що нас цікавлять, на основі енергетичного рівняння /6.4/ та умови /6.2/ приходимо до апріорних оцінок:

$$\begin{aligned} & |\psi^{m+1}|^2 + \Delta t \sum_{j=0}^m \|\psi^{j+\frac{1}{2}}\|^2 + \Delta t(\theta - \frac{1}{2})\|\psi^{m+1}\|^2 \leq \\ & \leq |\psi_0|^2 + \Delta t(\theta - \frac{1}{2})\|\psi_0\|^2 + \Delta t C \sum_{j=0}^m \|l(t_{j+\frac{1}{2}})\|_*^2, \quad j=0, \dots, N_T. \end{aligned} \quad /6.6/$$

Звідси бачимо, що рекурентна схема /6.1/ безумовно/относно вибору кроку Δt /, стійка, якщо

$$\theta \geq \frac{1}{2}, \quad /6.7/$$

та умовно стійка, якщо

$$0 \leq \theta \leq \frac{1}{2}, \quad \Delta t \leq \frac{2}{\alpha(1-\theta)}, \quad \alpha = \text{const} > 0. \quad /6.8/$$

Нарешті, для оцінки похибок

$$\varepsilon^m = \psi^m - \psi_h(t_m), \quad m=0, \dots, N_T + 1, \quad /6.9/$$

припустимо, що розв'язок ψ_h задачі /3.2/ такий, що

$$\psi_h \in C^3(0, T; \Phi_h). \quad /6.10/$$

Тоді, використовуючи розклади у ряди Тейлора в околі точки $t = t_{j+\frac{1}{2}} = t_j + \frac{1}{2} \Delta t$ і рівняння задачі /3.2/ і /6.1/, знаходимо, що похибки /6.9/ визначаються рівняннями

$$\begin{aligned} m(\dot{\varepsilon}^{j+\frac{1}{2}}, \varphi) + \delta(\varepsilon^{j+\frac{1}{2}}, \varphi) + a(\varepsilon^{j+\theta}, \varphi) = \\ = -\Delta t(\theta - \frac{1}{2})a(\psi'_h(t_{j+\frac{1}{2}}), \varphi) - \Delta t^2 \langle R_j, \varphi \rangle, \quad j=0, \dots, N_T, \quad /6.11/ \\ m(\varepsilon^0, \varphi) = 0, \quad \forall \varphi \in \Phi_h. \end{aligned}$$

Тут функціонали $R_j \in \Phi'$, якщо виконані умови /6.7/. Остаточно, приймаючи в /6.11/ $\varphi = \varepsilon^{j+\frac{1}{2}}$ і, використовуючи попередні міркування, обчислюємо, що

$$\begin{aligned} |\varepsilon^{m+1}|^2 + \Delta t \sum_{j=0}^m \|\varepsilon^{j+\frac{1}{2}}\|^2 + \Delta t(\theta - \frac{1}{2})\|\varepsilon^{m+1}\|^2 \leq \\ \leq 2\Delta t^2 T \left\{ (\theta - \frac{1}{2})^2 \|\psi'_h\|_{C(0, T; \Phi)} + \right. \\ \left. + C\Delta t^2 \max_{j=0, \dots, N_T+1} \|R_j\|^2 \right\}, \quad m=0, \dots, N_T. \quad /6.12/ \end{aligned}$$

Таким чином, доведена така теорема.

Теорема 6.1. /про збіжність рекурентної схеми/. Нехай розв'язок $\psi_h(t)$ напівдискретної задачі /3.2/ задовільняє умову /6.10/. Позначимо через ψ^m його наближене значення в точці $t_m = m\Delta t$, обчислене за допомогою однокрокової рекурентної схеми /6.1/.

Тоді, якщо виконана одна з умов стійкості /6.7/ або /6.8/, похибки /6.9/ дискретизації по часу прямують до нуля /стосовно енергетичної норми $\{|\varepsilon^{m+1}|^2 + \Delta t \sum_{j=0}^m \|\varepsilon^{j+\frac{1}{2}}\|^2\}^{1/2}$ /, і при цьому справедливі апріорні оцінки швидкості збіжності /6.12/. Зокрема, оптимальний порядок швидкості збіжності /дорівнює двом/ досягається вибором

$$\theta = \frac{1}{2} + O(\Delta t). \quad /6.13/$$

Заявлення 6.1. Запис запропонованої схеми інтегрування в часті у ваганді /6.1/ найзручніший для реалізації алгоритму рекурентних обчислень.

7. Висновок. У даній роботі з метою формулування варіаційної постеновки початково-країової задачі про міграцію пасивних серозолей у нестисливій атмосфері використане спеціальне трактування конвективних складсюх рівняння конвекції і дифузії /див. тогожість /2.3//. Такий підхід дав змогу, по-перше, повною

щутого застосувати енергетичні міркування для конструктивного доказання коректності варіаційної задачі із зачлененням напівдискретних за просторовими змінними апроксимації Гальбрікіна. Особливість запропонованого формульовання така, що в стаціональному випадку коректність варіаційної задачі є простим наслідком теореми Лакса-Нідерберга [3].

Но-інше, на основі результатів [8] отримані оцінки швидкості збіжності згаданих напівдискретних розв'язків у просторах апроксимації методу скінчених елементів.

Каршті, для інтегрування розглянутої задачі в часі запропоноване однокрокова рекурентна схема, для якої на основі енергетичних оцінок визначені умови стійкості і швидкісні збіжності.

Викликаючи самостійне зацікавлення, отримані результати можуть служити обґрунтуванням для успішного аналізу міграції аеродисперсій методами розщеплення [5], зокрема, по фізичних процесах.

1. Дюро Г., Лионс К.-Л. Неравенства в механике и физике. М.: Наука, 1980. 383 с. 2. Ладыженская О.А. Краевые задачи математической физики. М.: Наука, 1973. 408 с. 3. Зубов В.М., Шинкаренко Г.А. Розв'язуваність та апроксимація варіаційних задач переносу та дифузії домішок у нестисливій атмосфері // Вісн. Львів. ун-ту. Сер. мах.-мат. 1992. Вип. 37. С.55-60. 4. Марчук Г.И. Математическое моделирование в проблеме окружющей среды. М.: Наука, 1982. 320 с. 5. Марчук Г.И. Методы расщепления. М.: Наука, 1988. 264 с. 6. Стринг Г., Фикс Дж. Теория метода конечных элементов. М.: Мир, 1977. 350 с. 7. Съярле Ф. Метод конечных элементов для эллиптических задач. М.: Мир, 1980. 512 с. 8. Шинкаренко Г.А. Проекційно-сіткові методи розв'язування початково-крайових задач. К., Наук.-метод. каб. виш. освіти, 1991. 88 с.

Стаття надійшла до редколегії 22.02.94

Б.В.Ковальчук, О.І.Гой

УЗАГАЛЬНЕНЕ ВАРИАЦІЙНЕ РІВНЯННЯ

І ТЕОРЕМА ВЗАЄМНОСТІ РОЗВ'ЯЗКІВ КРАЙОВОЇ ЗАДАЧІ

УЗАГАЛЬНЕНОЇ ТЕРМОПРУЖНОСТІ АНІЗОТРОПНОГО ТІЛА

Нехай анізотропне тіло, яке займає область Ω , обмежену поверхнею S , в природному стані має температуру t_0 . Внаслідок дії теплових або силових чинників тіло деформуватиметься, а його температура змінюватиметься. У тілі виникнуть переміщення u_i і приріст температури $\theta = t - t_0$, а це в свою чергу приведе до виникнення деформацій e_{ij} та напружень σ_{ij} , які є функціями координат x_i і часу T . Причому надалі вважатимемо, що зміна температури невелика і не спричиняє істотних змін температурних характеристик матеріалу.

Для випадку, коли час релаксації теплового потоку має різні значення для головних напрямів, узагальнений закон тепло провідності можна записати у вигляді

$$(1 + \tau_p \frac{\partial}{\partial T}) q_p = -\lambda_{pj}^t t_{,j} \quad (p, j = 1, 2, 3), \quad /1/$$

де τ_p – час релаксації теплового потоку в напрямі осі x_p ; λ_{pj}^t – коефіцієнти тепlopровідності; q_p – компоненти вектора теплового потоку.

Якщо в початковий момент часу швидкість нагрівання та швидкість переміщення дорівнюють нулю і внутрішні джерела тепла відсутні, то на основі рівняння /1/ можна одержати інтегродиференціальні рівняння тепlopровідності /1/:

$$\frac{\lambda_{ij}^t}{\tau_i} \int_0^T \theta_{,ij}(M, \zeta) \exp\left(\frac{\zeta - T}{\tau_i}\right) d\zeta = t_0 \beta_{ij} e_{ij} + c_e \theta - \omega_t. \quad /2/$$

Тут c_e – об'ємна теплоємність за сталої деформації; ω_t – густина внутрішніх джерел тепла; $\beta_{ij} = \alpha_{kl}^t C_{ijkl}$, де C_{ijkl} – декартові компоненти тензора пружності короткості анізотропного тіла; α_{ij}^t – температурні коефіцієнти лінійного розширення анізотропного тіла.

У даній роботі розглянута аналогічна релаксаційна модель, для якої одержане узагальнене варіаційне рівняння і доведена теорема взаємності розв'язків крайової задачі узагальненої термолужності анізотропного тіла.

© Ковальчук Б.В., Гой О.І., 1995

1. Варіаційне рівняння. Запишемо рівняння /1/ у вигляді

$$l_p q_p = -\lambda_{pj}^t \theta_{,j}, \quad /1'$$

Введемо вектор H , який зв'язаний з вектором теплового потоку співвідношенням

$$q = t_0 H. \quad /3/$$

Із /1'/ і /3/ випливає, що

$$\theta_{,p} = -t_0 K_{pj} l_j \dot{H}_j, \quad /4/$$

де K_{pj} – обернена матриця для λ_{pj}^t .

Запишемо тепер відоме рівняння швидкості росту ентропії S_t /2/:

$$t_0 \dot{S}_t = c_e \dot{t} + t_0 \beta_{ij} \dot{e}_{ij}, \quad /5/$$

яке можна подати також у вигляді

$$\dot{H}_{i,i} = -\frac{c_e}{t_0} \ddot{\theta} - \beta_{ij} \dot{e}_{ij}. \quad /5'$$

Помноживши рівняння /4/ на δH_i , проінтегруємо його по області Ω і застосуємо теорему Гаусса-Остроградського. Використавши /5'/, одержимо

$$\begin{aligned} \int_S \theta \delta H_i p_i dS + \frac{c_e}{t_0} \int_{\Omega} \theta \delta \theta d\Omega + \int_{\Omega} \beta_{ij} \theta \delta e_{ij} d\Omega + \\ + t_0 \int_{\Omega} K_{ij} \delta H_i l_j \dot{H}_j d\Omega = 0. \end{aligned} \quad /6/$$

З іншого боку, варіацію роботи деформації можна подати у вигляді /3/

$$\begin{aligned} \delta W_e = \int_{\Omega} x_i \delta u_i d\Omega + \int_S p_i \delta u_i ds - \rho \int_{\Omega} \ddot{u}_i \delta u_i d\Omega + \\ + \int_{\Omega} \beta_{ij} \theta \delta e_{ij} d\Omega, \end{aligned} \quad /7/$$

де в правій частині цього рівняння присутні варіації переміщень, деформацій і відсутні варіації температури.

Вилучивши із /6/ і /7/ члени, які містять варіації деформацій, приходимо до узагальненого варіаційного рівняння:

$$\delta(W_e + P_t + D) = \delta L - \int_S \theta \delta H_n dS,$$

/8/

де

$$\delta H_n = n_i \delta H_i, \quad P_t = \frac{C_e}{2t_0} \int_{\Omega} \theta^2 d\Omega,$$

$$\delta D = t_0 \int_{\Omega} K_{ij} \delta H_i l_j \dot{H}_j d\Omega.$$

/9/

З формулі /8/ випливає, що вергіція суми роботи деформації, теплового потенціалу і функції дисипації дорівнює віртуальній роботі зовнішніх сил, сил інерції і нагрівання поверхні тіла.

2. Теорема взаємності. Розглянемо для рівняння теплопровідності /2/ дві системи величин $\{x_i, p_i, \omega_t, h\}$ і $\{x'_i, p'_i, \omega'_t, h'\}$ де h, h' – поверхневі нагріві. Переміщення і температуру позначимо відповідно $\{u_i, t\}$ і $\{u'_i, t'\}$. Припускаємо, що деформації та напруження є функціями класу $C^{(1)}$, а переміщення і температура – функціями класу $C^{(2)}$.

На основі співвідношення Дюгамеля-Неймана зв'язок між компонентами тензорів деформацій, напружень і температури запишуємо так /2, 3/:

$$\sigma_{ij} = c_{ijkl} e_{kl} - \beta_{ij} \theta, \quad \sigma'_{ij} = c'_{ijkl} e'_{kl} - \beta'_{ij} \theta'. \quad /10/$$

Перша частина теореми взаємності доведена в монографії /3/.

Там наведено рівняння

$$\int_S (\bar{p}_i \bar{u}'_i - \bar{p}'_i \bar{u}_i) dS + \int_{\Omega} (\bar{x}_i \bar{u}'_i - \bar{x}'_i \bar{u}_i) d\Omega + \int_{\Omega} \beta_{ij} (\bar{e}'_{ij} \theta - \bar{e}_{ij} \bar{\theta}') d\Omega = 0 /11/$$

де $\bar{\theta}'$ – трансформанта перетворення Лапласа по τ .

Доведемо другу частину теореми взаємності. Для цього розглянемо рівняння теплопровідності /2/ для обох систем величин за таких початкових умов:

$$u_i(M, 0) = 0, \quad \dot{u}_i(M, 0) = 0, \quad u'_i(M, 0) = 0, \quad \dot{u}'_i(M, 0) = 0, \quad M \in \partial\Omega \quad /12/$$

та за краївих умов:

$$\theta(p, \tau) = h(p, \tau), \quad \theta'(p, \tau) = h'(p, \tau), \quad p \in S, \quad \tau > 0, \quad /13/$$

$$\theta(M, 0) = 0, \quad \theta'(M, 0) = 0, \quad M \in \partial\Omega. \quad /14/$$

За таких умов, застосовуючи до рівняння теплопровідності /2/ для обох систем величин перетворення Лапласа по часу, одержуємо

$$\frac{\lambda_{ij}^t}{\tau_i s + 1} \bar{\theta}_{,ij} = t_0 \beta_{ij} s \bar{e}_{ij} + c_e s \bar{\theta} - \bar{\omega}_t, \quad /I5/$$

$$\frac{\lambda_{ij}^t}{\tau_i s + 1} \bar{\theta}'_{,ij} = t_0 \beta_{ij} s \bar{e}'_{ij} + c_e s \bar{\theta}' - \bar{\omega}'_t, \quad /I6/$$

- параметр перетворення Лапласа.

Колиоживши тіпер рівняння /I5/ і /I6/ відповідно на $\bar{\theta}'$ і $\bar{\theta}$,

залишмо їх почленно, а потім зінтегруємо по області Ω . В

цьогорівні матимемо

$$\int_{\Omega} \frac{\lambda_{ij}^t}{\tau_i s + 1} (\bar{\theta}_{,ij} \bar{\theta}' - \bar{\theta}'_{,ij} \bar{\theta}) d\Omega = \int_{\Omega} \beta_{ij} (\bar{e}_{ij} \bar{\theta}' - \bar{e}'_{ij} \bar{\theta}) d\Omega - \int_{\Omega} (\bar{\omega}_t \bar{\theta}' - \bar{\omega}'_t \bar{\theta}) d\Omega. \quad /I7/$$

Із /I7/, враховуючи співвідношення

$$(\lambda_{ij}^t \bar{\theta}_{,i} \bar{\theta}')_{,j} = \lambda_{ij}^t \bar{\theta}_{,ij} \bar{\theta}' + \lambda_{ij}^t \bar{\theta}_{,j} \bar{\theta}', \quad /I8/$$

$$(\lambda_{ij}^t \bar{\theta}'_{,i} \bar{\theta})_{,j} = \lambda_{ij}^t \bar{\theta}'_{,ij} \bar{\theta} + \lambda_{ij}^t \bar{\theta}'_{,j} \bar{\theta}, \quad /I9/$$

і рівняння /I6/, після застосування теореми Гаусса-Остроградського знайдемо

$$\int_S \frac{\lambda_{ij}^t}{\tau_i s + 1} (\bar{h}' \bar{\theta}_{,j} - \bar{h} \bar{\theta}'_{,j}) n_i dS - \int_{\Omega} \beta_{ij} (\bar{e}_{ij} \bar{\theta}' - \bar{e}'_{ij} \bar{\theta}) d\Omega + \int_{\Omega} (\bar{\omega}_t \bar{\theta}' - \bar{\omega}'_t \bar{\theta}) d\Omega = 0. \quad /20/$$

Рівняння /20/ є другою частиною теореми взаємності.

На основі /II/ і /20/ запишемо загальну формулу:

$$\begin{aligned} & \int_S t_0 \int_S (\bar{p}_i \bar{u}'_i - \bar{p}'_i \bar{u}_i) dS + t_0 \int_{\Omega} (\bar{x}_i \bar{u}'_i - \bar{x}'_i \bar{u}_i) d\Omega = \\ & = \int_S \frac{\lambda_{ij}^t}{\tau_i s + 1} (\bar{h}' \bar{\theta}_{,i} - \bar{h} \bar{\theta}'_{,i}) n_j dS + \int_{\Omega} (\bar{\omega}_t \bar{\theta}' - \bar{\omega}'_t \bar{\theta}) d\Omega. \end{aligned} \quad /21/$$

Нарешті, застосувавши до рівняння /21/ обернене перетворення Лапласа, одержимо

$$\begin{aligned} & t_0 \int_S \left\{ \int_0^T \left[p_i(M, \tau - \tau_0) \frac{\partial u'_i(M, \tau_0)}{\partial \tau_0} - p'_i(M, \tau - \tau_0) \frac{\partial u_i(M, \tau_0)}{\partial \tau_0} \right] d\tau_0 \right\} dS + \\ & + t_0 \int_{\Omega} \left\{ \int_0^T \left[x_i(M, \tau - \tau_0) \frac{\partial u'_i(M, \tau_0)}{\partial \tau_0} - x'_i(M, \tau - \tau_0) \frac{\partial u_i(M, \tau_0)}{\partial \tau_0} \right] d\tau_0 \right\} d\Omega = \end{aligned}$$

$$= \int_{\Sigma} \left\{ \int_0^{\tau} [\theta'(M, \tau - \tau_0) \omega_t(M, \tau_0) - \theta(M, \tau - \tau_0) \omega'_t(M, \tau_0)] d\tau_0 \right\} dS + \\ + \int_S n_j \frac{\lambda_{ij}}{\tau_i} \left\{ \int_0^{\tau} [h'(M, \tau - \tau_0) \varphi_i(M, \tau_0) - h(M, \tau - \tau_0) \varphi'_i(M, \tau_0)] d\tau_0 \right\} dS,$$

122/

де

$$\varphi_i(M, \tau) = \int_0^{\tau} \theta_{,i}(M, \xi) \exp\left(\frac{\xi - \tau}{\tau_i}\right) d\xi.$$

123/

Таким чином, доведена узагальнена теорема взаємозв'язаної динамічної задачі термопружності анізотропного тіла з урахуванням ортотропії часу релаксації теплового потоку.

І. Коляно Ю.М., Ковалъчук Б.В., Гой О.И.
Уравнения обобщенной термоупругости анизотропного тела, учитывающие ортотропию времени релаксации теплового потока // Изв. высш. уч. заведений. Математика. 1988. № 9. С.81-83. 2. Новавацкий В. Теория упругости. М., 1975. 3. Постригач Я.С., Коляно Ю.М. Обобщенная термомеханика. К., 1976.

Стаття надійшла до редколегії II.04.94

УДК 519.6

С.Б.Костенко, Б.О.Попов
РІВНОМІРНЕ НАБЛИЖЕННЯ МАТЕМАТИЧНИХ ФУНКІЙ
МОНОЧЛЕННИМИ СПЛАЙНАМИ

Для прискорення обчислення математичних функцій розглядаються нові підходи до вибору ланок сплайнів, за допомогою яких можна здійснити рівномірне наближення.

Теорема 1. Нехай $f(x) \in C^2[a, b]$ і похідна $f'(x)$ функції $f(x)$ перетворюється в нуль в s внутрішніх точках $C = \{c_i\}_{i=1}^s$ інтервалу $[a, b]$, $s = 0, 1, 2, \dots$ ($s < r$), а в інших точках цього інтервалу не дорівнює нулю. Тоді максимальна похибка ε рівномірного наближення чебишовими відрізками сталих функції $f(x)$ на інтервалі $[a, b]$ при $w(x) \equiv 1$ із заданою кількістю r цих відрізків, де $r \rightarrow \infty$ можна знайти за формулою

$$\varepsilon = \frac{1}{2r} \left| f(a) + 2 \sum_{i=1}^s (-1)^i f(c_i) + (-1)^{s+1} f(b) \left[1 + O(s(\frac{b-a}{2})^2) \right] \right|. /1/$$

Формула /1/ точніша, ніж відомий вираз [2].

© Костенко С.Б., Попов Б.О., 1995

Якщо функція $f(x)$ - монотонна, то формула для обчислення похибки наближення є точнор і виглядає так

$$\varepsilon = |f(a) - f(b)| / 2z.$$

Наслідок. В умовах теореми 1 розміщення вузлів сплайну $Z = \{z_i\}_{i=0}^2$, $a = z_0 < z_1 < \dots < z_s = b$ за асимптотичного рівномірного абсолютноного наближення визначається за формуюю

$$z_i = f^{-1}\left((-1)^i \left[f(a) + 2 \sum_{k=1}^j (-1)^k f(c_k) - \frac{i}{z} E\right]\right), i = \overline{0, z},$$

$$\text{де } E = f(a) + 2 \sum_{t=1}^s (-1)^t f(c_t + (-1)^{s+1} f(b)), c_{j-1} < z_i \leq c_j, c_0 = a, c_{s+1} = b;$$

$f^{-1}(u)$ - функція обернена до функції $f(x)$.

У випадку рівномірного абсолютноного наближення монотонної функції $f(x)$ на проміжку $[a, b]$ розміщення вузлів $\{z_i\}_{i=0}^z$ визначається як

$$z_i = f^{-1}\left(f(a) + \frac{i}{z} [f(b) - f(a)]\right), i = \overline{0, z}.$$

Теорема 2. Нехай $f(x) \in C^2[a, b]$, $f'(x) > 0$ при $x \in [a, b]$ і похідна $f'(x)$ перетворюється в нуль в s точках $C = \{c_i\}_{i=1}^s$ інтервалу (a, b) , $s = 0, 1, 2, \dots$ ($s \ll z$), а в інших точках цього інтервалу не дорівнює нулю. Тоді максимальна похибка δ рівномірного відносного наближення чебишовими відрізками стала із заданою кількістю z цих відрізків при $z \rightarrow \infty$ обчислюється за формулою

$$\delta = \frac{\left| f(b)^{\frac{1}{z}} \prod_{i=1}^s f(c_i)^{(-1)^i \frac{z}{2}} f(b)^{\frac{(-1)^{s+1}}{z}} \right|}{\left| 1 + f(a)^{\frac{1}{z}} \prod_{i=1}^s f(c_i)^{(-1)^i \frac{z}{2}} f(b)^{\frac{(-1)^{s+1}}{z}} \right|} \left[1 + O\left(\frac{s}{z} \left(\frac{b-a}{z}\right)^2\right) \right].$$

Для монотонної на проміжку $[a, b]$ функції $f(x)$ формула для обчислення похибки набирає вигляду

$$\delta = |f(b)^{\frac{1}{z}} - f(a)^{\frac{1}{z}}| / (f(b)^{\frac{1}{z}} + f(a)^{\frac{1}{z}}).$$

Наслідок. В умовах теореми 2 розміщення вузлів $Z = \{z_i\}_{i=0}^z$ асимптотичного рівномірного відносного наближення функції $f(x)$ на проміжку $[a, b]$ визначається як

$$z_i = f^{-1}\left(E^{(-1)^{i+1}} \frac{1}{z} f(a)^{(-1)^i} \left(\prod_{k=1}^j f(c_k)^{2(-1)^k} \right)^{(-1)^{j+1}}\right), i = \overline{0, z},$$

$$\text{де } E = f(a) \prod_{i=1}^s f(c_i)^{(-1)^i \frac{z}{2}} f(b)^{(-1)^{s+1}}, c_{j-1} < z_i \leq c_j, c_0 = a, c_{s+1} = b.$$

Якщо функція $f(x)$ на $[a, b]$ монотонна то

$$z_i = f^{-1}\left(f(a)^{(i-1)/z} f(b)^{i/z}\right), i = \overline{0, z}.$$

Рівномірне наближення функцій многочленами сплайнами досліджено у праці [2]. Використовуючи замість останнього коефіцієнта многочлена степеня m величину $W = 2^{1/z}$, $i = 1, 2, \dots$, одержуємо

$$V_{m-1}(x) = \sum_{i=0}^{m-1} a_i x^i + W x^m.$$

121

Величину w вибираємо близькою до відповідного коефіцієнта найліпшого чебишового наближення многочленом. Такі вирази називають економічними, оскільки при обчисленні на ЕОМ вони дають економію часу. Це досягається завдяки тому, що операція наближення заміняється зсувом або додаванням порядків відповідних двійкових зображень.

Головним чином використовують лінійні економічні наближення:

$$V_0(x) = A + wx. \quad /3/$$

Функція похиби такого наближення для функції $f(x)$ визначається як

$$\mu(x) = f(x) - A - wx = (f(x) - w(x)) - A.$$

Таким чином, наближення функції $f(x)$ економічним лінійним виразом зводиться до наближення функції $\varphi(x) = f(x) - wx$ постійною, а у випадку кускової апроксимації рівномірне наближення функції $f(x)$ економічним лінійним сплайнам /сплайнам з ланками вигляду /3/ / зводиться до наближення чебишовими відрізками постійних. Властивості таких наближень випливають з теорем 1 і 2, а також з їхніх наслідків.

Для парних і непарних функцій вибір виразу економічних наближень доцільніше здійснювати відповідно до структури ряду розкладу функції за степенями аргументу. Якщо функція $f(x)$ - парна, то здійснюватимемо її наближення, а якщо непарна, - наближення функції $f(x)/x$ економічним виразом вигляду

$$\tilde{V}_0(x) = A + wx^2, \quad /4/$$

де величина w вибирається аналогічно. Як і у випадку наближення лінійними економічними сплайнами наближення парних і непарних функцій сплайнами з ланками вигляду /4/ можна звести до наближення чебишовими відрізками постійних.

Парні та непарні функції належать до множини функцій, що зображаються такими степеневими рядами:

$$f(x) = \sum_{i=0}^{\infty} a_i x^{ip+s}, \quad |x| < R. \quad /5/$$

Ці функції зручно наближати сплайнами з ланками у вигляді многочленів за степенями x^2 :

$$P_m(x) = \sum_{i=0}^m d_i x^{ip+s}. \quad /6/$$

Розглянемо властивості таких сплайнів.

Теорема 3. Максимальна похибка δ рівномірного абсолютноїого наближення функції /5/ чебишовим сплайнам з γ ланками вигляду /6/ при $\omega(x) \equiv 1$ є на проміжку $[0, b]$, $b < R$ визначається за формулою

$$\begin{aligned} \delta = & \frac{2B^{P(m+1)+s}}{(4\gamma)^{m+1}} \alpha_{m+1} \left[\frac{1}{1+s/(m+1)} + \sum_{j=1}^{\infty} \prod_{i=0}^{j-1} \left(\frac{1}{m+1} - i \right) \times \right. \\ & \times \sum_{\substack{n_1+\dots+n_k=j \\ k=1,\infty}} \frac{\beta^{P(n_1+2n_2+\dots+kn_k)}}{n_1! \dots n_k! \{(1+n_1+\dots+kn_k)p+\frac{s}{m+1}\}} \prod_{e=1}^K \left(\frac{(m+2)_e}{e!} \frac{\alpha_{e+m+1}}{\alpha_{m+1}} \right)^{n_e} \left. \right]^{m+1} [1+O(\frac{\delta}{\gamma})]. \end{aligned}$$

Наслідок. Границі ланок $Z = \{z_i\}_{i=0}^{\infty}$ асимптотичного рівномірного абсолютноїого наближення функції /5/ сплайнам з γ ланками вигляду /6/ на проміжку $[0, b]$ задаються рівняннями:

$$\begin{aligned} & \frac{1}{2} \left[\frac{1}{1+\frac{s}{m+1}} + \sum_{j=1}^{\infty} \prod_{i=0}^{j-1} \left(\frac{1}{m+1} - i \right) \sum_{\substack{n_1+\dots+n_k=j \\ k=1,\infty}} \frac{\beta^{P(n_1+2n_2+\dots+kn_k)}}{n_1! n_2! \dots n_k! \{(1+n_1+\dots+kn_k)p+\frac{s}{m+1}\}} \times \right. \\ & \times \prod_{e=1}^K \left(\frac{(m+2)_e}{e!} \frac{\alpha_{e+m+1}}{\alpha_{m+1}} \right)^{n_e} \left. \right] = \frac{1}{1+\frac{s}{m+1}} + \sum_{j=1}^{\infty} \prod_{i=0}^{j-1} \left(\frac{1}{m+1} - i \right) \times \\ & \times \sum_{\substack{n_1+\dots+n_k=j \\ k=1,\infty}} \frac{z_i^{P(n_1+2n_2+\dots+kn_k)}}{n_1! \dots n_k! \{(1+n_1+\dots+kn_k)p+\frac{s}{m+1}\}} \times \prod_{e=1}^K \left(\frac{(m+2)_e}{e!} \frac{\alpha_{e+m+1}}{\alpha_{m+1}} \right)^{n_e}. \end{aligned}$$

Теорема 4. Якщо для функції $f(x)$ і для функції $1/f(x)$ існують розклади в ряди за степенями аргументу, то максимальна похибка δ рівномірного відносного наближення функції $f(x)$ вигляду /5/ чебишовим сплайнам із γ ланками вигляду /6/ на проміжку $[0, b]$, $b < R$ визначається за формулою

$$\begin{aligned} \delta = & \frac{2B^{P(m+1)}}{(4\gamma)^{m+1}} \alpha_{m+1} \beta_0 \left[1 + \sum_{j=1}^{\infty} \prod_{i=0}^{j-1} \left(\frac{1}{m+1} - i \right) \times \right. \\ & \times \sum_{\substack{n_1+\dots+n_k=j \\ k=1,\infty}} \frac{\beta^{P(n_1+2n_2+\dots+kn_k)}}{n_1! \dots n_k! \{(1+n_1+\dots+kn_k)p+\frac{s}{m+1}\}} \prod_{e=1}^K \left(\sum_{q=1}^e \frac{(m+2)_q}{q!} \frac{\alpha_{q+m+1}}{\alpha_{m+1}} \frac{\beta_{e-q}}{\beta_0} \right)^{n_e} \left. \right]^{m+1} [1+O(\frac{\delta}{\gamma})], \end{aligned}$$

$$\text{де } 1/f(x) = \sum_{l=0}^{\infty} \beta_l x^{lp-s}.$$

Наслідок. Границі ланок $Z = \{z_i\}_{i=0}^{\infty}$ асимптотичного рівномірного відносного наближення функції $f(x)$ сплайнам з γ ланками вигляду /6/, якщо для функцій $f(x)$ і $1/f(x)$ існують зображення /5/ і /7/ відповідно, є розв'язками рівняння

$$\frac{1}{2} \left[1 + \sum_{j=1}^{\infty} \prod_{i=0}^{j-1} \left(\frac{1}{m+1} - i \right) \sum_{\substack{n_1+\dots+n_k=j \\ k=1,\infty}} \frac{\beta^{P(n_1+2n_2+\dots+kn_k)}}{n_1! \dots n_k! \{(1+n_1+\dots+kn_k)p+\frac{s}{m+1}\}} \times \right.$$

$$\times \prod_{l=1}^K \left(\sum_{q=1}^c \frac{(m+2)_q}{q!} \frac{\alpha_{q+m+1}}{\alpha_{m+1}} \frac{\beta_{e-q}}{\beta_0} \right)^{n_l} = 1 + \sum_{j=1}^{\infty} \prod_{i=0}^{j-1} \left(\frac{1}{m+1} - i \right) \times$$

$$\times \sum_{\substack{n_1 + \dots + n_K = j \\ K = 1, \infty}} \frac{\varepsilon_j P(n_1 + 2n_2 + \dots + kn_K)}{n_1! \dots n_K! (1 + n_1 + \dots + kn_K)} \prod_{l=1}^K \left(\sum_{q=1}^c \frac{(m+2)_q}{q!} \frac{\alpha_{q+m+1}}{\alpha_{m+1}} \frac{\beta_{e-q}}{\beta_0} \right)^{n_l}.$$

Доцільність запропонованих підходів до вибору структури ланок сплайнів проілюструємо на такому прикладі.

Приклад. Здійснимо рівномірне абсолютное наближення функції $f(x) = \cos x$ сплайнами з ланками різного вигляду на проміжку $[0, \pi/2]$. Похибки відповідних наближень для різних значень ε наведені у таблиці /верхнє значення – похибка, визначена теоретично, за допомогою однієї із виведених формул/; нижнє – максимальна із похибок, отриманих на кожній ланці сплайну внаслідок реалізації методу найліпших чебишових наближень/. Приклад підтверджує також точність отриманих формул.

Вигляд ланки сплайну :		$\varepsilon = 2$	$\varepsilon = 4$	$\varepsilon = 8$
A		$2,5000 \cdot 10^{-1}$	$1,25000 \cdot 10^{-1}$	$6,2500 \cdot 10^{-1}$
		$2,5000 \cdot 10^{-1}$	$1,2500 \cdot 10^{-1}$	$6,2600 \cdot 10^{-1}$
$A + w x$		$1,1756 \cdot 10^{-1}$	$5,8781 \cdot 10^{-2}$	$2,9390 \cdot 10^{-2}$
		$1,1756 \cdot 10^{-1}$	$5,8781 \cdot 10^{-2}$	$2,9390 \cdot 10^{-2}$
$A + B x$		$2,2430 \cdot 10^{-2}$	$5,6075 \cdot 10^{-3}$	$1,4019 \cdot 10^{-3}$
		$2,2637 \cdot 10^{-2}$	$5,6232 \cdot 10^{-3}$	$1,4104 \cdot 10^{-3}$
$A + w x^2$		$5,8425 \cdot 10^{-2}$	$2,9213 \cdot 10^{-2}$	$1,4606 \cdot 10^{-2}$
		$5,8425 \cdot 10^{-2}$	$2,9213 \cdot 10^{-2}$	$1,4606 \cdot 10^{-2}$
$A + B x^2$		$5,9953 \cdot 10^{-3}$	$1,7488 \cdot 10^{-3}$	$4,3721 \cdot 10^{-4}$
		$5,9968 \cdot 10^{-3}$	$1,7489 \cdot 10^{-3}$	$4,3721 \cdot 10^{-4}$

де $w = -1/2$.

1. Благовещенский Ю.В., Теслер Г.С. Вычисление элементарных функций на ЭВМ. К.: Техника, 1977. 205 с.
2. Нойзин Б.О. Равномерное приближение сплайнами. К.: Наук. думка, 1989. 272 с.
3. Полов Б.О., Теслер Г.С. Приближение функций для технических приложений. К.: Наук. думка, 1980. 350 с.

Стаття надійшла до редакції 3.02.94 р.

Марія Д.Мартиненко, Н.В.Горбачова

ЛІНЕАРИЗАЦІЯ ДЛЯ ОДНІСІЇ ГІПЕРБОЛІЧНОЇ ЗАДАЧІ
КОШІ ПАРНОГО ПОРЯДКУ

В області $D = \{(x,t); -\infty < x < +\infty, t > 0\}$ розглянемо таку задачу
коші:

$$\prod_{k=1}^m \left(\frac{\partial^2}{\partial t^2} - a_k^2 \frac{\partial^2}{\partial x^2} \right) u = f(u, x, t), \quad (x, t) \in D; \quad /1/$$

$$\frac{\partial^l u(x, 0)}{\partial t^l} = \varphi_l(x), \quad -\infty < x < +\infty, \quad 0 \leq l \leq 2m-1. \quad /2/$$

Припустимо, що $a_k \neq a_\ell, k \neq \ell, |\varphi_0(x)| > 0, \forall x \in (-\infty, +\infty)$.
та задача /1/-/2/ має єдиний класичний розв'язок в області D .
Крім цього, вважатимемо, що $f(u, x, t)$ обмежена, неперервна
та задовільняє умову Ліпшиця по змінній u зі сталою L ,
яка не залежить від $(x, t) \in D$.

Задачі /1/-/2/ поставимо у відповідність таку лінійну за-
дачу:

$$\prod_{k=1}^m \left(\frac{\partial^2}{\partial t^2} - a_k^2 \frac{\partial^2}{\partial x^2} \right) \tilde{u} = \kappa \tilde{u}, \quad (x, t) \in D, \quad /3/$$

$$\frac{\partial^l \tilde{u}(x, 0)}{\partial t^l} = \varphi_l(x), \quad 0 \leq l \leq 2m-1, \quad /4/$$

де

$$\kappa = \frac{f(u_0, x, t)}{u_0}, \quad u_0 \equiv u(x, 0) = \varphi_0(x).$$

Оцінимо близькість розв'язків задач /1/-/2/ та /3/-/4/. Для цьо-
го позначимо через v їхню різницю: $v = u - \tilde{u}$. Тоді з /1/-
/4/ дістанемо:

$$\prod_{k=1}^m \left(\frac{\partial^2}{\partial t^2} - a_k^2 \frac{\partial^2}{\partial x^2} \right) v = f(u, x, t) - \kappa \tilde{u} \equiv F(u, \tilde{u}, x, t), \quad /5/$$

$$\frac{\partial^l v(x, 0)}{\partial t^l} = 0, \quad 0 \leq l \leq 2m-1. \quad /6/$$

Звідки на основі відомої теореми Боджіо [4] та принципу Дюга-
меля [1] матимемо таке інтегральне зображення для v :

$$v(x, t) = \frac{1}{2} \sum_{k=1}^m \alpha_{2m-1, k} \int_0^t \left\{ \int_0^{x+a_k(t-\tau)} \frac{[x+a_k(t-\tau)-\xi]^{2m-2}}{(2m-2)!} F(u, \tilde{u}, \xi, \tau) d\xi - \right. \\ \left. - \int_0^{x-a_k(t-\tau)} \frac{[x-a_k(t-\tau)-\xi]^{2m-2}}{(2m-2)!} F(u, \tilde{u}, \xi, \tau) d\xi \right\} d\tau, \quad /7/$$

де сталі $\alpha_{2m-1,k}$ є розв'язками такої системи алгебраїчних рівнянь:

$$\sum_{k=1}^m \alpha_{2m-1,k} a_k^{2l+1} = \delta_{l,m-1} \quad (l=0, m-1), \quad \delta_{l,m} = \begin{cases} 0, & l \neq m, \\ 1, & l = m. \end{cases} \quad /8/$$

Система /8/ має єдиний розв'язок, оскільки її визначник є визначником Вандермонда, який завжди не дорівнює нулю при $a_k \neq a_l$, $k \neq l$.

Звичайними міркуваннями з формулі /7/ маємо таку нерівність при $(x,t) \in D_\Delta$, де D_Δ - найбільший з трикутників, утворених прямими $\xi = x + a_k(t-\tau)$, $\xi = x - a_k(t-\tau)$ та $\xi = 0$; $k=1, m$:

$$\max_{(x,t) \in D_\Delta} |\psi| \leq \frac{\frac{1}{2} \sum_{k=1}^m \frac{|\alpha_{2m-1,k}|}{a_k(2m)!} (2+k)}{1 - \frac{1}{2} \sum_{k=1}^m \frac{|\alpha_{2m-1,k}|}{a_k(2m)!} A_{km}} \max_{(x,t) \in D_\Delta} |\tilde{u} - u_0|, \quad /9/$$

де

$$\frac{1}{2} \sum_{k=1}^m \frac{|\alpha_{2m-1,k}|}{a_k(2m)!} A_{km} < 1, \quad /10/$$

$$A_{km} = \max_{(x,t) \in D_\Delta} \{(x+a_k t)^{2m} - (x-a_k t)^{2m}\},$$

$$K \stackrel{df}{=} \max_{x \in (-\infty, +\infty), t \in [0, T]} |K(x, t)|.$$

Лінеаризація /3/-/4/ може бути ефективно спрощена, якщо замість $K(x, t)$ у /3/ взяти $K_0 = K(x_0, 0)$. Тоді у нерівності /9/ замість K , u_0 треба взяти $|K_0|$, $u_0(x_0)$ відповідно. Точку x_0 вибираємо з умови $\Phi(x_0) \neq 0$.

Дана стаття є узагальненням праць /2, 3/.

1. Курант Р. Уравнения с частными производными. М.: Мир. 1964. С.832. 2. Мартиненко М.Д. Басюні Х. Лінеаризація для нелінійної задачі Коші першого порядку // Вісн. Львів. ун-ту. Сер. мех.-мат. 1991. Вип.35. С.69-72.
 3. Мартиненко М.Д., Басюні Х. Лінеаризація для однієї задачі Дарбу другого порядку // Вісн. Львів. ун-ту. Сер. мех.-мат. Вип. 37. 1992. С.84-85. 4. Boggio T. Sull'integrazione di alcuna equationi lineari alle derivate parziale // Ann. MAT. Ser. III. 1903. Vol. 8. P.161.

Стаття надійшла до редколегії 25.08.93

І.С.Муха, Я.Г.Савула

**НЕЛІНІНА МОДЕЛЬ ПРУЖНОГО ДЕФОРМУВАННЯ
ТОНКОСТІННИХ ГНУЧКИХ ТІЛ**

Тонкостінні тіла є поширеними елементами конструкцій, що використовуються в авіабудуванні, енергетичному машинобудуванні і будівництві. У сучасній механіці існує багато різних теорій пружного деформування тонкостінних тіл, загальний підхід до побудови яких розглянутий у праці [7]. Усіх їх об'єднує той факт, що в рамках цих теорій внаслідок нелінійних залежностей Коші між деформаціями і переміщеннями виникають складні системи диференціальних рівнянь. Застосування таких теорій для побудови чисельних схем веде до громіздких обчислень, обсяг яких часто перевищує можливості сучасних комп'ютерів.

У даній роботі запропонований дуже простий і наочний варіант нелінійної теорії оболонок типу Тимошенка. Він різниеться від відомих аналогів тим, що під час його побудови ніде не нехтувались члени порядку $K_1 h$ порівняно з одницею. Крім цього, слід відзначити, що шляхом граничного переходу із запропонованих рівнянь можна отримати рівняння нелінійної класичної теорії [6], застосовуючи більш жорсткі гіпотези деформування типу Кірхгофа-Лява, а також лінійні рівняння уточненої теорії типу Тимошенка [10] у разі відмови від нелінійних членів у спiввiдношеннях Коші.

1. Тривимірна теорія деформування. Нехай недеформоване пружне тіло віднесено до криволінійної системи координат $\alpha_1, \alpha_2, \alpha_3$ і задане в ній за допомогою радіус-вектора

$$\overset{\circ}{R} = \overset{\circ}{R}(\alpha_1, \alpha_2, \alpha_3) \in \overset{\circ}{V}, (\alpha_1, \alpha_2, \alpha_3) \in \omega_3.$$

Припустимо, що тіло є тонкостінним, тобто характерний розмір тіла вздовж напряму α_3 істотно менший від двох інших. Надалі вважатимемо, що коваріантна база $\overset{\circ}{R}_1, \overset{\circ}{R}_2, \overset{\circ}{R}_3$ недеформованої конфiгурацiї є триортогональною. Усi спiвviдношення записуватимемо для фiзичних компонентiв векторiв i тензорiв, тому круглi дужки бiля iндексiв вiдсутнi.

©Муха І.С., Савула Я.Г., 1995

Унаслідок піружної деформації тіло переходить в актуальну - конфігурацію і у фіксований момент часу t задається в ній радіус-вектором

$$\bar{R}^t = \bar{R}^t(\alpha_1, \alpha_2, \alpha_3) \in V.$$

Локальний рух матеріальної частинки визначає тензор градієнта руху F , компоненти якого в недеформованій базі мають вигляд.

$$F = \delta_{ij} + \frac{1}{H_i H_j} \dot{\nabla}_j (H_i u_i), \quad /I.1/$$

де u_i - компоненти вектора переміщень точок тіла під час деформації; $\dot{\nabla}_j$ - коваріантне похідне в недеформованій базі $\dot{\tilde{e}}_i$; $H_i = \sqrt{A_i \cdot \dot{\tilde{e}}_i}$.

Введемо у розгляд тензор лінійних деформацій і тензор лінійних поворотів:

$$E_{ij} = \frac{1}{2} (F_{ij} + F_{ji}) - \delta_{ij}; \quad /I.2/$$

$$\Omega_{ij} = \frac{1}{2} (F_{ij} - F_{ji}). \quad /I.3/$$

Із /I.2/ і /I.3/ випливає, що

$$F_{ij} = \delta_{ij} + E_{ij} + \Omega_{ij}. \quad /I.4/$$

Використовуючи подання градієнта руху у вигляді /I.4/, отримуємо вираз для компонент тензора деформацій Гріза:

$$\epsilon_{ij} = E_{ij} + \frac{1}{2} (E_{ki} E_{kj} + E_{ki} \Omega_{kj} + \Omega_{ki} E_{kj} + \Omega_{ki} \Omega_{kj}). \quad /I.5/$$

Припускаємо, що компоненти тензора Ω є величинами порядку $\sqrt{\delta}$, а компоненти тензора E величинами порядку δ , що справедливе для тонкостінних гнучких тіл [9, II, 12]. За таких припущень підкрайовими у виразі /I.5/ членами можна знехтувати як членами вищого порядку малими порівняно з членами порядку δ , і для компонент тензора ϵ отримуємо вираз

$$\epsilon_{ij} = E_{ij} + \frac{1}{2} \Omega_{ki} \Omega_{kj}. \quad /I.6/$$

У рамках прийнятих припущень вираз для кратності зміни об'єму має вигляд

$$J = |F_{ij}| = 1 + E_{11} + E_{22} + E_{33} + \Omega_{12}^2 + \Omega_{13}^2 + \Omega_{23}^2.$$

У випадку, коли тіло є трансверсально-ізотропним, а процес навантаження адіабатичним, співвідношення інтенсивності можна записати для стандартного матеріалу другого порядку у вигляді

$$\Sigma_{ij} = A_{ijkl} (\epsilon_{kl} - \epsilon_{kl}^{th}), \quad /I.7/$$

де $\varepsilon_{kl}^{th} = \alpha \delta_{kl}$ - компоненти тензора температурних деформацій; \sum_{ij} - фізичні компоненти другого /симетричного/ тензора Піолі-Кірхгофа в недеформованій базі. Вони відображають /з точністю до множника J / значення напружень на координатних площинках у деформованому тілі. Подання закону пружності у вигляді /I.7/ виправдане у випадку малих деформацій тонкостінних тіл при не малих кутах повороту /II, 12/.

Використовуючи вираз для густини роботи напружень у вигляді згортки енергетичної пари /12/ можна записати

$$\delta \delta W = \sum_{ij} \delta \varepsilon_{ij} = \sum_{ij}^* \delta F_{ij}.$$

Тут \sum_{ij}^* - фізичні компоненти тензора номінальних напружень в недеформованій базі. Зокрема з другої тотожності можна визначити вирази для компонент тензора \sum^* з урахуванням гіпотез /I.6/. Детальні викладки цього питання наведені у праці /8/.

Процес деформування тіла описемо варіаційним рівнянням Гамільтона /3/:

$$\delta \int [K(U) - L(U)] dt = 0,$$

де $K(U) = \frac{1}{2} \int \delta \frac{\partial U_i}{\partial t} \frac{\partial U_i}{\partial t} dV$ - кінетична енергія, а

$$L(U) = \frac{1}{2} \int (\varepsilon_{ij} - \varepsilon_{ij}^{th}) A_{ijkl} (\varepsilon_{kl} - \varepsilon_{kl}^{th}) dy - \int Q_i U_i dV - \int_{S_u} \hat{\Sigma}_{ni}^* U_i dS$$

- потенціальна енергія тіла в момент часу t

Для забезпечення єдиноті розв'язку потрібно задати початкові умови і на частині граничної поверхні S_u крайові умови на переміщення.

2. Теорія оболонок типу Тимошенка. Припустимо, тепер, що тонкостінне тіло має форму оболонки, тобто

$$\tilde{V} = \left\{ \tilde{R}(\alpha_1, \alpha_2, \alpha_3); (\alpha_1, \alpha_2) \in \omega_2, h/2 \leq \alpha_3 \leq h/2 \right\}.$$

При цьому вважатимемо, що значення h на порядок менше від характерних розмірів образу тіла в декартовому просторі x_1, x_2, x_3 .

Розглянемо поверхню $\tilde{S}_2 = \left\{ \tilde{z}(\alpha_1, \alpha_2); (\alpha_1, \alpha_2) \in \omega_2 \right\}$, яка є серединною поверхнею недеформованого тонкостінного тіла. Нехай у цьому тілі вибрана така система криволінійних координат, що радіус-вектор точок тіла записується у вигляді

$$\tilde{R}(\alpha_1, \alpha_2, \alpha_3) = \tilde{z}(\alpha_1, \alpha_2) + \alpha_3 \tilde{n}(\alpha_1, \alpha_2), \quad /2.1/$$

де \tilde{n} - одиничний вектор нормалі до \tilde{S}_2 . Нехай \tilde{z}_1, \tilde{z}_2 - коваріантна база \tilde{S}_2 . Для коефіцієнтів справедливі співвідношення

$$H_i(\alpha_1 \alpha_2 \alpha_3) = A_i(\alpha_1 \alpha_2)(1 + \alpha_3 K_i(\alpha_1 \alpha_2)), \quad i=1,2,$$

$$H_3(\alpha_1 \alpha_2 \alpha_3) = 1;$$

/2.2/

$$\text{де } A_i = \sqrt{\frac{\alpha}{z_i} \cdot \frac{\alpha}{z_i}}, \quad K_i = \frac{1}{A_i^2} \left(\frac{\partial}{\partial z_i} \right).$$

Для побудови теорії деформування оболонок приймемо такі гіпотези. По-перше, вважатимемо, що справедливий узагальнений плоский напруженій стан, тобто $\sum_{33} = 0$. При цьому співвідношення пружності запишемо у вигляді

$$\Sigma_{ij} = A_{ijkl}^0 (\varepsilon_{kl} - \varepsilon_{kl}^{th}), \quad /2.3/$$

де тензор A_{ijkl}^0 має такі ненульові компоненти:

$$A_{rrrr}^0 = \lambda^* + 2\mu, \quad A_{rzss}^0 = \lambda^*, \quad A_{zsrs}^0 = A_{zszz}^0 = \mu,$$

$$A_{z3z3}^0 = A_{z33z}^0 = A_{3zz3}^0 = A_{3z3z}^0 = \mu', \quad z,s = 1,2; \quad z \neq s.$$

$$\lambda^* = \frac{2\lambda\mu}{2\mu + \lambda}, \quad \lambda, \mu, \mu' - \text{пружні константи транверсально-ізотропного тіла.}$$

По-друге, вважатимемо, що компонента

$$\Omega_{12} = 0. \quad /2.4/$$

Можливість такого припущення обґрунтована у працях [9, 13].

По-третє, приймемо гіпотезу Тимошенка для деформування нормалі, згідно з якими

$$U_s(\alpha_1 \alpha_2 \alpha_3) = u_s(\alpha_1 \alpha_2) + \alpha_3 \gamma_s(\alpha_1 \alpha_2); \quad s=1,2;$$

$$U_3(\alpha_1 \alpha_2 \alpha_3) = u_3(\alpha_1 \alpha_2). \quad /2.5/$$

Обтиском оболонки будемо нехтувати, що не суперечить основним припущенням теорії середнього згину оболонок [5]. За припущенням /2.5/ компоненти тензора градієнту руху /I.I/ можна подати у вигляді

$$F_{ij} = \frac{f_{ij} + \alpha_3 \varphi_{ij}}{1 + \alpha_3 K_j}, \quad i,j = 1,3. \quad /2.6/$$

Тут K_1, K_2 - головні кривини поверхні \mathcal{S} , $K_3 = 1$;

$$f_{rs} = \delta_{rs} + \frac{1}{A_r A_s} \nabla_s (A_r u_r) + K_r \delta_{rs} u_3,$$

$$\varphi_{rs} = \delta_{rs} K_2 + \frac{1}{A_r A_s} \nabla_s (A_r \gamma_r),$$

$$f_{r3} = \gamma_r, \quad f_{33} = \frac{1}{A_s} \partial_s u_3 - K_s u_s,$$

$$\varphi_{r3} = 0, \quad \varphi_{33} = -K_s \gamma_s.$$

∇_j - символ коваріантної похідної відносно метрики недеформованої поверхні \mathcal{S} ; $r,s = 1,2$.

Аналогічно подаємо компоненти тензорів лінійних деформацій та лінійних поворотів:

$$E_{zz} = \frac{e_{zz} + \alpha_3 K_{zz}}{1 + \alpha_3 K_z},$$

$$E_{12} = \frac{e_{12} + \alpha_3 K_{12}}{(1 + \alpha_3 K_1)(1 + \alpha_3 K_2)},$$

$$E_{23} = \frac{e_{23}}{1 + \alpha_3 K_z}.$$

12.7/

Тут

$$e_{zs} = \frac{1}{2}(f_{zs} + f_{sz}) - \delta_{zs};$$

$$K_{zz} = \varphi_{zz} - K_z, \quad K_{12} = \frac{1}{2}(\varphi_{12} + K_1 f_{12} + \varphi_2 + K_2 f_{21});$$

$$\mathcal{R}_{zz} = \frac{\omega_{zz} + \alpha_3 T_{zz}}{1 + \alpha_3 K_z},$$

12.8/

де

$$\omega_{zz} = \frac{1}{2}(f_{zz} - f_{zz});$$

$$T_{zz} = K_z \gamma_z = \varphi_{zz}.$$

Відзначимо, що у виразі для E_{zz} відсутня складова по α_3 внаслідок взаємного знищення членів вигляду $K_z \gamma_z$. У виразі для \mathcal{R}_{zz} ці члени додаються, і внаслідок цього компоненти тензора \mathcal{R} змінюються за лінійним законом у напрямі α_3 .

Виходячи з подання компонент тензора \mathcal{E} у вигляді 1.6/, можемо записати, що

$$\mathcal{E}_{zz} = \frac{\mathcal{E}_{zz} + \alpha_3 \mathcal{K}_{zz}}{1 + \alpha_3 K_z},$$

$$\mathcal{E}_{12} = \frac{\mathcal{E}_{12} + \alpha_3 \mathcal{K}_{12}}{(1 + \alpha_3 K_1)(1 + \alpha_3 K_2)},$$

$$\mathcal{E}_{23} = \frac{\mathcal{E}_{23}}{1 + \alpha_3 K_z},$$

12.9/

де

$$\mathcal{E}_{zs} = e_{zs} + \frac{1}{2}\omega_{zz}\omega_{ss};$$

$$\mathcal{K}_{zz} = K_{zz} - \frac{1}{2}(\omega_{zz}T_{ss} + \omega_{ss}T_{zz}) - \frac{1}{2}\omega_{zz}\omega_{ss}\delta_{zs}K_z;$$

$$\mathcal{E}_{zz} = e_{zz}.$$

Тут доцільно відзначити, що лінеаризовані вирази для \mathcal{E}_{zz} не відповідають дійсності, тому що вказані деформації не є постійними по товщині оболонки. Тому під час побудови теорії оболонок приймається її четверту гіпотезу, яка полягає у тому, що розподіл деформацій попречного зсуву по товщині оболонки зображається у вигляді 4/

$$\mathcal{E}_{zz} = \frac{\mathcal{E}_{zz} \chi(\alpha_3)}{1 + \alpha_3 K_z},$$

$$\text{де } \chi(\alpha_3) = 5[1/4 - (\alpha_3/h)^2].$$

Вираз для роботи напружень тепер можна подати у вигляді.

$$\int \delta \delta W = \int \int_{\Omega}^{h/2} \sum_{ij} \delta \varepsilon_{ij} (1 + K_1 \alpha_3) (1 + K_2 \alpha_3) d\alpha_3 d\Omega = \\ = \int_{\Omega} \sigma_{ij} \delta \varepsilon_{ij} d\Omega + \int_{\Omega} m_{ij} \delta \chi_{ij} d\Omega, \quad /2.I0/$$

де

$$\sigma_{zz} = \int_{-h/2}^{h/2} \sum_{zz} (1 + \alpha_3 K_s) d\alpha_3; z, s = 1, 2; z \neq s; \quad /2.II/$$

$$\sigma_{12} = \int_{-h/2}^{h/2} \sum_{12} d\alpha_3;$$

$$\sigma_{z3} = \sigma_{3z} = \int_{-h/2}^{h/2} \sum_{z3} (1 + \alpha_3 K_s) d\alpha_3;$$

$$m_{zz} = \int_{-h/2}^{h/2} \sum_{zz} d_3 (1 + \alpha_3 K_s) d\alpha_3, m_{12} = \int_{-h/2}^{h/2} \sum_{12} \alpha_3 d\alpha_3, m_{z3} = 0. /2.I2/$$

Ідея визначення σ_{12} та m_{12} у вигляді /2.II/, /2.I2/ належить Новожилову В.В. /9/ і дає змогу ввести в теорії оболонок симетричні тензори зусиль та моментів, аналогічні симетричному тензору Піоли-Кірхгофа у тривимірній теорії.

Використовуючи далі вирази для густини роботи напружень у вигляді згортки тензорів, і збираючи члени при δf_{ij} і $\delta \varphi_{ij}$ отримуємо /8/

$$\int_{\Omega} \sigma_{ij} \delta \varepsilon_{ij} d\Omega + \int_{\Omega} m_{ij} \delta \chi_{ij} d\Omega - \int_{\Omega} \sigma_{ij}^* \delta f_{ij} d\Omega + \int_{\Omega} m_{ij}^* \delta \varphi_{ij} d\Omega. \quad /2.I3/$$

$$\text{Тут } \sigma_{zs}^* = \sigma_{zs}, z, s = 1, 2;$$

$$\sigma_{z3}^* = \sigma_{z3} - \frac{1}{2} (\sigma_{zz} \omega_{z3} + \sigma_{12} \omega_{s3}) - \frac{1}{2} (m_{zz} T_{z3} + m_{12} T_{s3}) + \frac{1}{2} K_2 \omega_{z3} m_{zz};$$

$$\sigma_{3z}^* = \sigma_{3z} + \frac{1}{2} (\sigma_{zz} \omega_{z3} + \sigma_{12} \omega_{s3}) + \frac{1}{2} (m_{zz} T_{z3} + m_{12} T_{s3}) + \frac{1}{2} K_2 \omega_{z3} m_{zz} + K_2 \omega_{z3} m_{12};$$

$$m_{zs}^* = m_{zs}, m_{z3}^* = m_{z3} = 0. \quad /2.I4/$$

Цікаво відзначити, що вирази /2.I4/ можна отримати також шляхом безпосереднього усереднення напружень \sum_{ij}^* за формулами, аналогічними /2.II/ і /2.I2/.

Закон пружності в теорії оболонок визначимо із закону пружності тривимірної теорії. Для цього розглянемо вираз для густини роботи напружень:

$$\delta \Phi = \delta \delta W = [(\varepsilon_{ij} - \varepsilon_{ij}^{th}) \Lambda_{ijkl} (\varepsilon_{kl} - \varepsilon_{kl}^{th})] \cdot \delta t.$$

Нехай

$$\int \delta \Phi dV = \int \int_{\Omega}^{h/2} \delta \Phi (1 + \alpha_3 K_1) (1 + \alpha_3 K_2) d\alpha_3 d\Omega = \int \delta \Phi d\Omega.$$

Введемо також позначення

$$T^{(0)}(\alpha_1, \alpha_2) = \frac{1}{h} \int_{-h/2}^{h/2} T(\alpha_1, \alpha_2, \alpha_3) d\alpha_3; \quad T^{(1)}(\alpha_1, \alpha_2) = \frac{12}{h^3} \int_{-h/2}^{h/2} T(\alpha_1, \alpha_2, \alpha_3) d_3 d\alpha_3.$$

Враховуючи ці позначення і наступуючи членами порядку $O(h^2)$ порівняно з одиницею, дістаємо вираз для $\delta\Phi$.

Закон пружності в теорії оболонок отримуємо зі співвідношень

$$\sigma_{ij} = \frac{\partial \Phi}{\partial \varepsilon_{ij}}; \quad m_{ij} = \frac{\partial \Phi}{\partial \dot{x}_{ij}}.$$

У тензорному вигляді його можна записати

$$\begin{aligned} \sigma_{ij} &= a_{ijkl}^{(1)} \varepsilon_{kl} + a_{ijkl}^{(2)} x_{kl} + \sigma_{ij}^{th}, \\ m_{ij} &= a_{ijkl}^{(21)} \varepsilon_{kl} + a_{ijkl}^{(22)} x_{kl} + m_{ij}^{th}, \end{aligned} \quad /2.15/$$

Тут σ_{ij}^{th} , m_{ij}^{th} - тензори температурних зусиль і моментів з ненульовими компонентами:

$$\begin{aligned} \sigma_{zz}^{th} &= \frac{\alpha^{th} Eh}{1-\nu} \Delta T^{(0)}, \\ m_{zz}^{th} &= \frac{\alpha^{th} Eh^3}{12(1-\nu)} \Delta T^{(1)}, \quad z=1,2, \end{aligned}$$

де Δ - символ приросту температурних моментів $T^{(0)}$ і $T^{(1)}$ за час деформації; $a_{ijkl}^{(pq)}$ - тензори пружних констант з ненульовими компонентами:

$$\begin{aligned} a_{zrrr}^{(1)} &= \beta_h, \quad a_{zrss}^{(1)} = \nu \beta_h, \quad a_{zsrs}^{(1)} = a_{zszz}^{(1)} = \frac{\beta_h}{2}(1-\nu), \\ a_{zrzr}^{(1)} &= a_{z323}^{(1)} = a_{3223}^{(1)} = a_{3232}^{(1)} = g_h, \\ a_{zrrr}^{(22)} &= \delta_h, \quad a_{zrss}^{(22)} = \nu \delta_h, \quad a_{zsrs}^{(22)} = a_{zszz}^{(22)} = \frac{\delta_h}{2}(1-\nu), \\ \beta_h &= (\lambda^* + 2\mu)h = \frac{Eh}{1-\nu^2}, \quad \delta_h = (\lambda^* + 2\mu) \frac{h^3}{12} = \frac{Eh^3}{12(1-\nu^2)}, \\ g_h &= \mu \int_{-h/2}^{h/2} x^2(\alpha_3) d\alpha_3 = \frac{5}{8} G_h; \quad r,s = 1,2; \quad z \neq s. \end{aligned}$$

Процес деформування оболонок описується варіаційним рівнянням Гамільтона:

$$\delta \int_t [K(u, y) - L(u, y)] dt = 0, \quad /2.16/$$

де

$$K(u, y) = \frac{1}{2} \left\{ \int \int \int \rho h \frac{\partial u_i}{\partial t} \frac{\partial u_i}{\partial t} d\Omega + \int \int \int \rho \frac{h^3}{12} \frac{\partial y_r}{\partial t} \frac{\partial y_r}{\partial t} d\Omega \right\};$$

$$\begin{aligned} L(u, y) &= \frac{1}{2} \left\{ \int \int \int \varepsilon_{ij} a_{ijkl}^{(1)} \varepsilon_{kl} d\Omega + \int \int \int x_{rs} a_{rspt}^{(22)} x_{pt} d\Omega - \right. \\ &\quad \left. - \int \int \int \varepsilon_{ij} \sigma_{ij}^{th} d\Omega - \int \int \int x_{rs} m_{rs}^{th} d\Omega - \right. \end{aligned}$$

$$\begin{aligned} &- \int \int \int q_i^{(1)} u_i d\Omega - \int \int \int q_i^{(2)} y_r d\Omega - \int \int \int \hat{\sigma}_{ni}^* u_i d\Gamma - \int \int \int \hat{m}_{nr}^* y_r d\Gamma; \end{aligned}$$

$$Q_i^{(1)} = \left(1+K_1 \frac{h}{2}\right) \left(1+K_2 \frac{h}{2}\right) \hat{\Sigma}_{3i}^* \left(\frac{h}{2}\right) - \left(1-K_1 \frac{h}{2}\right) \left(1-K_2 \frac{h}{2}\right) \hat{\Sigma}_{3i}^* \left(-\frac{h}{2}\right) + \int_{-h/2}^{h/2} Q_i (1+K_1 \alpha_3) (1+K_2 \alpha_3) d\alpha_3;$$

$$Q_i^{(2)} = \frac{h}{2} \left(1+K_1 \frac{h}{2}\right) \left(1+K_2 \frac{h}{2}\right) \hat{\Sigma}_{3i}^* \left(\frac{h}{2}\right) + \frac{h}{2} \left(1-K_1 \frac{h}{2}\right) \left(1-K_2 \frac{h}{2}\right) \hat{\Sigma}_{3i}^* \left(-\frac{h}{2}\right) + \int_{-h/2}^{h/2} Q_i \alpha_3 (1+K_1 \alpha_3) (1+K_2 \alpha_3) d\alpha_3.$$

$i, j, k, l = 1, 2, 3; r, s, p, t = 1, 2.$

Аналогічно, як і у тривимірному випадку, для забезпечення єдності розв'язку необхідно задати початкову умову, і на частині граничного контура Γ_U — крайові умови на переміщення.

За переміщеннями і кутами повороту, визначеними з варіаційної задачі /2.16/ можна знайти компоненти оболонкових тензорів ε_{ij} і α_{ij} , і далі за формулами /2.9/ — тривимірне поле тензора ε_{ij} . Компонента ε_{33} цього тензора визначається при узагальненному плоскому напруженому стані зі співвідношення

$$\Sigma_{33} = 0;$$

$$\varepsilon_{33} = -\frac{\lambda}{2\mu+\lambda} (\varepsilon_{11} + \varepsilon_{22}).$$

Із співвідношень /2.3/ одержуємо напруження в тонкостінному тілі.

Наприкінці зуміємося на досліджені інваріантності тензора деформацій до обертання тіла як твердого цілого. Нехай точки тіла здійснюють жорстке переміщення в просторі, яке задається формулами

$$\bar{u} = \bar{R} - \overset{\circ}{R} = \theta \overset{\circ}{R} - \overset{\circ}{R} = (\theta - I) \overset{\circ}{R} (\alpha_1 \alpha_2 \alpha_3),$$

де

$$\theta = \begin{bmatrix} \cos \chi & 0 & -\sin \chi \\ 0 & 1 & 0 \\ \sin \chi & 0 & \cos \chi \end{bmatrix},$$

Компоненти тривимірного тензора деформацій Гріна /1.5/ за таких змінень дорівнюють нулю. При використанні тензора деформацій у вигляді /1.6/ вони становлять

$$\varepsilon_{ij} = \overset{\circ}{\delta}_j \left[\begin{array}{ccc} -\frac{1}{2}(1-\cos \chi)^2 & 0 & 0 \\ 0 & 0 & 0 \\ 0 & 0 & -\frac{1}{2}(1-\cos \chi)^2 \end{array} \right] \overset{\circ}{\delta}_i, \quad /2.17/$$

Веручи до уваги той факт, що члени $1-\cos \chi$ мають порядок $O(\varepsilon_{ij})$, отримуємо, що деформації $\varepsilon_{ij} \sim O(\varepsilon_{ij}^2) \sim O(\delta)$, тобто ε_{ij} дорівнюють нулю з точністю прийнятих у виразі /1.6/ гіпотез.

Подамо тепер вектор переміщень у вигляді

$$\bar{U} = \bar{u} + \alpha_3 \bar{y},$$

$$\text{де } \bar{u} = (\theta - I) \frac{h}{2} (\alpha_1 \alpha_2), \quad \bar{y} = (\theta - I) \frac{h}{2} (\alpha_1 \alpha_2).$$

Якщо прийняти гіпотези типу Тимошенка без урахування обсягу, то вектор \bar{y} можна подати у вигляді

$$\bar{y}_* = [\theta - (1 + \gamma_n) \dot{\theta}] \bar{n}(\alpha_1, \alpha_2),$$

де $\gamma_n = \bar{n}(\theta^T - \dot{\theta}) \bar{n} = (1 - \cos \chi)(n_1^2 + n_3^2) \sim O(E_{ij}).$

Деформації, отримані по таких переміщеннях для індексів $i, j = 1, 2$, збігаються з виразами /2.17/ з точністю до членів порядку $K_i h$ порівняно з одиницею. Для деформацій поперечного зсуву маємо вирази

$$\varepsilon_{i3} = \frac{\theta}{h} \begin{bmatrix} -\frac{1}{2}[(1-\cos\chi)^2 + \gamma_n] & 0 & 0 \\ 0 & 0 & 0 \\ 0 & 0 & -\frac{1}{2}[(1-\cos\chi)^2 + \gamma_n] \end{bmatrix} \begin{bmatrix} \theta \\ \dot{\theta} \\ \ddot{\theta} \end{bmatrix}.$$

Таким чином, члени ε_{i3} не дорівнюють нулю з точністю прийнятих у виразі /I.6/ гіпотез, і цим самим порушують інваріантність тензора деформацій розглянутої теорії до обертання тіла як твердого цілого. Тому запропонований варіант теорії оболонок доцільно використовувати для дослідження тонкостінних тіл під дією навантажень, які не ведуть до виникнення великих деформацій поперечного зсуву. Однак таке звуження області застосованості запропонованої теорії є неістотним оскільки спільнота за порядком з гіпотезами, прийнятими в /I.6/.

Чисельне розв'язання задач зі запропонованою теорією і зіставлення результатів із результатами, отриманими в рамках інших теорій містить праця /2/.

- І. Баженов В.Г. Численное исследование нестационарных процессов деформации упругопластических оболочек // Пробл. прочности. 1984. № II. С.51-54. 2. Вагін П.П., Муха І.С., Савула Я.Г. Розв'язування геометрично нелінійних задач статики оболонок типу Тимошенка методом скінчених елементів // Вісн. Львів. ун-ту. Сер. мех.-мат. 1989. Вип. ЗІ. С.67-74.
 3. Василь К. Вариационные методы в теории упругости и пластичности. М.: Мир. 1987. 4. Вольмир А.С. Нелинейная динамика пластинок и оболочек. М.: Наука, 1972. 5. Галимов К.З. Теория оболочек с учетом поперечного сдвига. Казань: Изд-во Казан. ун-та, 1977. 6. Григоренко Я.М., Мукоець А.П. Решение нелинейных задач теории оболочек на ЭВМ. К.: Вища шк. 1983. 7. Каюк Я.О. Геометрически нелинейные задачи теории пластин и оболочек. К.: Наук. думка, 1987.
 8. Муха І.С., Савула Я.Г. Постановки задач упругого равновесия тонкостенных гибких тел с учетом геометрической нелинейности. Львов: 1988. 48 с. Рукопись деп. в УкрНИИТИ 19.12.88 г., № 2989-Ук88. 9. Новожилов В.В. Основы нелинейной теории упругости. М.: Гостехиздат, 1948. 10. Пелеш Б.Л. Обобщенная теория оболочек. Львов: Вища шк. 1978.

- II. Победря Б.Е. О взаимосвязи геометрической и физической нелинейности в теории упругости и о смысле вектора перемещений // Изв. АН АрмССР. Механика. 1987. № 4. С.15-26.
 12. Черных К.Ф., Литвиненко в З.Н. Теория больших упругих деформаций. Л.: Изд-во Ленинград. ун-та, 1988.
 13. Шаповалов Л.А. Об одном простейшем варианте уравнений геометрически нелинейной теории тонких оболочек // Инж. журн. Механика твердого тела. 1968. № 1.

Стаття надійшла до редколегії 25.02.94

УДК 517:547.534

С.М.Левицька.

**ВИОКРЕМЛЕННЯ ЕЛІПТИЧНИХ ІНТЕГРАЛІВ
В ОСНОВИМЕТРИЧНІЙ ЗАДАЧІ НЕСТАЦІОНАРНОЇ
ТЕПЛОПРОВІДНОСТІ**

Граничні задачі математичної фізики на незамкнутих поверхнях методом потенціалу зводяться до розв'язування інтегральних рівнянь Фредгольма першого роду. Застосування методики виокремлення особливостей дає змогу регуляризувати отримане інтегральне рівняння. Якщо поверхня має осьову симетрію, просторову задачу можна звести до розв'язування одномірного інтегрального рівняння. Вводячи циліндричну систему координат, отримуємо інтегали, залежні від кута. Їх можна обчислити аналітично.

Мета даної роботи - обчислення інтегралів, які виникають під час розв'язування третьої граничної задачі нестационарної тепlopровідності на незамкнутих поверхнях з осьовою симетрією методом інтегральних рівнянь. При цьому вдалося явно виокремити еліптичні інтеграли першого і другого роду.

Зупинимось на обчисленні інтегралів вигляду

$$P_1 = \int_0^{2\pi} \frac{e^{iz\varphi} e(\frac{z}{a})}{z} d\varphi; \quad P_2 = \int_0^{2\pi} e^{-iz^2/a^2} d\varphi;$$

$$P_3 = \int_0^{2\pi} \frac{\cos \varphi e^{iz\varphi} e(\frac{z}{a})}{z} d\varphi; \quad P_4 = \int_0^{2\pi} \cos \varphi e^{-iz^2/a^2} d\varphi;$$

$$P_5 = \int_0^{2\pi} \frac{\partial v^2}{\partial n} \left(\frac{\partial z^2}{z^2} + \frac{e^{iz\varphi} e(\frac{z}{a})}{z^3} \right) d\varphi,$$

де $eifc(\frac{z}{a})$ - інтеграл похибок;

© Левицька С.М., 1995

$r = \sqrt{\rho^2 + \rho_0^2 - 2\rho\rho_0 \cos\varphi + (z-z_0)^2}$ – віддаль між двома точками (ρ, z, φ) і $(\rho_0, z_0, 0)$; $\frac{\partial r^2}{\partial n} = -\frac{2}{r}(\rho^2 z' - (z-z_0)\rho\rho' - \rho\rho_0 z' \cos\varphi)$ – нормальна похідна від відстані; $J = \rho \sqrt{\rho'^2 + z'^2}$ – якобіан переходу; $a = \text{const}$.

Для обчислення цих інтегралів підінтегральні функції розкладаються в ряди:

$$\operatorname{erfc}(x) = 1 - \frac{2}{\sqrt{\pi}} \sum_{\ell=1}^{\infty} \frac{(-1)^\ell x^{2\ell+1}}{(2\ell+1)\ell!}; \quad /1/$$

$$e^x = \sum_{\ell=0}^{\infty} \frac{x^\ell}{\ell!}. \quad /2/$$

Декладніше зупинимося на обчисленні інтеграла P_1 :

$$P_1 = \int_0^{2\pi} \frac{d\varphi}{z} - \frac{2}{\sqrt{\pi}} \sum_{\ell=1}^{\infty} \frac{(-1)^\ell}{(2\ell+1)\ell! a^{2\ell+1}} \int_0^{2\pi} z^{2\ell} d\varphi. \quad /3/$$

Перший інтеграл у формулі /3/ за відомою методикою зводиться до еліптичного інтеграла першого роду:

$$\begin{aligned} \int_0^{2\pi} \frac{d\varphi}{z} &= \int_0^{2\pi} \frac{d\varphi}{[\rho^2 + \rho_0^2 - 2\rho\rho_0 \cos\varphi + (z-z_0)]^{1/2}} = 2 \int_{-\frac{\pi}{2}}^{\frac{\pi}{2}} \frac{d\theta}{[\rho^2 + \rho_0^2 - 2\rho\rho_0 \cos 2\theta + (z-z_0)^2]^{1/2}} \\ &= 4 \int_0^{\frac{\pi}{2}} \frac{d\theta}{[\rho^2 + \rho_0^2 + 2\rho\rho_0 - 4\rho\rho_0 \sin^2\theta + (z-z_0)^2]^{1/2}} = \frac{4}{\sqrt{(\rho+\rho_0)^2 + (z-z_0)^2}} \int_0^{\frac{\pi}{2}} \frac{d\theta}{\sqrt{1-p^2 \sin^2\theta}} = \frac{4}{\sqrt{3}} K(p), \end{aligned}$$

де $\theta = \frac{\varphi - \pi}{2}$; $\beta = (\rho + \rho_0)^2 + (z - z_0)^2$; $p = \frac{4\rho\rho_0}{\beta}$;

$K(p)$ – повний еліптичний інтеграл першого роду.

Виконуючи аналогічні перетворення в другому інтегралі /3/, отримуємо

$$\int_0^{2\pi} z^{2\ell} d\varphi = 4\beta^\ell \int_0^{\pi/2} [1-p^2 \sin^2\theta]^\ell d\theta. \quad /4/$$

Застосуємо біном Ньютона.

$$\int_0^{2\pi} z^{2\ell} d\varphi = 4\beta^\ell \sum_{v=0}^{\ell} (-1)^v C_v^\ell p^{2v} \int_0^{\pi/2} \sin^{2v} \theta d\theta = 2\pi \beta^\ell \sum_{v=0}^{\ell} (-1)^v C_v^\ell p^{\frac{2\ell+2v+1}{2}}. \quad /5/$$

Остаточно інтеграл P_1 набере вигляду

$$P_1 = \frac{4}{\sqrt{3}} K(p) + f_1(a, p, \beta). \quad /6/$$

Ці ж перетворення застосуємо до обчислення інтеграла

$$P_3 = \int_0^{2\pi} \frac{\cos\varphi}{z} d\varphi - C_1 \int_0^{2\pi} \cos\varphi d\varphi + \frac{2}{\sqrt{\pi}} \sum_{\ell=1}^{\infty} \frac{(-1)^{\ell+1}}{(2\ell+1)\ell! a^{2\ell+1}} \int_0^{2\pi} \cos\varphi z^{2\ell} d\varphi. \quad /7/$$

Перший інтеграл в P_3 зводиться до повних еліптичних інтегралів першого роду $K(p)$ і другого роду $E(p)$:

$$\int_0^{2\pi} \frac{\cos \varphi d\varphi}{z} = -\frac{8}{\sqrt{3}} \left(\frac{1}{p^2} E(p) - \frac{1-p^2}{p^2} K(p) \right) + \frac{4}{\sqrt{3}} K(p).$$

Останній інтеграл в /7/ обчислюємо аналогічно, як у /5/.

$$\begin{aligned} \int_0^{2\pi} \cos \varphi z^{2\ell} d\varphi &= -4\beta^\ell \int_0^{\pi/2} (1-2\sin^2 \theta)(1-p^2 \sin^2 \theta)^\ell d\theta = \\ &= 8\beta^\ell \int_0^{\pi/2} \sin^2 \theta (1-p^2 \sin^2 \theta)^\ell d\theta - 4\beta^\ell \int_0^{\pi/2} (1-p^2 \sin^2 \theta)^\ell d\theta = \\ &= 8\beta^\ell \frac{\pi}{2} \sum_{v=0}^{\ell} (-1)^v C_v p^{2v} \frac{(2v+1)!!}{2^{v+1} (v+1)!} - 4\beta^\ell \frac{\pi}{2} \sum_{v=0}^{\ell} (-1)^v C_v p^{2v} \frac{(2v-1)!!}{2^v v!} = \\ &= 2\beta^\ell \pi \sum_{v=0}^{\ell} (-1)^v C_v p^{2v} \frac{(2v-1)!!}{2^v v!} \frac{v}{v+1}. \end{aligned}$$

Таким чином,

$$P_3 = -\frac{8}{\sqrt{3}} \left(\frac{1}{p^2} E(p) - \frac{1-p^2}{p^2} K(p) \right) + f_2(a, p, \beta).$$

Ці ж міркування застосовуємо для обчислення інших інтегралів:

$$\begin{aligned} P_2 &= -\frac{8\sqrt{\pi}}{a^3} \left[1 + \sum_{\ell=1}^{\infty} \frac{(-1)^\ell \beta^\ell}{\ell! a^{2\ell}} \sum_{v=0}^{\ell} (-1)^v C_v p^{2v} \frac{(2v-1)!!}{2^v v!} \right]; \\ P_4 &= -\frac{8\sqrt{\pi}}{a^3} \sum_{\ell=1}^{\infty} \frac{(-1)^\ell \beta^\ell}{\ell! a^{2\ell}} \sum_{v=0}^{\ell} (-1)^v C_v p^{2v} \frac{(2v-1)!!}{2^v v!} \frac{v}{v+1}. \end{aligned}$$

Складніші вирази отримуємо під час обчислення P_5 . Тут потрібно розглянути інтеграли:

$$\begin{aligned} \int_0^{2\pi} \frac{dp}{z^3} &= \frac{4}{3^{3/2}} \frac{E(p)}{1-p^2}; \\ \int_0^{2\pi} \frac{\cos \varphi dp}{z^3} &= -\frac{4}{3^{3/2}} \frac{E(p)}{1-p^2} + \frac{8}{3^{3/2}} \left[\frac{E(p)}{p(1-p^2)} - \frac{1}{p^2} K(p) \right]; \\ \int_0^{2\pi} z^{2(\ell-1)} dp &= \frac{\pi}{2} \sum_{v=0}^{\ell-1} (-1)^v C_v p^{2v} \frac{(2v-1)!!}{2^v v!}; \\ \int_0^{2\pi} \cos \varphi z^{2(\ell-1)} dp &= \frac{\pi}{2} \sum_{v=0}^{\ell-1} (-1)^v C_v p^{2v} \frac{(2v-1)!!}{2^v v!} \frac{v}{v+1}. \end{aligned}$$

Тому

$$P_5 = \frac{2}{J_3^{3/2}} [z'(\rho^2 - \rho_0^2 - (z-z_0)^2) - 2\rho\rho'(z-z_0)] \frac{E(p)}{1-p^2} + \frac{2z'}{J\sqrt{3}} K(p) + f_3(a, p, z).$$

Аналізуючи поведінку отриманих функцій при $(\rho, z) \rightarrow (\rho_0, z_0)$ і враховуючи розклад еліптичних інтегралів в ряди:

$$K(p) = U(\beta) + V(\beta) \ln \frac{1}{\beta};$$

$$E(p) = \bar{U}(\beta) + \bar{V}(\beta) \ln \frac{1}{\beta},$$

де $\beta = 1 - p^2$, можна зробити висновок про наявність логарифмічної особливості в ядрі інтегрального рівняння. Крім цього, в P_5 наявна особливість $\frac{E(p)}{1-p^2}$, яка послаблюється множником

$$z'(\rho^2 - \rho_0^2 - (z-z_0)^2) - 2\rho\rho'(z-z_0).$$

І. Бережанская З.С., Левицкая С.М.,
Свирида М.И. Численное решение нестационарной задачи теплопроводности № незамкнутых поверхностях методом интегральных
уравнений // Детская технология электрон. техники; теория и экспе-
римент: Межвуз. сб. М., 1988. С.55-62. 2. Брычко В.А.,
Маричев О.И., Рудников А.П. Таблицы численных
значений интегралов. М., 1986. 3. Левицкая С.М., Береж-
анская З.С. Задача Неймана для уравнения теплопроводнос-
ти в случае разомкнутых границ с осевой симметрией // Проблемы
средства машиностроения. К., 1990. С.51-57.

Стаття надійшла до редакції 03.02.94

УДК 517.947

Р.М.Пасічник, Р.С.Хапко

ПОСЛАННЯ МЕТОДІВ СІТКОК
ТА ІНТЕГРАЛЬНИХ РІВНЯНЬ ПРИ РОЗВ'ЯЗУВАННІ ЗАДАЧІ
ТИПУ ДІРІХЛЕ ДЛЯ ХВИЛЬОВОГО РІВНЯННЯ

Наближене розв'язування нестационарних задач математичної фізики на незамкнених поверхнях розв'язане із деякими труднощами, які викликані наявністю часу як незалежної змінної, необмеженістю області, де шукається розв'язок, та складністю граничної поверхні. Тому найбільш придатним для розв'язування таких задач виявився метод інтегральних рівнянь*.

У даній роботі розглядувана задача за допомогою сіткової апроксимації по часу зводиться до послідовності стаціонарних

©Пасічник Р.М., Хапко Р.С., 1995

* Хапко Р.С. Про три підходи чисельного розв'язування нестационарних задач на незамкнених поверхнях за допомогою методу інтегральних рівнянь // Доп. АН України. 1991. № 12. С.19-22.

задача, застосовуючи спеціально введені функції, цю послідовність редукують до послідовності інтегральних рівнянь першого порядку зі складною обробливостю в ядрі та правими частинами спеціального виду.

1. Розглянемо граничну задачу для хвильового рівняння:

$$\Delta u = u_{tt}, \quad x \in \mathbb{R}^3 \setminus S, \quad t \in [0, T], \quad /1/$$

$$u|_{t=0} = u'_t|_{t=0} = 0, \quad x \in \mathbb{R}^3, \quad /2/$$

$$u(x, t) = f(x, t), \quad x \in S, \quad t \in [0, T], \quad /3/$$

де $u = u(x, t)$ – шуканий розв'язок; S – кусково-Ляпуновська замкнена чи розімкнена гранична поверхня. Дискретизуємо задачу /1/-/3/ за допомогою різницевих співвідношень:

$$\Delta u_i - \kappa^2 u_i + 2\kappa^2 u_{i-1} - \kappa^2 u_{i-2} = 0, \quad /4/$$

$$u_0 = 0, \quad u_i = 0, \quad i = \overline{2, N}; \quad /5/$$

$$u_i(x) = f_i(x), \quad x \in S, \quad /6/$$

де $u_i = u_i(x) = u(x, t_i)$, $f_i(x) = f(x, t_i)$, $h_t = T/N$, $\kappa = 1/h_t$, $t_i = ih_t$. Таким чином, приходимо до послідовності стаціонарних задач, яку намагатимемося розв'язати за допомогою методу інтегральних рівнянь.

Покажемо, що розв'язок i -ї задачі з послідовності /4/-/6/ можна подати у вигляді

$$u_i(x) = \iint_S \left\{ q_i(y) H(\kappa R) + \sum_{j=3}^i q_{i+2-j}(y) \varepsilon_j(\kappa R) \right\} dS_y, \quad /7/$$

де $q_i(y)$, $\varepsilon_i(\kappa R)$ задовільняють такі рівняння

$$\iint_S q_i(y) H(\kappa R) dS_y = f_i(x) - \sum_{j=3}^i \iint_S q_{i+2-j}(y) \varepsilon_j(\kappa R) dS_y, \quad /8/$$

$$\Delta \varepsilon_i(\kappa R) - \kappa^2 \varepsilon_i(\kappa R) + 2\kappa^2 \varepsilon_{i-1}(\kappa R) - \kappa^2 \varepsilon_{i-2}(\kappa R) = \delta(R), \quad x \in S, \quad /9/$$

$R = R(x, y) = |x - y|$, $H(\kappa R) = \frac{e^{-\kappa R}}{R}$, $\delta(R)$ – дельта-функція; $q_i(y)$, $\varepsilon_j(\kappa R)$, $j = \overline{2, i-1}$ – функції, визначені на попередніх кроках, причому

$$\varepsilon_1(\kappa R) = \varepsilon_0(\kappa R) = 0, \quad \varepsilon_2(\kappa R) = H(\kappa R). \quad /10/$$

Підставляючи зображення /7/ в рівняння /4/, після нескладного перегрупування отримуємо:

$$\iint_S q_k(y) [\Delta H(\kappa R) - \kappa^2 H(\kappa R)] dS_y + \iint_S q_{k-1}(y) [\Delta \varepsilon_3(\kappa R) -$$

$$-\lambda^2 \mathcal{E}_3(\lambda R) + 2\lambda^2 H(\lambda R)] dS_y + \dots + \iint_S q_2(y) [\Delta \mathcal{E}_k(\lambda R) - \\ - \lambda^2 \mathcal{E}_k(\lambda R) + 2\lambda^2 \mathcal{E}_{k-1}(\lambda R) - \lambda^2 \mathcal{E}_{k-2}(\lambda R)] dS_y = 0.$$

Використовуючи співвідношення /9/ та /10/ неважко переконатися, що отримане рівняння перетворюється в тотожність. Умова /6/ задовільняється, оскільки виконується співвідношення /8/. Отже, наше твердження доведене і послідовність задач /4/-/7/ зведена до послідовності інтегральних рівнянь /8/, після розв'язання яких розв'язки задач /4/-/6/ визначаються за допомогою співвідношення /7/.

2. Визначимо вигляд функцій $\mathcal{E}_j(\lambda R)$, які задовільнятимуть умови /9/ та /10/. Зобразимо шукані функції у такій формі

$$\mathcal{E}_j(\lambda R) = P_i(\lambda R) H(\lambda R), \quad i = \overline{3, N}; \quad /II/$$

$$P_{i+2}(\lambda R) = \frac{1}{i!} \sum_{j=0}^{i-1} a_{i,i-j} (\lambda R)^{i-j}, \quad i = \overline{1, N-2}. \quad /I2/$$

Спочатку визначимо вигляд функцій $\mathcal{E}_3(\lambda R)$ та $P_3(\lambda R)$. Підставляючи зображення /II/ при $i=3$ в рівняння /9/, враховуючи умови /10/ а також те, що $H(\lambda R)$ є фундаментальним розв'язком рівняння Гельмгольца, отримуємо співвідношення

$$(\Delta P_3(\lambda R) + 2\lambda^2) H(\lambda R) = 0.$$

Якщо врахувати зображення оператора Лапласа у сферичній системі координат, то можна отримати простіше рівняння:

$$P_3''(\lambda R) - 2\lambda P_3'(\lambda R) + 2\lambda^2 = 0.$$

Із останнього співвідношення та із зображення /I2/ при $i=1$ отримуємо

$$P_3(\lambda R) = a_{11} \lambda R, \quad a_{11} = 1. \quad /I3/$$

Аналогічно для $P_4(\lambda R)$ маємо рівняння

$$P_4''(\lambda R) - 2\lambda P_4'(\lambda R) + 2\lambda^2 P_3(\lambda R) - \lambda^2 = 0 \quad /I4/$$

та зображення

$$P_4(\lambda R) = \frac{1}{2} [a_{22}(\lambda R)^2 + a_{21}(\lambda R)],$$

причому із рівняння /I4/ визначаємо, що

$$a_{22} = 1, \quad a_{21} = 2. \quad /I5/$$

Розглянемо тепер зображення /I2/ при $i > 2$. Воно повинно задовільняти рівняння

$$P_{i+2}''(\lambda R) - 2\lambda P_{i+2}'(\lambda R) + 2\lambda^2 P_{i+1}(\lambda R) - \lambda^2 P_i(\lambda R) = 0.$$

Підставляючи зображення /I2/ в останнє рівняння і прирівнюючи до нуля коефіцієнти при $(\mathcal{H}R)^{i-1}$, $(\mathcal{H}R)^{i-2}$, $(\mathcal{H}R)^{i-j-1}$ та $(\mathcal{H}R)$, отримуємо співвідношення:

$$a_{ii} = a_{i-1, i-1}, \quad i = \overline{2, N-2}; \quad /I6/$$

$$a_{i, i-1} = \frac{i}{i-1} a_{i-1, i-2}, \quad i = \overline{2, N-2}; \quad /I7/$$

$$a_{i, i-j} = \frac{(i-j+1)(i-j)a_{i, i-j+1} + 2ia_{i-1, i-j-1} - i(i-1)a_{i-2, i-j-1}}{2(i-j)}, \quad i-j \geq 2; \quad /I8/$$

$$a_{i2} = a_{ii}, \quad i = \overline{3, N-2}. \quad /I9/$$

Із співвідношень /I6/ та /I4/ можна знайти більш загальне:

$$a_{ii} = 1, \quad i = \overline{2, N-2}. \quad /20/$$

Аналогічно, зі співвідношень /I7/ та /I5/ виводимо

$$a_{i, i-1} = i, \quad i = \overline{2, N-2}. \quad /21/$$

Неважко сачити, що формулі /I8/, /I9/, /20/ та /21/ задають співвідношення, до足атні для побудови всіх функцій $P_i(\mathcal{H}R)$, а отже, і функції $\mathcal{E}_i(\mathcal{H}R)$, $i = \overline{2, N}$.

3. Знайдемо простіші формулі для побудови функцій $P_i(\mathcal{H}R)$. Зокрема, за допомогою співвідношення /I8/ можна довести, що

$$a_{ij} = \frac{i}{j} a_{i-1, j-1}, \quad i = \overline{2, N-2}, \quad j = \overline{2, i}. \quad /22/$$

Доведення виконуємо методом індукції. Дійсно, при $j=i$ отримуємо співвідношення, яке збігається із формулою /I6/. При $j=i-1$ отримуємо співвідношення, яке збігається з формулою /I7/. Допустимо тепер, що формула /22/ справедлива при $j=i-K+1$.

Покажемо, що тоді вона справедлива також для випадку $j=i-K$.

Використовуючи одіївідношення /I8/ при $i=m$, $j=k$ та формулу /22/ при $i=m$, $j=i-K+1$ та $i=m-1$, $j=i-K+1$,

отримуємо:

$$a_{m, m-K} = \frac{(m-K+1)(m-K)a_{m, m-K+1} + 2ma_{m-1, m-K+1} - m(m-1)a_{m-2, m-K-1}}{2(m-K)} =$$

$$= \frac{(m-K+1)(m-K) \frac{m}{m-K+1} a_{m-1, m-K} + 2ma_{m-1, m-K} - m(m-1) \frac{m-K}{m-1} a_{m-2, m-K-1}}{2(m-K)} =$$

$$= \frac{m}{m-K} a_{m-1, m-K-1}.$$

що й доводить справедливість формулі /22/.

Формула /22/ дає підставу сформулювати вираз для обчислення коефіцієнтів a_{ij} в явному вигляді:

$$a_{ij} = \begin{cases} 1 & \text{при } i=j, \\ \frac{i!}{j! 2^{i-j-1}} & \text{при } i \neq j, \quad i=\overline{2, N-2}. \end{cases} \quad /23/$$

Покажемо, що співвідношення /23/ справедливе при $j=2$. Дійсно, за допомогою співвідношень /22/ та /19/ можна записати

$$a_{i2} = \frac{i}{2} a_{i-1,1} = \dots = \frac{i(i-1)\dots 2}{2^{i-1}} a_{21} = \frac{i!}{2^{i-2}}.$$

Використовуючи отримане співвідношення, доведемо справедливість формулі /23/ для решти випадків, коли $i \neq j$, $j > 2$. Справді,

$$a_{ij} = \frac{i}{j} a_{i-1,j-1} = \dots = \frac{i(i-1)\dots (i-j+3)}{j(j-1)\dots 3} a_{i-j+2,2} = \frac{i!}{j! 2^{i-j-1}}.$$

Формула /23/ дає підставу спростити зображення функцій $P_i(xR)$

$$P_{i+2}(xR) = \sum_{j=0}^{i-1} b_{i,i-j}(xR)^{i-j}, \quad i=\overline{1, N-2}, \quad /24/$$

$$b_{ij} = \begin{cases} \frac{1}{i!} & \text{при } i=j, \\ \frac{1}{j! 2^{i-j-1}} & \text{при } i \neq j. \end{cases}$$

Із зображення /24/ незадко бачити, що при $i \rightarrow \infty$, $P_{i+2}(xR)$ прямує до нескінченності не швидше як e^{xR} . Тому при $i \rightarrow \infty$ $\varepsilon_i(xR)$ не перевищує $1/R$.

Підсумовуючи, зауважимо, що схема запропонованого методу утворена формулами /7/, /8/, /11/, /24/, які зводять задачу /1/-/3/ до послідовності стаціонарних інтегральних рівнянь /8/.

Викладену схему можна застосовувати для розв'язування складніших задач, а також для теоретичних досліджень.

Стаття надійшла до редколегії 03.02.94

М.М.Притула

ПАРАМЕТРИЧНА ІНТЕГРОВІСТЬ ЗА ЛАКСОМ ДЕЯКИХ НЕЛІНІЙНИХ
ДИНАМІЧНИХ СИСТЕМ НА ФУНКЦІОНАЛЬНИХ МНОГОВИДАХ

1. Нехай на нескіченностивимірному гладкому функціональному многовиді $M \simeq C^{(\infty)}(R; R)$ задана нелінійна неоднорідна динамічна система типу Кортевега-де Фріза:

$$u_t = u_{3x} + 6uu_x + \varepsilon(2u + xu_x) = K[u; x, \varepsilon], \quad /1/$$

де $u \in M$; $\varepsilon \in R$ - довільний параметр; $t \in R$ - еволюційна змінна. На основі градієнтно-голономного алгоритму [2] у праці [1] доведена параметрична повна інтегровність системи вигляду /1/. Згідно з методом, описаним у працях [1, 2], вивчені асимптотичні при $|\lambda| \rightarrow \infty$ розв'язки асоційованого рівняння Лакса:

$$\tilde{\varphi}_t + K^* \tilde{\varphi} = 0 \quad /2/$$

для динамічної системи /1/ по еволюційному параметру $t \in R$;

$$u_t = K[u; x]:$$

$$\tilde{\varphi}[u; \tilde{\lambda}] = \exp(\tilde{\lambda}x + \tilde{\lambda}^3 t + \partial^{-1}\tilde{\sigma}[u; \tilde{\lambda}]), \quad /3/$$

де $\tilde{\lambda} = \tilde{\lambda}(t, x; \lambda)$, $\partial^{-1}(\cdot) = (1/2)(\int_{x_0}^x dx(\cdot) - \int_x^{x_0+2x} dx(\cdot))$ - опера-
тор оберненого диференціювання; $x_0 \in R$ - довільна відмічена
точка; $x \in R$ - параметр; $\lambda \in C$ - довільне число, і при
 $|\lambda| \rightarrow \infty$

$$\tilde{\sigma}[u; \tilde{\lambda}] \approx \sum_{j \in \mathbb{Z}^+} \tilde{\sigma}_j[u] \tilde{\lambda}^j. \quad /4/$$

З огляду на те, що $\tilde{\lambda}(t, x; \lambda)|_{t=0} = \tilde{\lambda}(t, x; \lambda)|_{x=t} = \tilde{\lambda}(t; \lambda)$, $t \in R$ -
довільне, то при $t = x \in R$ із /2/ і /3/ знаходимо нескінченну
рекурентну послідовність для визначення коефіцієнтів розкладу в

$$\begin{aligned} \partial^{-1}\tilde{\sigma}_{j+k} &= 3\tilde{\sigma}_{j+2} - 3\tilde{\sigma}_{j+1-k}\tilde{\sigma}_k - \tilde{\sigma}_{j-k}\tilde{\sigma}_{k-s}\tilde{\sigma}_s - 3\tilde{\sigma}_{j+1,x} - 3\tilde{\sigma}_{j-k}\tilde{\sigma}_{k,x} \\ &= \tilde{\sigma}_{j,x} - (6u + \varepsilon x)\delta_{j-1} - (6u + \varepsilon x)\tilde{\sigma}_j + \varepsilon\delta_{j,0} = 0. \end{aligned} \quad /5/$$

Розв'язуючи /5/, знаходимо з точністю до $O(\varepsilon^2)$:

$$\tilde{\sigma}_0 = 0, \quad \tilde{\sigma}_1 = -2u - (1/3)\varepsilon x, \quad \tilde{\sigma}_2 = 2u_x + (2/3)\varepsilon,$$

$$\tilde{\sigma}_3 = -2u^2 - 2u_{3x} - (2/3)\varepsilon x u - (2/3)\varepsilon \partial^{-1}u,$$

$$\tilde{\sigma}_4 = 8uu_x + 2u_{3x} + (4/3)\varepsilon x u_x + (10/3)\varepsilon u + (1/9)\varepsilon^2 x,$$

$$\begin{aligned} \tilde{\sigma}_5 &= -4u^3 - 10u_x^2 - 2u_{4x} - 12uu_{2x} - 2\varepsilon x u^2 - (20/3)\varepsilon u_x - \\ &\quad - 2\varepsilon x u_{2x} - 2\varepsilon \partial^{-1}u^2 - (4/3)\varepsilon u \partial^{-1}u + O(\varepsilon^2), \dots \end{aligned}$$

Оскільки $|\tilde{\lambda}(t; \lambda)| \rightarrow \infty$, вважаємо, що параметр $\lambda \in \mathbb{C}$ також прямує до безмежності в \mathbb{C} , тобто $|\lambda| \rightarrow \infty$, причому справедливий розклад:

$$\tilde{\lambda}'(t; \lambda) \approx S_1(t)\lambda^{-1} + S_2(t)\lambda^{-2} + \dots, \quad /6/$$

де $j \in N$, а $S_j \in R \sim \mathbb{C}$ мають вигляд $S_j(t) = \exp(-\varepsilon t)$, $t \in \mathbb{R}$. Явні вирази для законів збереження записуються так:

$$y_1 = -2 \exp(-\varepsilon t) \int_R dx u, \quad y_2 = -2 \exp(-\varepsilon t) \int_R dx,$$

$$y_3 = -2 \exp(-\varepsilon t) \int_R dx u - 2 \exp(-3\varepsilon t) \int_R dx u^2, \dots$$

Крім цього, із /6/ знаходимо, що "спектральний" параметр $\tilde{\lambda}(t; \lambda) \in \mathbb{C}$, $t \in \mathbb{R}$ має такий явний вигляд: $\tilde{\lambda}(t; \lambda) = \exp(\varepsilon t)(\lambda - 1)$, $\lambda \in \mathbb{C}$.

Розв'язуючи також рівняння Кардана-Нетер $L_K \mathcal{L} + \partial \mathcal{L} / \partial t = 0$, $t \in \mathbb{R}$, знаходимо, що динамічна система /I/ має узгоджену пару (\mathcal{L}, M) імплектичних операторів на функціональному многовиді M :

$$\mathcal{L} = \exp(2\varepsilon t) \partial / \partial x, \quad M = \partial^3 / \partial x^3 + 2u \partial / \partial x + 2\partial / \partial x \cdot u. \quad /7/$$

Враховуючи тепер, що "спектральний" параметр $\tilde{\lambda}(t; \lambda) \in \mathbb{C}$ не залежить явно від елемента $u \in M$, на основі градієнтно-голономного алгоритму [2] із /7/ знаходимо в явному вигляді зображення типу Лакса для динамічної системи /I/:

$$L[u; \lambda] = -\partial^2 / \partial x^2 + u - \tilde{\lambda}^2(t; \lambda), \quad \lambda \in \mathbb{C}.$$

Таким чином, ми з"ясували, що нелінійна динамічна система /I/ повністю інтегрована за Лаксом.

Отримані результати можна сформулювати у вигляді твердження.

Твердження. Якщо елемент $\tilde{\varphi} \in T^*(M)$ задовільняє асоційоване визначальне рівняння Лакса /2/, де $\tilde{\varphi}(x; \tilde{\lambda})$ – спеціальний асимптотичний розв'язок /3/ при $|\tilde{\lambda}(t; \lambda)| \rightarrow \infty$, $\tilde{\lambda}(t_0; \lambda) = \lambda \in \mathbb{C}$, $t_0 \in \mathbb{R}$ – фіксоване, то система /I/ має параметричну ізоспектральну інтегрованість за Лаксом тоді і тільки тоді, коли елемент $\varphi(x; \lambda) := \tilde{\varphi}(x; \tilde{\lambda})|_{\tilde{\lambda} = t}$ задовільняє асимптотично тотожно при $|\lambda| \rightarrow \infty$ визначальне рівняння Лакса:

$$\varphi_t + K'^* \varphi = 0 \quad /8/$$

для всіх $t \in \mathbb{R}$, причому умовою сумісності рівняння Лакса /2/ і /6/ є диференціальні співвідношення на параметр $S_j(t)$, $j \in N$ в розкладі /6/ при $|\lambda| \rightarrow \infty$.

2. У випадку стандартної ізоспектральної інтегрованості систем $u_+ = K[u]$ на M її гамільтонівість визначається ви-

ходячи зі несиметричних розв'язків $\varphi \in T^*(M)$ рівняння типу Лакса $\varphi_t + K'^*\varphi = \text{grad } \eta$, де $\eta \in D(M)$ - деякий довільний функціонал. У цьому випадку $u_t = K[u] = -\theta \text{grad } H$, де $H = (\varphi - K) - \eta$, $\theta = \varphi' - \varphi'^*$.

3. Слід відзначити, що у праці [3] одержана повна інтегрованість за Ліувіллем нелінійної динамічної системи:

$$u_t = b_{uu}u_x + u_{3x} + \varepsilon u^3 u_x = K[u; \varepsilon] \quad /9/$$

тільки на односолітонному інваріантному підмноговиді $M^2(\varepsilon) \hookrightarrow M$ при будь-яких $\varepsilon \in \mathbb{R}$; інших інваріантних підмноговидів не існує, тобто динамічна система /9/ на M не інтегрована.

I. Куйбіда В.С., Притула Н.Н., Прикарпатський А.К. Исследование свойства параметрической изоспектральной интегрируемости нелинейных динамических систем на функциональных многообразиях и их конечномерных аппроксимаций. Львов, 1991. 41 с. /Препринт/ АН України. Ін-т прикл. пробл. механики и математики им. Я.С.Подстригача; № 10-91. 2. Митропольский А.А., Боголюбов Н.Н., Прикарпатский А.К., Самойленко В.Г. Интегрируемые динамические системы: спектральные и дифференциально-геометрические аспекты. К.: Наук. думка, 1987. 296 с.

Стаття надійшла до редколегії 03.02.94

УДК 536.2:519.6

Я.Г.Савула, Є.Я.Чапля, В.М.Кухарський

ЧИСЛЬНЕ МОДЕЛОВАННЯ КОНВЕКТИВНОГО ТЕПЛОПЕРЕНОСУ В СЕРЕДОВИЩІ З ТОНКИМ КАПІЛЯРОМ

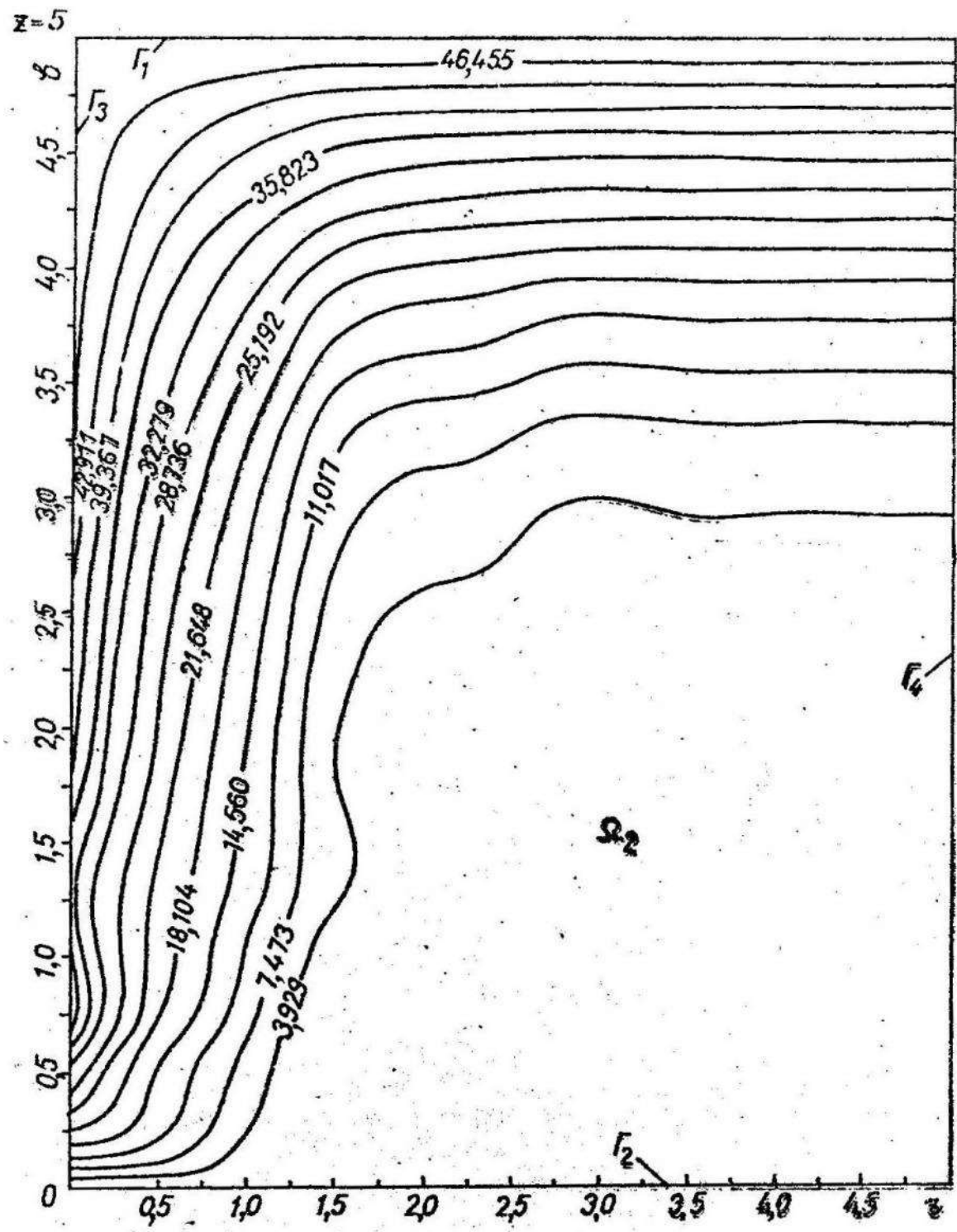
1. Постановка задачі. У праці [3] запропонований спосіб побудови математичних моделей тепlopереносу [3] в середовищах з тонкими покривами і включеннями. Використовуючи основні ідеї цієї праці, подамо ключову систему двовимірної задачі /плоска та осесиметричні задачі/ тепlopереносу в середовищі з прямолінійним капіляром завтовшки h вздовж осі Oz /див. рисунок/ у вигляді

$$\kappa_1^{(o)} \frac{\partial T_1}{\partial z} - \kappa_1^{(o)} u \frac{\partial T_1}{\partial z} - \frac{\partial}{\partial z} \lambda_1^{(o)} \frac{\partial T_1}{\partial z} = -q'_0, \quad \text{в } \Omega_1 \times (0, T], \quad /1/$$

$$\kappa_2 \frac{\partial T_2}{\partial z} - \beta \left[\frac{\partial}{\partial z} (\beta \lambda_2 \frac{\partial T_2}{\partial z}) + \beta \frac{\partial}{\partial z} (\lambda_2 \frac{\partial T_2}{\partial z}) \right] = 0, \quad \text{в } \Omega_2 \times (0, T]. \quad /2/$$

Тут $\kappa_i^{(o)} = y h \kappa_i$, $\lambda_i^{(o)} = y h \lambda_i$, $q'_0 = h q^+$; $y = 1$, $\beta = 1$

© Савула Я.Г., Чапля Є.Я., Кухарський В.М., 1995



- для плоскої задачі; $y = h/2$, $\beta = \tau$ - для осесиметричної задачі;
 χ_1, χ_2 - об'ємні теплопровідності середовищ Ω_1 та Ω_2 ; λ_1, λ_2 -
 коефіцієнти теплопровідності середовищ Ω_1 та Ω_2 ; q^+ - густота
 теплового потоку на спільній межі областей Ω_1 та Ω_2 , U -
 швидкість конвективного переносу через капіляр.

Через $T_1(\tau, z)$, $T_2(\tau, z)$ позначимо розподіли температур в областях Ω_1 і Ω_2 . З огляду на умови симетрії відносно осі Oz , температуру по товщині капіляра вважамо сталю.

До рівнянь /1/, /2/, потрібно додати граничні умови:

$$\begin{aligned} \lambda_1^{(0)} \frac{\partial T_1}{\partial z} &= -\alpha_1^{(1)} (T_1 - T_C^{(1)}) , z=0, \tau \in (0, T], \\ \lambda_1^{(0)} \frac{\partial T_1}{\partial z} &= \alpha_1^{(2)} (T_1 - T_C^{(2)}) , z=0, \tau \in (0, T], \\ \lambda_2 \frac{\partial T_2}{\partial y} &= -\alpha_2^{(1)} (T_2 - T_C^{(1)}) \text{ на } \Gamma_1 \times (0, T], \\ \lambda_2 \frac{\partial T_2}{\partial y} &= -\alpha_2^{(2)} (T_2 - T_C^{(2)}) \text{ на } \Gamma_2 \times (0, T], \\ \lambda_2 \frac{\partial T_2}{\partial y} &= 0 \text{ на } \Gamma_4 \times (0, T], \end{aligned} \quad /3/$$

умови спряження

$$T_1 = T_2, \quad /4/$$

$$\lambda_2 \frac{\partial T_2}{\partial z} = -q^+ \text{ на } \Gamma_3 \times (0, T];$$

та початкові умови

$$T_1 = T_1^{(0)}, \quad \tau = 0, \quad z \in [0, b];$$

$$T_2 = T_2^{(0)}, \quad \tau = 0, \quad (z, z) \in \Omega_2. \quad /5/$$

2. Варіаційна постановка задачі. Введення простори

$$V_1 = \{U(z) | U(z) \in W_2^{(1)}[0, b]\},$$

$$V_2 = \{U(z, z) | U(z, z) \in W_2^{(1)}(\Omega_2)\}.$$

Розглянемо функції $T_1 \in L_2(0, T; V_1)$, $T_2 \in L_2(0, T; V_2)$
 і білінійні форми:

$$\begin{aligned} m_1(T_1', \tilde{T}_1) &= \int_0^b \chi_1^{(0)} \frac{\partial T_1}{\partial z} \tilde{T}_1 dz; \\ a_1(T_1, \tilde{T}_1) &= \int_0^b \chi_1^{(0)} U \frac{\partial T_1}{\partial z} \tilde{T}_1 dz; \\ b_1(T_1, \tilde{T}_1) &= \int_0^b \lambda_1^{(0)} \frac{\partial T_1}{\partial z} \frac{\partial \tilde{T}_1}{\partial z} dz + \alpha_1^{(1)} T_1 \tilde{T}_1 \Big|_{z=0} + \\ &\quad + \alpha_1^{(1)} T_1 \tilde{T}_1 \Big|_{z=b}; \\ m_2(T_2', \tilde{T}_2) &= \int_{\Omega_2} \chi_2 \frac{\partial T_2}{\partial z} \tilde{T}_2 d\Omega; \\ b_2(T_2, \tilde{T}_2) &= \int_{\Omega_2} (\lambda_2 \frac{\partial T_2}{\partial z} \frac{\partial \tilde{T}_2}{\partial z} + \lambda_2 \frac{\partial T_2}{\partial z} \frac{\partial \tilde{T}_2}{\partial z}) d\Omega + \\ &\quad + \int_{\Gamma_1} \alpha_2^{(1)} T_2 \tilde{T}_2 z d\Gamma + \int_{\Gamma_2} \alpha_2^{(2)} T_2 \tilde{T}_2 z d\Gamma; \end{aligned}$$

$$\langle l_1, \tilde{T}_1 \rangle = \alpha_1^{(2)} T_c^{(2)} \tilde{T}_1|_{z=0} + \alpha_1^{(1)} T_c^{(1)} \tilde{T}_1|_{z=8};$$

$$\langle l_2, \tilde{T}_2 \rangle = \int_{\Gamma_1} \alpha_2^{(1)} T_c^{(1)} \tilde{T}_2 z d\Gamma + \int_{\Gamma_2} \alpha_2^{(2)} T_c^{(2)} \tilde{T}_2 z d\Gamma,$$

де $\tilde{T}_1 \in V_1$, $\tilde{T}_2 \in V_2$:

Домножуючи рівняння /1/, /2/ на довільні функції \tilde{T}_1, \tilde{T}_2 і додаючи, отримуємо варіаційну задачу:

$$\frac{1}{2} \frac{d}{d\tau} [m_1(T_1, \tilde{T}_1) + m_2(T_2, \tilde{T}_2)] + a_1(T_1, \tilde{T}_1) +$$

$$+ b_1(T_1, \tilde{T}_1) + b_2(T_2, \tilde{T}_2) - \langle l_1, \tilde{T}_1 \rangle + \langle l_2, \tilde{T}_2 \rangle,$$

$$m_1(T_1, \tilde{T}_1) + m_2(T_2, \tilde{T}_2) = m_1(T^{(0)}, \tilde{T}_1) + m_2(T^{(0)}, \tilde{T}_2)$$

при $\tau = 0$, /6/

$$T_1 = T_2,$$

$$T_1 = T_2 \text{ на } \Gamma_3 \times (0, T].$$

3. Чисельний аналіз задачі. Для знаходження розв'язку варіаційної задачі використаємо напівдискретний метод Гальбркіна /4/, згідно з яким подамо шукані функції у вигляді

$$T_1^h = \sum_{i=1}^N q_{1i}(\tau) \varphi_{1i}^h(z);$$

$$T_2^h = \sum_{i=1}^N q_{2i}(\tau) \varphi_{2i}^h(z, z),$$

де $q_{1i}(\tau), q_{2i}(\tau), i = \overline{1, N}$ — шукані функції; $\varphi_{1i}^h(z), \varphi_{2i}^h(z, z)$ — базові функції, які будуємо методом ізопараметричного відображення з використанням квадратичних та білінійних базисних функцій /2/:

$$\varphi_{11}(\xi) = \frac{1}{2}(1-\xi)(-1-\xi);$$

$$\varphi_{12}(\xi) = 1-\xi^2;$$

$$\varphi_{13}(\xi) = \frac{1}{2}((1+\xi)\xi + \xi^2);$$

$$\varphi_{i2} = \frac{1}{4}(1+\xi_i \xi)(1+\eta_i \eta)(\xi_i \xi + \eta_i \eta - 1), \quad i = 1, 3, 5, 7;$$

$$\varphi_{i2} = \frac{1}{2}(1-\xi^2)(1+\eta_i \eta), \quad i = 2, 6;$$

$$\varphi_{i2} = \frac{1}{2}(1+\xi_i \xi)(1-\eta^2), \quad i = 4, 8.$$

Зauważимо, що згідно з першою умовою /4/ функції $\varphi_{1i}(\tau)$ та $\varphi_{2i}(\tau)$ задовільняють співвідношення

$$q_{i1}(\tau) = q_{i2}(\tau)$$

для скінченно-елементних вузлів і співвідношення, що лежать на границі Γ_3 .

З використанням зображення /7/ варіаційна задача /6/ зводиться до задачі Коші вигляду /4/

$$M \frac{dQ}{dt} + KQ = F,$$

/8/

$$Q|_{t=0} = Q_0,$$

де M, K, F - відомі матриці; Q - вузлові значення шуканої температури; Q_0 - вузлові значення у початковий момент часу.

Для розв'язання задачі /8/ використаємо різницеву схему Кранка-Ніколооне /4/.

Приклад. Виконаємо чисельний аналіз розподілу температурного поля в середовищі, яке характеризується $\chi_2 = 1,789, \lambda_2 = 0,03$ /пісок/ з капіляром завдовжки $h = 0,01$ через який протікає вода ($\chi_1 = 4,181, \lambda_1 = 0,54$) зі швидкістю $U = 2$. Вибрані такі значення температур зовнішнього середовища: $T_c^{(1)} = 50, T_c^{(2)} = 0$ та коефіцієнти тепловіддачі: $\alpha_1^{(1)} = \alpha_1^{(2)} = \alpha_2^{(1)} = \alpha_2^{(2)} = 50$. На рисунку подані: ізотерми в області S_2 при $T = 40$ для значень $a = 5, b = 5$.

1. Беляев Н.М., Вядино А.А. Методы теории теплопроводности. В 2 ч. М., 1982. Ч.1. 2. Савула Я.Г. Метод скінчених елементів. К., 1993. 3. Савула Я.Г., Сипя І.М., Стругацький І.В. Математичні моделі теплопровідності для тіл з тонкими покрівлями і включеннями // Вісн. Львів. ун-ту. Сер. мех.-мат. 1992. Вип.37. С.39-45.
4. Шинкаренко Г.А. Проекційно-сіткові методи розв'язування початково-країзових задач. К., 1994.

Стаття надійшла до редакції 11.02.94

П.С.Сеньо, М.П.Дивак, Г.М.Гладій, П.С.Венгерський

**ІНТЕРВАЛЬНІ МОДЕЛІ
В МЕДИКО-ЕКОЛОГІЧНОМУ ПРОГНОЗУВАННІ**

Стан здоров'я людини залежить від багатьох факторів: екологічних, соціальних, демографічних тощо.

Позначимо: x_{ik} - істотність впливу i -го фактора в K -му році на здоров'я населення конкретного територіального району /вплив заданий ваговим коефіцієнтом/; y_k - кількість захворювань певного виду /скажімо, серцево-судинних/ протягом K -го року серед населення району.

Враховуючи точність діагнозів, можна розрахувати максимальну абсолютну похибку Δy_k при визначенні y_k . Тоді дані, отримані від дільничих лікарів шляхом аналізу соціально-екологічної ситуації та діагностування хворих, можна подати в інтервальній формі:

$$\vec{x}_k, [y_k^-, y_k^+], k=1,2,\dots,N; \quad /1/$$

де $\vec{x}_k = (x_{k1}, \dots, x_{ki}, \dots, x_{kn})$,

$$y_k^- = y_k - \Delta y_k, \quad y_k^+ = y_k + \Delta y_k.$$

При цьому істинна кількість захворювань y_{ok} протягом K -го року належить відомому інтервалу $[y_k^-, y_k^+]$.

Сукупний вплив факторів на кількість захворювань $y(\vec{x})$ заданого виду зручно записати інтервальною моделлю у вигляді лінійно-параметризованого рівняння /2/:

$$y(\vec{x}) = \vec{\varphi}^T(\vec{x}) \vec{b}, \quad /2/$$

де $\vec{\varphi}^T(\vec{x}) = (\varphi_1(\vec{x}), \dots, \varphi_m(\vec{x}))$ - відомий вектор базисних функцій; $\vec{b} = (b_1, \dots, b_m)^T$ - невідомий вектор параметрів моделі; \vec{x} - відомий вектор факторів істотності впливу на здоров'я населення.

Із праці /2/ випливає, що інтервальною моделлю медико-екологічного прогнозу є будь-яка функція вигляду /2/, що задовільняє інтервальні дані /1/, тобто

$$y_k^-(\vec{x}_k) \leq \vec{\varphi}^T(\vec{x}_k) \vec{b} \leq y_k^+(\vec{x}_k), \quad k=1,2,\dots,N. \quad /3/$$

Очевидно, що система нерівностей /3/ лінійна відносно вектора \vec{b} . Розв'язком системи /3/ є область значень параметрів © Сеньо П.С., Дивак М.П., Гладій Г.М. та ін., 1995

\vec{b} інтервальної моделі. Зі системи рівнянь випливає, що область Ω в просторі параметрів \vec{b} є опуклим багатогранником.

У випадку великої кількості нерівностей у системі /3/ аналіз області Ω істотно ускладнюється. Тому зручно скористатися деякими наближеннями області Ω , приміром у вигляді описаного паралелепіпеда:

$$\Pi = \{\vec{b} \in \mathbb{R}^m : b_i^- \leq b_i \leq b_i^+, i = 1, 2, \dots, m\} \quad /4/$$

з гранями, паралельними осям b_i . При цьому b_i^- і b_i^+ шукаємо шляхом розв'язання відповідних задач лінійного програмування:

$$b_i^- = \min_{\vec{b} \in \Omega} b_i, \quad /5/$$

$$b_i^+ = \max_{\vec{b} \in \Omega} b_i. \quad /6/$$

Модель прогнозу для даного випадку набирає вигляду

$$[\hat{y}^-(\vec{x}), \hat{y}^+(\vec{x})] = \vec{\varphi}^T(\vec{x}) [\vec{b}^-, \vec{b}^+],$$

де $\hat{y}^-(\vec{x})$, $\hat{y}^+(\vec{x})$ - відповідно нижня та верхня оцінки кількості захворювань; \vec{b}^- і \vec{b}^+ - вектори, компонентами яких є розв'язки задач /5/ і /6/.

У загальному випадку межі коридору прогнозу $[\hat{y}^-(\vec{x}), \hat{y}^+(\vec{x})]$, побудовані на основі області Ω , є не достатньо гладкими функціями:

$$\hat{y}^-(\vec{x}) = \min_{\vec{b} \in \Omega} \vec{\varphi}^T(\vec{x}) \vec{b}, \quad /7/$$

$$\hat{y}^+(\vec{x}) = \max_{\vec{b} \in \Omega} \vec{\varphi}^T(\vec{x}) \vec{b}, \quad /8/$$

що не завжди зручно на практиці. Для уникнення цієї незручності у випадку $N = m$ можна використати таке твердження.

Твердження. Для $N = m$ навколо багатогранника Ω можна описати еліпсоїд:

$$\Omega_m = \{\vec{b} \in \mathbb{R}^m : (\vec{b} - \vec{\bar{b}})^T \Phi^T E^{-2} \Phi (\vec{b} - \vec{\bar{b}}) = m\}, \quad /9/$$

що проходить через усі вершини багатогранника Ω з центром ваги

$$\vec{\bar{b}} = \Phi^{-1} \vec{y},$$

де $\vec{y} = \frac{1}{2}(y_1^- + y_1^+, y_2^- + y_2^+, \dots, y_N^- + y_N^+)$.

Центр ваги збігається з центром симетрії Ω .

У виразі /9/ $\Phi = \{\varphi_j(\vec{x}_k), j=1, \dots, m; k=1, \dots, N\}$ - матриця значень базисних функцій розчірності $N \times m$; E - відома матриця інтервальних похибок даних, яка має вигляд

$$E = \begin{pmatrix} \Delta y_1 & & 0 \\ & \ddots & \Delta y_k \\ 0 & & \ddots & \Delta y_N \end{pmatrix}$$

Твердження дозведене у праці /1/.

Користуючись виразом /9/, не важко показати, що межі коридору прогнозу є функціями вигляду

$$\hat{y}^-(\vec{x}) = \varphi^T(\vec{x}) \vec{\theta} - \Delta y(\vec{x});$$

$$\hat{y}^+(\vec{x}) = \varphi^T(\vec{x}) \vec{\theta} + \Delta y(\vec{x}),$$

де

$$\Delta y(\vec{x}) = \sqrt{\varphi^T(\vec{x})(\varphi^T E^{-2} \varphi)^{-1} \varphi(\vec{x}) m}.$$

Таким чином, побудована інтервальна модель дає змогу, враховуючи соціально-екологічну ситуацію в районі, спрогнозувати в будь-який момент часу гарантований інтервал кількості захворювань певного класу серед населення району.

2. Вощинин А.П., Дивак Н.П. Планирование оптимального насыщенного эксперимента в задачах интервальных данных // Завод. лаб. 1993. № 1. С.56-59. 2. Voshin' n A.P., Dyvak N.P., Simoff S.J. Interval methods: theory and application in design of experiments, data analysis and fitting// Design of Experiments and analysis: New Trends and Results/Edited by Letzky E.K. Moscow: ANTAL, 1993. P.10-51.

Стаття надійшла до редакції 28.03.94

УДК 517.54

Г.Г.Цегелик, Н.В.Федчишин

ВИКОРИСТАННЯ НЕКЛАСИЧНОГО

АПАРАТУ МАХОРАНТ І ДІАГРАМ НЬЮТОНА ФУНКІЯ

ДЛЯ ПОБУДОВИ НОВОЇ КВАДРАТУРНОЇ ФОРМУЛІ

Некласична теорія махорант і діаграм Ньютона бере свій початок у працях /6, 7/, в яких вперше введено поняття некласичної махоранті і діаграми Ньютона нескінченної числової послідовності, визначені необхідні та достатні умови існування діаграми Ньютона, вивчені властивості махоранті Ньютона. Як застосування

Цегелик Г.Г., Федчишин Н.В., 1995

запропонований підхід до побудови класу наближених методів пошуку інформації у файлах баз даних, що використовують характеристики діаграм Ньютона послідовності значень пошукового ключа, яким характеризуються записи файла. У працях [1, 3, 4, 5] апарат некласичних мажорант і діаграм Ньютона узагальнюється на функції дійсних змінних, заданих на спуклих множинах евклідового простору, а також на самі множини цього простору. У праці [8] теорія некласичних мажорант і діаграм Ньютона переднесена на функції дійсної змінної, що задані таблично. У праці [2] побудований апарат некласичних мажорант і діаграм Ньютона числових рядів, який використаний для визначення достатніх умов їх збіжності.

У даній роботі із використанням некласичного апарату мажорант і діаграм Ньютона функції дійсної змінної, заданих таблично, побудована нова квадратурна формула для наближеного обчислення відзначених інтегралів.

Розглянемо функцію дійсної змінної $y = f(x)$, яка задана своїми значеннями в деяких точках

$$f(x_i) = y_i \quad (i=1, 2, \dots, n).$$

Нехай

$$|y_i| = a_i \leq M \quad (i=1, 2, \dots, n), \quad a_1, a_n \neq 0,$$

де M – деяка константа.

Точка $P_i(x_i, -\ln a_i)$ з координатами $x=x_i$, $y=-\ln a_i$ в площині xy називається точкою зображення значення функції $y=f(x)$ в точці x_i . Припустимо, що точки зображення P_i значень функції $y=f(x)$ в точках x_i ($i=1, 2, \dots, n$) у площині xy побудовані. Множину цих точок позначимо через S , а її спуклу оболонку – через $C(S)$: для кожного $x \in [x_1, x_n]$ визначимо точку $B_x(x, \mathcal{H}_x)$, де

$$\mathcal{H}_x = \inf_{(x,y) \in C(S)} y.$$

Множина точок $B_x(x, \mathcal{H}_x)$, $x \in [x_1, x_n]$, утворює лінію \mathcal{U}_f , яка обмежує $C(S)$ знизу. Ця лінія є неперервною спуклою ламаною лінією, її рівняння має вигляд

$$y = \mathcal{H}(x), \quad x \in [x_1, x_n],$$

де $\mathcal{H}(x) = \mathcal{H}_x$. Ламана лінія \mathcal{U}_f визначена на проміжку $[x_1, x_n]$, називається діаграмою Ньютона функції $y=f(x)$ на цьому проміжку [3].

Позначимо

$$\mathcal{M}_f(x) = \exp(-\mathcal{M}_f(x)), \quad x \in [x_1, x_n].$$

Функція $y = \mathcal{M}_f(x)$, визначена на проміжку $[x_1, x_n]$, називається мажорантою Ньютона функції $y = f(x)$ на цьому проміжку [8].

Якщо точка зображення P_i ($i=1, 2, \dots, n$) розміщена у вершині V_f , то індекс i називається вершинним, якщо x на V_f , то - діаграмним. Індекси $i=1$ та $i=n$ належать до вершинних індексів.

Нехай $\{i_k\}$ ($k=1, 2, \dots, S; S \leq n$) - послідовність вершинних індексів V_f . Тоді, якщо $x_{i_{k-1}} < x \leq x_{i_k}$, то

$$\mathcal{M}_f(x) = \begin{pmatrix} x_{i_k} - x & x - x_{i_{k-1}} \\ a_{i_{k-1}} & a_{i_k} \end{pmatrix} \frac{1}{x_{i_k} - x_{i_{k-1}}} \quad /1/$$

Покажемо, як використовуючи формулу /1/, побудувати нову квадратурну формулу для наближеного обчислення значених інтегралів.

Нехай треба обчислити значений інтервалу.

$$S = \int_a^b f(x) dx,$$

де $f(x) > 0$ для всіх $x \in [a, b]$. Замінивши на проміжку $[a, b]$ функцію $f(x)$ мажорантю Ньютона:

$$\mathcal{M}_f(x) = ((f(a))^{b-x} (f(b))^{x-a})^{\frac{1}{b-a}},$$

одержимо

$$S = \int_a^b f(x) dx \approx \int_a^b \mathcal{M}_f(x) dx = \int_a^b ((f(a))^{b-x} (f(b))^{x-a})^{\frac{1}{b-a}} dx.$$

Позначимо $f(a) = A$; $f(b) = B$,

$$\bar{S} = \int_a^b (A^{b-x} B^{x-a})^{\frac{1}{b-a}} dx$$

і обчислимо \bar{S} . Одержано

$$\bar{S} = (b-a) \frac{f(b) - f(a)}{\ln f(b) - \ln f(a)}.$$

Розіб'ємо тепер проміжок інтегрування $[a, b]$ на n однакових частинок завдовжки $h = (b-a)/n$ течіями $x_0, x_1, \dots, x_{n-1}, x_n$, де $x_0 = a$, $x_n = b$, і на кожному проміжку $[x_i, x_{i+1}]$ ($i=0, 1, \dots, n-1$) замінимо функцію $f(x)$ мажорантою Ньютона $\mathcal{M}_f(x)$. Одержано

$$S = \int_a^b f(x) dx = \sum_{i=0}^{n-1} \int_{x_i}^{x_{i+1}} f(x) dx \approx \sum_{i=0}^{n-1} \int_{x_i}^{x_{i+1}} m_f(x) dx.$$

Оскільки

$$\int_{x_i}^{x_{i+1}} m_f(x) dx = (x_{i+1} - x_i) \frac{f(x_{i+1}) - f(x_i)}{\ln f(x_{i+1}) - \ln f(x_i)},$$

то

$$\int_a^b f(x) dx \approx h \left(\frac{f(x_1) - f(x_0)}{\ln f(x_1) - \ln f(x_0)} + \frac{f(x_2) - f(x_1)}{\ln f(x_2) - \ln f(x_1)} + \dots + \frac{f(x_n) - f(x_{n-1})}{\ln f(x_n) - \ln f(x_{n-1})} \right).$$

Л. Захаревич Л.І., Цегелик Г.Г. Некласичний апарат мажорант і діаграм Ньютона функцій двох дійсних змінних, заданих на замкнених замкнутих множинах // Віsn. Львів. політехн. ін-ту "Диференціальні рівняння та їх застосування". 1991. № 251. С. 46-49. 2. Захаревич Л.І., Цегелик Г.Г. Построєння мажорант і діаграм Ньютона числових рядів // Вестн. Львов. політехн.ін-та "Диференціальні уравнення і их приложения". 1989. № 232. С. 61-62. 3. Цегелик Г.Г., Захаревич Л.І. Апарат мажорант і мінорант Ньютона функцій, заданих на выпуклих множествах евклідова пространства // Тез. докл. 1 сесіюз. шк. "Теория приближения функций". К.: Ин-т математики АН УССР. 1989. С. 159. 4. Цегелик Г.Г. Мажоранты и міноранты Ньютона ограниченных замкнутых множеств евклидова пространства // Тез. 6696. XIX Всесоюз. алгебраической конф. Львов, 1987. Ч.1. С.304. 5. Цегелик Г.Г. Мажоранты и діаграмми Ньютона функцій действительной переменной, заданных в промежутке // Докл. АН УССР. Сер. А. 1987. № 6. С. 18-19. 6. Цегелик Г.Г. Мажоранты и діаграмми Ньютона числовых последовательностей і их приложение к поиску информации в базах данных. К., 1985. 12 с. Препринт/АН УССР, Ин-т кибернетики им. В.М.Глушкова; № 85-49. 7. Цегелик Г.Г. Организация и поиск информации в базах данных. Львов: Вища школа. 1987. 176 с. 8. Цегелик Г.Г. Теория мажорант и діаграмм Ньютона функцій, заданих таблично, і їх приложение // Укр. мат. журн. 1989. Т.41. № 9. С.1273-1276.

Стаття надійшла до редколегії 10.02.94.

Н.П.Флейшман, Ч.Н.Койфман

УЗАГАЛЬНЕНІ УМОВИ СПРЯЖЕННЯ СЕРЕДОВИЩ
ЗА ДОПОМОГОЮ ТОНКОГО ПЛОСКОГО ПРОШАРКУ

1. Розглянемо ізотропний, однорідний, плоский прошарок малої товщини $2h = \text{const}$, який з'єднує два середовища /тіла/ "1" та "2". Припустимо, що в прошарку відбувається деякий фізичний одновимірний нестационарний процес, який моделюється рівнянням

$$\frac{\partial^2 v}{\partial z^2} + 2K \frac{\partial v}{\partial z} + \gamma^2 v - \frac{1}{a} \frac{\partial v}{\partial t} = A(z, t), \quad /1/$$

де $v(z, t)$ - шукана функція; t - час; $-h \leq z \leq h$; K, a, γ^2 - відомі константи; $A(z, t)$ - відома функція.

При часткових значеннях коефіцієнтів рівняння /1/ описує, зокрема, теплопровідність рухомого та нерухомого середовища; теплопровідність тіла, теплофізичні параметри якого залежать від температури, дифузії; фільтрації; помірення теплових хвиль; поширення домішок в атмосфері тощо /1-6/.

У середовищах "1", "2" з іншими фізичними характеристиками опостерігається той же фізичний процес, який визначається функціями $u_1(z, t)$ та $u_2(z, t)$. На площинах $z = \pm h$ виконуються умови спряження, які загалом можна записати у вигляді:

$$\beta v(-h, t) = \beta_1 u^+, \quad \beta v(h, t) = \beta_2 u^+, \quad /2/$$

$$\lambda \frac{\partial v(-h, t)}{\partial z} = \lambda_1 \frac{\partial u^+}{\partial z}, \quad \lambda \frac{\partial v(h, t)}{\partial z} = \lambda_2 \frac{\partial u^+}{\partial z}, \quad /3/$$

де u^- , u^+ - значення функцій u_1 , u_2 відповідно при $z = -h$ та $z = h$; $\beta, \beta_1, \beta_2, \lambda, \lambda_1, \lambda_2$ - відомі числа.

Дискретизуючи область прошарку вздовж осі z , вибираємо три точки $z = 0$ та $z = \pm h$ і записуємо рівняння /1/ лише в точці $z = 0$, замінюючи одночасно похідні по z їхніми симетричними різницевими аналогами з точністю $O(h^2)$. В умовах /3/ похідні по z заміняємо відповідно їхніми несиметричними аналогами з такою ж точністю і після виключення вели-

чин $v(-h, t)$, $v(h, t)$ та

$$v(0, t) = \frac{1}{2} [v(h, t) + v(-h, t)] - \frac{h}{4\lambda} (\lambda_2 \frac{\partial u^+}{\partial z} - \lambda_1 \frac{\partial u^-}{\partial z}). \quad /4/$$

отримуємо остаточно узагальнені умови спряження середовищ "1", "2":

$$\frac{1}{\beta} (\beta_2 u^+ - \beta_1 u^-) - \frac{h}{\lambda} (\lambda_1 \frac{\partial u^-}{\partial z} + \lambda_2 \frac{\partial u^+}{\partial z}) = 0; \quad /5/$$

$$(1+2kh) \frac{\lambda_2}{\lambda} \frac{\partial u^+}{\partial z} - (1-2kh) \frac{\lambda_1}{\lambda} \frac{\partial u^-}{\partial z} =$$

$$= h \left(\frac{1}{a} \frac{\partial}{\partial t} - \gamma^2 \right) \left[\frac{1}{\beta} (\beta_2 u^+ + \beta_1 u^-) - \right.$$

$$\left. - \frac{h}{2} \left(\frac{\lambda_2}{\lambda} \frac{\partial u^+}{\partial z} + \frac{\lambda_1}{\lambda} \frac{\partial u^-}{\partial z} \right) \right] + 2hA(0, t). \quad /6/$$

2. Розглянемо частковий випадок, коли тіло "2" відсутнє, а на зовнішній площині $Z = h$ тонкого покриття тіла "1" спровадлива гранична умова

$$\lambda \frac{\partial v(h, t)}{\partial z} + \alpha v(h) = F_0(t), \quad /7/$$

де $\lambda \geq 0$, $\alpha \geq 0$ - відомі числа; $F_0(t)$ - відома функція.

Враховуючи /2/, /3/, перепишемо умову /7/ так

$$\lambda_2 \frac{\partial u^+}{\partial z} = -\alpha \frac{\beta_2}{\beta} u^+ + F_0(t). \quad /8/$$

Виключаючи величини u^+ та $\frac{\partial u^+}{\partial z}$ з формул /5/, /6/, /8/, виводимо узагальнену граничну умову на функцію $u_*(z, t) = u(z, t)$ для середовища з тонким покриттям на площині $Z = -h$ /верхній індекс мінус у функції u пропущений/:

$$\alpha_* u + \lambda_* \frac{\partial u}{\partial z} + \mu_* \frac{1}{a} \frac{\partial u}{\partial t} + \lambda_1 h^2 \mu \frac{1}{a} \frac{\partial^2 u}{\partial z \partial t} = F(t), \quad /9/$$

де

$$\alpha_* = \alpha \frac{\beta_1}{\beta} [1+2kh] - \gamma^2 h \left(\frac{2\lambda}{\alpha} + \frac{3}{2} h \right),$$

$$\lambda_* = \lambda_1 \left[(1-2kh+2\alpha h/\lambda) - \frac{1}{2} \gamma^2 h^2 (3+2\alpha h/\lambda) \right],$$

$$\mu_* = (2\lambda h + \frac{3}{2} \alpha h^2) \beta_1 / \beta, \quad \mu = \frac{3}{2} + \alpha h / \lambda, \quad /10/$$

$$F(t) = 2\lambda h (1 + \frac{\alpha h}{\lambda}) A(0, t) + \\ + [(1+2kh) - (\frac{1}{a} \frac{\partial}{\partial t} - \gamma^2) \frac{h^2}{2}] F_0(t).$$

3. Границу умову /9/ для тіла з тонким покриттям оталої товщини можна подати також в інтегральній формі /після інтегрування по t /

$$\alpha_*(u-u_0) + \lambda_0 \frac{\partial}{\partial z} (u - e^{-xt} u_0) = \\ = xe^{-xt} \int_0^t [(\lambda_0 - \lambda_*) \frac{\partial u}{\partial z} + F(t)] e^{xt} dt, \quad t > 0, z = -h, \quad /II/$$

де

$$\lambda_0 = \alpha \lambda_1 h^2 \mu/a, \quad \alpha = a \alpha_*/\mu_*, \quad u_0 = u(z, 0).$$

1. Голубева О.В. Курс механики сплошных сред. М., 1972. 2. Карслор Г., Егер Д. Теплопроводность твердых тел. М., 1964. 3. Марчук Г.И. Математическое моделирование в проблеме охраны окружающей среды. М., 1982. 4. Пасковинов В.М., Полежаев В.И., Чудов Л.А. Численное моделирование процессов тепло- и массообмена. М., 1984. 5. Полубаринова - Кочин Н.Я. Теория движения грунтовых вод. М., 1947. 6. Флейшман Н.П. Математичні моделі теплового спряження середовищ із тонкими чужорідними промарками або покриттями // Вісник ЛДУ. Сер. мех.-мат. 1993. Вип. 39. С.30-34.

Стаття надійшла до редколегії 27.04.94

УДК 539.3

М.В.Щербатий

ОПТИМІЗАЦІЯ ЧАСТОТ ВІЛЬНИХ КОЛІВАНЬ СКЛАДОВИХ ОБОЛОНОК ОБЕРТАННЯ

У даній роботі розглянуті постановки і схема розв'язування задач оптимізації для складових оболонок обертання типу Тимошенка з урахуванням частот неосесиметричних вільних коливань. Отримане співвідношення аналізу чутливості для простих частот вільних коливань відносно геометричних і структурних параметрів оптимізації. Проаналізовані числові результати оптимізації, які показують можливість появи кратних частот вільних коливань у процесі пошуку оптимального розв'язку.

1. Постановка задач оптимізації складається з функцій керування і функцій стану розглядуваної системи; рівнянь, які зв'язують функції керування і функції стану /математична модель системи/: критерію мети і множини допустимих керувань

© Щербатий М.В., 1995

Подамо область Ω , яку займає серединна поверхня оболонки обертання, у вигляді об'єднання підобластей:

$$\Omega = \bigcup_{i=1}^N \Omega_i, \quad \Omega_i = \{\alpha^i = (\alpha_1^i, \alpha_2) : \alpha_{10}^i \leq \alpha_1^i \leq \alpha_{1e}^i, 0 \leq \alpha_2 \leq 2\pi\}.$$

Позначимо через $x_z = (x_{z1}, \dots, x_{zN})^T$,

$x_{zi}(\alpha^i) = [z_i(\alpha_1^i), \dot{z}_i(\alpha_1^i), h_i(\alpha_1^i), E_i(\alpha_1^i), v_i(\alpha_1^i), \rho_i(\alpha_1^i)]^T$,
 $i = \overline{1, N}$ - набір геометричних і фізичних параметрів оболонки, за допомогою яких визначаються коефіцієнти операторів математичної моделі оболонки та її характеристики. Тут z_i, \dot{z}_i - функції, які задають рівняння меридіана серединної поверхні в області Ω_i ; h_i - товщина i -ї частини оболонки; E_i, v_i, ρ_i - модуль Юнга, коефіцієнт Дуассона і густина матеріалу оболонки відповідно.

Серединна поверхняожної зі складових оболонки в циліндричній системі координат записується у вигляді:

$$x^1 = z_i(\alpha_1^i) \cos \alpha_2, \quad x^2 = z_i(\alpha_1^i) \sin \alpha_2, \quad x^3 = z_i(\alpha_1^i).$$

Частини або всі компоненти вектора параметрів x_z оболонки можуть бути параметрами вектора керування α .

Запишемо математичну модель задачі про вільні коливання складової оболонки обертання у вигляді варіаційного рівняння (3, 4, 5):

$$a_x(u_j, v) = \omega_j^2 d_x(u, v) \quad \forall v \in H, \quad /1/$$

які виконуються для будь-яких форм власних коливань v із простору кінематично допустимих функцій H . Тут ω_j - частота вільних коливань; u_j - форма вільних коливань, яка відповідає даній частоті;

$$a_x(u_j, v) = \int_{\Omega} (Cu_j)^T E_0 B Cv d\Omega; \quad /2/$$

$$d_x(u_j, v) = \int_{\Omega} u_j^T M v d\Omega \quad /3/$$

- білінійні симетричні форми, коефіцієнти яких залежать від параметрів керування α ; $C = C(z_i, \dot{z}_i)$ - матриця диференціальних операторів; $B = B(h_i, E_i, v_i)$ - матриця пружних констант; E_0 - діагональна матриця з елементами $e_{kk} = 1, k = \overline{1, N}$, $e_{33} = 2$; $M = M(h_i, \rho_i)$ - матриця мас. Для того щоб наголосити на залежності коефіцієнтів білінійних форм /2/, /3/ і відповідно розв'язку (ω_j, u_j) від функції керування x вони записують з індексом x .

Позначимо через $U = \{x : x \in X, x_-(\alpha) \leq x(\alpha) \leq x_+(\alpha)\}$ - множину керувань /для спрощення запису індекс i біля α^i не ставимо/. Тут X - клас функцій, з якого вибираються керування; x_-, x_+ - додустимі межі зміни функції керування для яких задача /I/ має розв'язок /докладніше існування розв'язку прямих і оптимізаційних задач розглянуте у праці /3/. Нехай $(u, \omega) = (u(x), \omega(x))$ - розв'язок задачі /I/, отриманий для заданої функції керування x ; $\omega = (\omega_1, \dots, \omega_j, \dots)$, $\omega_1 \leq \dots \leq \omega_j \leq \dots$ - впорядкований спектр частот власних коливань; $u = (u_1, \dots, u_j, \dots)$ - відповідний набір власних векторів.

Розглянемо деякі функціонали від частот власних коливань, які найчастіше використовуються в задачах оптимізації /1, 3/:

а/ найнижча частота власних коливань:

$$\tilde{\psi}_1(x) = \omega_1^{-1}; \quad /4/$$

б/ розмір безрезонансної смуги в околі заданого значення ξ :

$$\tilde{\psi}_2(x) = (\min_j |\omega_j - \xi|)^{-1}. \quad /5/$$

Окрім функціоналів /4/, /5/, як правило, фігурує функціонал об'єму /маси/ конструкції:

$$\tilde{\psi}_3(x) = \int_{\Omega} \varphi(x) d\Omega, \quad /6/$$

φ - задана функція приміром, у випарку об'ємної характеристики $\varphi = h$ у випадку маси - $\varphi = \rho h$.

Один із функціоналів /4/-/6/ вибирають у ролі критерію оптимізації:

$$\psi_0(x) = \tilde{\psi}_i(x), \quad i \in \{1, 2, 3\}. \quad /7/$$

Інші в цей час можуть бути обмеженнями:

$$\psi_k(x) = \tilde{\psi}_k(x) - \psi_k^+ \leq 0, \quad k \in \{1, 2, 3\}, \quad k \neq i. \quad /8/$$

Крім обмежень /8/ на функції керування x накладають двосторонні обмеження:

$$\begin{aligned} x^-(\alpha) &\leq x(\alpha) \leq x^+(\alpha), \\ x_-(\alpha) &\leq x^-(\alpha), \quad x^+(\alpha) \leq x_+(\alpha). \end{aligned} \quad /9/$$

З урахуванням /8/, /9/ множину допустимих керувань U_d записують у вигляді

$$\begin{aligned} U_d = \{x : x \in U, x^-(\alpha) &\leq x(\alpha) \leq x^+(\alpha), \\ \psi_k(x) &\leq 0, \quad k = 1, \dots, m\}. \end{aligned} \quad /10/$$

Задача оптимізації /оптимального керування/ полягає в зна-
ходженні такої функції керування x_* , яка надає найменшого
значення критерію мети ψ_0 на множині допустимих керувань U_δ
[3]:

$$x_* \in U_\delta, \psi_0(x_*) = \inf_{x \in U_\delta} \psi_0(x). \quad /11/$$

2. Дискретизація задач оптимізації. Отримати точний розв'язок задачі оптимізації /11/ вдається досить рідко. Тому для отримання розв'язку задач оптимізації використовують один із двох підходів. Згідно з першим підходом пошук розв'язку задачі /11/ здійснюється на основі методів оптимізації систем з розподіленими параметрами і вертакійного числення. Після отримання відповідних умов оптимальності застосовуються числові алгоритми. Відповідно до другого підходу [5, 6, 8, 9], який використаний у даній роботі, з самого початку здійснюється апроксимація функцій керування їх окінченнонімірними аналогами. Для розв'язування отриманих внаслідок дискретизації задач оптимізації використовуються відомі методи не лінійного програмування.

Нехай множина параметрів X_δ оболонки характеризується вектором $b_z = (b_{z1}, \dots, b_{zp})^T, b_z \in R^p$ (p - розмірність евклідового простору):

$$x_z(\alpha) = x_z(\alpha, b_z).$$

Позначимо через $b = (b_1, \dots, b_n)^T, b \in R^n$ - вектор оптимізації, компоненти якого є компонентами вектора b_z і через які залежить функція керування x :

$$x(\alpha) = x(\alpha, b). \quad /12/$$

На компоненти вектора оптимізації b накладаються двосторонні обмеження:

$$b^- \leq b \leq b^+, b^-, b^+ \in R^n. \quad /13/$$

Внаслідок подання функції керування x згідно з /12/, коефіцієнти білінійних форм /2/, /3/, а також функціонали /4/-/6/ є функціями вектора оптимізації b . Множина допустимих керувань U_δ записується у вигляді множини допустимих значень:

$$U_\delta = \{b: b \in R^n, b^- \leq b \leq b^+, \psi_k(b) \leq 0, k = 1, m\}. \quad /14/$$

У виразі /14/ в умові обмежень ψ_k використані обмеження типу /8/, а також обмеження, отримані з /9/.

Тоді задача оптимізації /ІІ/ є задачею нелінійного математичного програмування. Вона полягає в знаходженні вектора оптимізації $\delta_* \in R^n$, який надає мінімального значення критерію мети ψ_0 на множині допустимих значень /ІІІ/:

$$\delta_* \in U_\partial, \psi_0(\delta_*) = \inf_{\delta \in U_\partial} \psi_0(\delta). \quad /15/$$

Для розв'язування варіаційного рівняння /І/ скористаємося напіваналітичним методом скінчених елементів /МСЕ/. Подамо функцію форми власних коливань u_j у вигляді розкладу

$$u_j(\alpha) = \sum_i \Phi_i(\alpha_2) \Psi_{ij}(\alpha) \quad /16/$$

по повній системі тригонометричних функцій $\Phi_i(\alpha_2)$ вздовж кругової координати α_2 . Функції $\Psi_{ij}(\alpha)$ апроксимуємо вздовж α , згідно з МСЕ:

$$\Psi_{ij}(\alpha) = \sum_e N_e(\alpha) q_{eij}, \quad /17/$$

q_{eij} – вектор вузлових невідомих на елементі e для функції /гармоніки/ з номером i .

Підставляючи у варіаційне рівняння /І/ розклади /16/, /17/, а також аналогічне /16/ подання пробної функції ψ , і враховуючи ортогональність функцій Φ_p, Φ_q на проміжку $[0, 2\pi]$ ($(\Phi_p, \Phi_q) = 0, p \neq q$) приходимо до узагальнених матричних задач на власні значення для кожної i -ї гармоніки:

$$K_i(\delta) q_{ij} = \omega_{ij}^2 M_i(\delta) q_{ij}, \quad i=0,1,2,\dots \quad /18/$$

У /18/: $K_i = \sum_e K_{ie}$, $M_i = \sum_e M_{ie}$ – симетричні матриці жорсткості і маси для i -ї гармоніки; K_{ie}, M_{ie} – матриці жорсткості і маси елемента e ; ω_{ij} , q_{ij} – j -та частота власних коливань і вектор вузлових значень j -ї форми власних коливань, які відповідають i -й гармоніці. Узагальнені матричні задачі на власні значення /18/ розв'язуються методом ітерацій у підпросторі /2/.

Нехай $\omega_{(i)} = (\omega_{i1}, \dots, \omega_{ij}, \dots)$ – впорядкований спектр частот власних коливань, що відповідає i -й гармоніці. Очевидно, що у впорядкованому спектрі частот власних коливань $\omega = (\omega_1, \dots, \omega_k, \dots)$, який складається із частот $\omega_{(i)}$, частоти, які відповідають різним гармонікам i переміщуються. Тоді функціонал /4/ для знаходження найнижкої частоти власних коливань має вигляд

$$\tilde{\psi}_i(\delta) = (\min_i \omega_{ij})^{-1}.$$

3. Аналіз чутливості для простих частот власних коливань.
 Використання методів нелінійного програмування вимагає ефективних процедур обчислення похідних /аналіз чутливості /8/ / відповідних характеристик розглядуваних систем відносно параметрів оптимізації. Наведемо коефіцієнти чутливості для вагових і частотних характеристик оболонки.

У випадку вагових характеристик /6/ оболонки обчислення похідної здійснюють шляхом явного диференціювання підінтегральної функції φ /форма області не змінюється/:

$$\frac{d\tilde{\varphi}_3}{d\delta} = \int_{\Omega} \frac{d\varphi}{d\delta} d\Omega.$$

У випадку функціоналів /4/, /5/ необхідно вміти обчислювати повну похідну $d\omega_{ij}/d\delta$ від частот власних коливань ω_{ij} . Нехай власне число ω_{ij} є простим, а відповідний власний вектор q_{ij} нормований відносно матриці мас M_i :

$$q_{ij}^T M_i q_{ij} = 1. \quad /19/$$

Після домноження обох частин рівняння /18/ зліва на q_{ij}^T і диференціювання його по вектору оптимізації δ з урахуванням /19/, отримуємо співвідношення для обчислення похідної простого власного числа ω_{ij} по вектору оптимізації δ :

$$\frac{d\omega_{ij}}{d\delta} = \frac{1}{2\omega_{ij}} q_{ij}^T \left[\frac{dK_i}{d\delta} - \omega_{ij}^2 \frac{dM_i}{d\delta} \right] q_{ij}. \quad /20/$$

Таким чином, якщо відомі проста частота власних коливань ω_{ij} і відповідний власний вектор q_{ij} , то похідна від нього по вектору оптимізації δ безпосередньо обчислюється згідно з /20/.

Проаналізуємо спосіб обчислення похідних

$$dK_i/d\delta = \sum_e dK_{ie}/d\delta, \quad dM_i/d\delta = \sum_e dM_{ie}/d\delta,$$

для матриць користності і маси у випадку різних керувань.

У разі керування товщиною і структурними характеристиками $x = (h(\delta), E(\delta), \nu(\delta), \rho(\delta))$ обчислення $dK_{ie}/d\delta, dM_{ie}/d\delta$ зводиться до явного диференціювання $(dB/dx)(dx/d\delta), (dM/dx)(dx/d\delta)$ елементів матриці пружних констант B і матриці маси M на кожному скінченному елементі. Якщо, скажімо, функції керування мають кусковий характер процес обчислення похідних можна зробити ефективнішими. Для цього відповідні матриці подають у вигляді лінійних комбінацій, що не залежать від параметрів керування матриць, домножених на дані параметри у відповідній степені /5, 6/.

У випадку керування формою меридіана серединної поверхні, $x = (z(\delta), z(\delta))$, $dM_i/d\delta = 0$. Обчислення $dK_{ie}/d\delta$ вимагає знаходження похідних $(dC/dx)(dx/d\delta)$ від матриці диференціальних операторів на скінченному елементі. Коефіцієнти оператора C складним чином залежать від функцій, що описують меридіан серединної поверхні та їхніх похідних. Отримати аналітичні спiввiдношення для обчислення dC/dx в загальному випадку не вдається. Тому доцільним є для обчислення даних похідних використання скінчених рiзниць.

4. Чисельнi приклади. 4.1. Розглядається задача максимізації найнижчої частоти власних коливань круглої пластини радіусом R при обмеженнi на вагу:

$$\psi_0(\delta) = \omega_f^2, \quad /21/$$

$$U_d = \{ \delta: \delta \in R^n, \delta^- \leq \delta \leq \delta^+, \psi_0(\delta) = \int_{\Omega} \rho h d\Omega - \psi_f^2 \leq 0 \}.$$

У ролi вектора оптимізації δ вибирають товщину h пластини, яка апроксимується луково-постiйною функцiєю:

$$h(\alpha_i, \delta) = \delta_i, \alpha_i = [(i-1)\Delta, i\Delta], i \in \{1, \dots, n\}, \quad /22/$$

$$\Delta = (\alpha_{1e} - \alpha_{10})/n, \alpha_{10} = 0, \alpha_{1e} = R,$$

або лiнiйно-змiнною функцiєю:

$$h(\alpha_i, \delta) = \delta_i(i - \alpha_i/\Delta) + \delta_{i+1}(\alpha_i/\Delta - i + 1),$$

$$\alpha_i = [(i-1)\Delta, i\Delta], i \in \{1, \dots, n-1\},$$

$$\Delta = (\alpha_{1e} - \alpha_{10})/(n-1), \alpha_{10} = 0, \alpha_{1e} = R.$$

Тут n – розмiрнiсть вектора оптимiзацiї δ , на компоненти якого накладаються двостороннi обмеження /13/.

Задачу оптимiзацiї /21/ розв'язували методом зовнiшнiх штрафних функцiй в поєднаннi з методом спряжених градiєнтiв [7] за таких вихiдних даних: $\delta_i^- = 0,05, \delta_i^+ = 0,01, \delta_i^+ = 0,1, i = \overline{1, n}$, $R = 1$ /радiус пластини/, $E = 0,21 \cdot 10^{12}$, $\rho = 0,785 \cdot 10^4$, $\nu = 0,3$, $k' = 5/6$ /всi величини поданi у системi СI/. Уздовж радiуса пластини використали 8 скiнчених елементiв. Величина ψ_f^2 дорiвнює вазi пластини при початковiй товщинi.

У табл. 1 i 2 наведенi значення товщин δ_i i найнижчої частоти ω_f в початковiй та отриманiй внаслiдок розв'язування

задачі оптимізації /21/ пластинах в умовах жорсткого защемлення /табл. 1/ і вільного опирання /табл. 2/ вздовж краю $\alpha_1 = R$ для $n = 2, n = 4$.

Таблиця 1

Тип апроксимації товщини : n :	b_1	b_2	b_3	b_4	ω_1	
Постійна /початковий розподіл/	4	0,05	0,05	0,05	0,05	I26
Кусково-постійна	2	0,021	0,06			I49
Кусково-постійна	4	0,011	0,024	0,048	0,068	I60
Лінійно-змінна	2	0,01	0,01			I50

Таблиця 2

Тип апроксимації товщини : n :	b_1	b_2	ω_1	
Постійна /початковий розподіл/	2	0,05	0,05	61
Кусково-постійна	2	0,094	0,27	68

Відзначимо, що найнижча частота в початковій та оптимальній пластинах досягається при осесиметричних формах коливань вздовж кругової координати /гармоніка $i = 0$ /<. У випадку жорсткого защемлення товщина пластини зростає від центра, до краю пластини. У випадку вільного опирання товщина є найбільшою в центрі пластини.

4.2. Розглядається циліндрична оболонка завдовжки l і радіусом R , шарнірно оперта вздовж країв $\alpha_1 = 0, \alpha_1 = l$, яка здійснює вільні коливання, симетричні вздовж середини циліндра. Аналіз симетричних вздовж середини циліндра коливань дає змогу розглядати тільки половину циліндра: $0 \leq \alpha_1 \leq l/2$. На краю $\alpha_1 = l/2$ задається умови симетрії.

Ставиться задача /21/ максимізації найнижчої частоти власних коливань ω_{i1} для кожної із гармонік $i = 0, 1, 2, 3$. У ролі вектора оптимізації b вибирається товщина циліндра, яка апроксимується кусково-постійною функцією /22/.

Задача оптимізації /21/ розв'язана за таких вихідних даних: $b_i = 0,00254$, $b_i^- = 0,0001$, $b_i^+ = 0,01$, $i = 1, n$, $R = 0,065$, $l = 0,6$, $E = 0,625 \cdot 10^{11}$, $\rho = 0,245 \cdot 10^4$, $\nu = 0,22$,

$K' = 5/6$ /всі величини подані у системі СІ/. Вважали, що величина ψ_i^+ дорівнювала вазі циліндричної оболонки при початковій товщині.

Таблиця 3

Номер гармонікі	$b_1 \cdot 10^2$	$b_2 \cdot 10^2$	$b_3 \cdot 10^2$	$b_4 \cdot 10^2$	$\omega_{i1}^+ \text{ /поч. /}$	$\omega_{i1}^- \text{ /опт. /}$
0 /осесиметричні коливання/	0,01	0,027	0,17	0,81	12069	15925
0 /кругильні коливання/	0,77	0,21	0,03	0,01	7895	17426
1	0,45	0,26	0,018	0,014	4365	4741
2	1,0	0,019	0,013	0,01	2058	3306
3	0,01	1,0	0,01	0,01	3678	6495

У табл. 3 наведені значення товщин b_i і найнижчої частоти $\omega_{i1}^+ \text{ /поч. /}$, $\omega_{i1}^- \text{ /опт. /}$, циліндричної оболонки до оптимізації і після оптимізації для різних гармонік при чотирьох параметрах оптимізації / $n = 4$ /.

Із табл. 3 бачимо, що товщина в оболонці для різних гармонік i /різних форм коливань вздовж осі обертання/ розподіляється по-різному. Скажімо при врахуванні тільки осесиметричних коливань товщина циліндра спадає від середини до країв.

Для кругильних коливань і для гармонік $i = 1, 2$ навпаки, товщина є найменшою в середній частині циліндра і збільшується із набільшими до країв. Для гармоніки $i = 3$ товщина є найбільшою на середині близько $1/8$ від країв циліндра і досягає нижньої межі b_i^+ на краях і в середині циліндра.

Знужуємо, що в разі максимізації найнижчої частоти ω_{i1}^+ по данім із гармонік i найнижчі частоти на інших гармонічних коливаннях і становуть меншими від $\omega_{i1}^- \text{ /опт. /}$. Тобто, при постійному розподілі товщин виникають кратні власні частоти. Тому для підвищення найнижчої частоти циліндричної оболонки потрібно дотримувати можливість появи кратних власних частот і будувати відповідні алгоритми аналізу чутливості та оптимізації.

1. Б а н ч у к Н.В. Введение в оптимизацию конструкций. М.: Наука, 1986. 302 с. 2. Б а т е К., В и л с о н Е. Численные методы анализа и метод конечных элементов. М.: Мир, 1982. 488 с. 3. Л и т в и н о в В.Г. Оптимизация в эллиптических граничных задачах с приложениями к механике. М.: Наука, 1987. 366 с. 4. П е л е х Б.Л. Обобщенная теория оболочек. Львов, 1978. 158 с. 5. С е в у л а Я.Г., Ф л е й ш м а н Н.П. Расчет и оптимизация оболочек с резными срединными поверхностями. Львов: Выща школа, 1989. 172 с. 6. С е в у л а Я.Г., Щ е р б а т ы І. В. Анализ чувствительности при оптимальном проектировании составных оболочечных конструкций // Изв. АН ССР. Механика твердого тела. 1990. Вып.І. С.137-143. 7. Х о г з ., А о о р а Я. Прикладное оптимальное проектирование. М.: Мир, 1983. 479 с. 8. Х о г з ., Ч о й К., К о м к о в В. Анализ чувствительности при проектировании конструкций. М.: Мир, 1988. 428 с. 9. Bletzinger K.-U., Ramm E. Structural optimization as tool for shape design// Proc. of the First Eur. Conf. on Num. Met. in Eng., 7-11 Sept. 1992, Brussels, Belgium, 1992. P.465-467.

Стаття надійшла до редколегії 07.04.94

УДК 681.3.06

М.Ю.Щербина, П.Д.Мосорін, В.В.Черняхівський

СИНТАКСИЧНИЙ АНАЛІЗ І ЕМУЛЯЦІЯ ТРАСУВАННЯ ДЛЯ ДЕТЕКТУВАННЯ ПОЛІМОРФНИХ ВІРУСІВ

У даній праці викладені результати експериментальних досліджень віруса OneHalf, який належить до категорії stealth і поліморфних вірусів [1, 2]. Цей вірус заражає виконавчі файли і MBR вінчестера, тобто є файлово-бутовим [2, 2]. Stealth - компонента маскує наявність бутового верфанту віруса на вінчестері /на рівні Int 13h / і вказує стару довжину для заражених файлів /на рівні функцій 11h, 12h, 4Eh, 4Fh переривання Int 21h /. У файлах вірус закодовує своє тіло, а декодер щоразу модифікує, що і є дроявом поліморфізму. Вірус не містить компонент, спрямованих на пошкодження інформації, але має компоненту, яка закодовує фрагмент вінчестера. У разі перезавантаження вірус поширяє цей фрагмент і при виконанні певних умов виводить на екран фразу, яка починається так: "This is one half" звідки й походить неформальна назва віруса. Закодовані сектори представляються вірусом у нормальному вигляді /на рівні Int 13h /. Тому можливі

© Щербина М.Ю., Мосорін П.Д., Черняхівський В.В., 1995

проблеми при завантаженні зі системної дискети і при зникненні віруса з MBR. Остання проблема виникла у деяких користувачів, котрі виявивши вірус, відновили старий MBR за допомогою *ADinf* або *Norton Utilities*, унаслідок чого деяка частина інформації була втрачена. За деякими даними, вірус впливає також на роботу *Microsoft Windows*. Далі викладені загальні погляди на методи детектування поліморфних вірусів, а також побудована узагальнена модель структури декодувальної компоненти віруса *OneHalf*.

Під терміном "вірус" розуміємо файлові віруси або компоненти вірусів, оскільки на даний час автори не мають даних про існування бутових поліморфних вірусів, хоча для них також можна застосовувати описану нижче методику.

Як відомо *[1]*, для детектування віруса *V* у файлі *F* треба виділити сигнатуру *S* \in *V*. Сигнатурою /характеристичний код/ визначається під час аналізування коду віруса і має бути інваріантною отосовно екземпляра даного віруса. Сигнатура містить звичайно від 10 до 100 байтів коду, що дає змогу досягти надійно і швидко детектувати вірус. При виконенні умови *S* \in *F* файл *F* будемо вважати зараженим вірусом *V*. Коім сигнатурного методу існує ще метод контрольних сум *[2]*, але фундаментальні основи цих методів аналогічні.

Поліморфним вважатимемо вірус *P*, з якого ми не можемо виділити сигнатуру, тобто два екземпляри віруса можуть цілком різнятись. Інакше кажучи, їх спільний характеристичний код може не перевищувати одного байта. Для детектування віруса *P* можна розбити його на декілька вірусів *V1, V2, ..., Vn* і отримати відповідні сигнaturи *S1, S2, ..., Sn* ;де *n* - кількість різних варіантів віруса *P*, а під "вірусами" ми розуміємо всі можливі поліморфні різновиди віруса *P*. Проте цей метод має недоліки, а саме:

1/ якщо *n* достатньо велике, що справдується для більшості поліморфних вірусів *[1, 2]*, то питання часу роботи антивірусної програми стає критичним;

2/ деякі віруси, приміром *OneHalf*, складаються з декількох фрагментів, які не мають фіксованого місця у файлі. Хоча існують досить ефективні алгоритми пошуку під послідовності у послідовності /файлі/, скажімо, алгоритми Кнута чи Моріса-Прата, це не розв'язує проблему часу та ускладнює задачу "лікування".

Так, застосується інший метод, який апробований на вірусі *OneHalf* і дає коректні результати. Метод ґрунтуються на тому, що залежність ефект алгоритму самодекодування віруса є інверсною стосовно модифікації.

На рис. 1 можна бачити синтаксичну діаграму декодувальної комбінації вірусу *OneHalf* /для зараженого COM-файлу, EXE – версія неістотно різнилася/. Почеток діаграми відповідає першій машинній команді в даній програмі, а кінець – останній команді декодувальної компоненти. На рис. 2 подана синтаксична діаграма для блоків коду, які генерує вірус для заповнення проміжків між функціонально значущими командами. У діаграмах використані такі позначення: SEGCS, SEGDS, SEGES, SEGSS – відповідні префікс заміни сегментів; reg, reg2 – довгі реєстри загального призначення; seg – деякий сегментний реєстр, reg1 – деякий індуктивний реєстр; VSeg, Work, AddV, VEnd – конкретні константи, які використовуються для декодування. Робочі реєстри, константи декодування і проміжковий код вірус вибирає випадковим чи-

Decoder

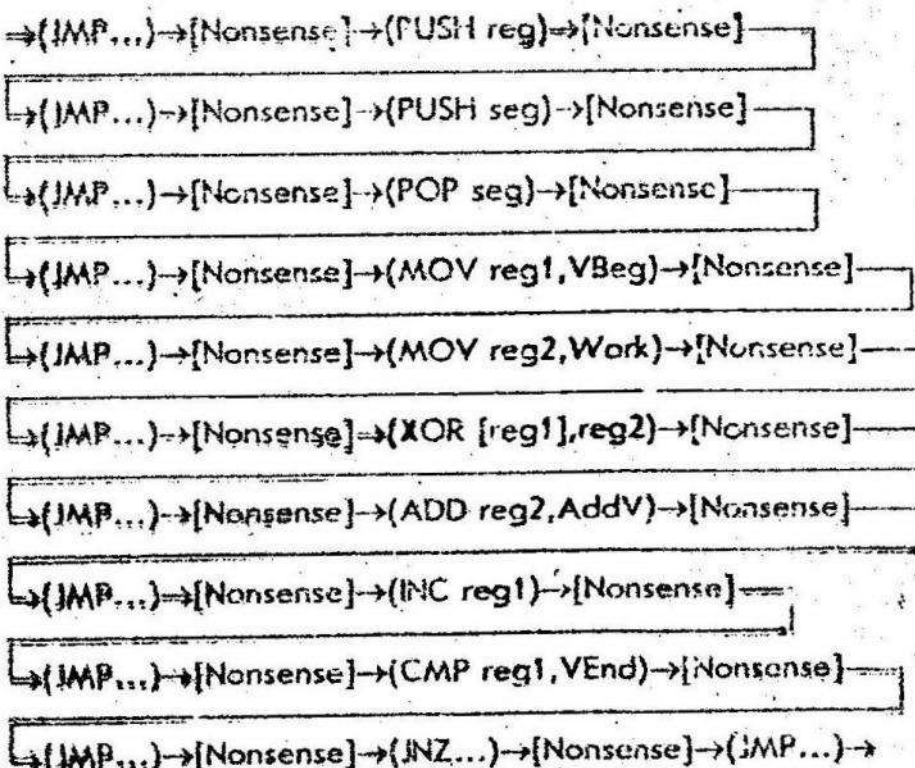


Рис. 1

Nonsense

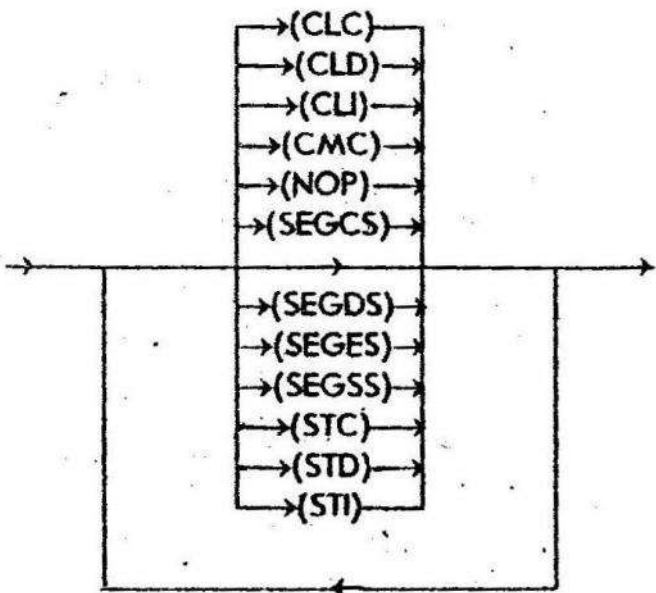


Рис. 2

```

mov bx,[VBeg] ;Початок закодованої частини
mov ax,[Work] ;Стартове значення ключа
@@1:
xor [es:bx],ax ;Зробити XOR з ключем
add ax,[AddV] ;Змінити ключ (додати AddV)
inc bx ;На наступний байт
cmp bx,[VEnd] ;Кінець закодованої частини?
jnz @@1 ;Якщо ні, продовжити...
  
```

Рис. 3

ном, що і є проявом поліморфізму. Відповідно до наведених діаграм пропонується такий алгоритм роботи антивіруса.

Потрібно рухатись діаграмою /рис. 1/, ємулюючи виконання команд *JMP* і "витягаючи" з деяких команд константи декодування. Для цього зручно завести змінну *IP*, функціонально аналогічну відповідному реєстру процесорів i80x86 [3], і виконувати такі дії: інкрементувати *IP* для однобайтових команд, модифікувати при емуляції команд *JMP* на відповідне зміщення,

витягти за відповідною адресою константи декодування і модифікувати на довжину команди. Якщо ми "прийшли" до кінця діаграми, тобто зустріли відповідні команди у вказаній послідовності, то вважаємо, що файл заражений. Тепер відомі значення всіх констант декодування, і вірус легко декодувати /на рис. З поданий відповідний фрагмент коду/. Після декодування можна ще раз пересвідчитись у наявності віруса традиційними методами, оскільки він уже декодований. Можна також "вилікувати" заражений файл, оскільки вся потрібна інформація вже є доступною.

Описаний метод, на погляд авторів, можна успішно використовувати для детектування переважної більшості наявних і нових поліморфних вірусів, зокрема всіх, описаних у працях 1, 2, 7.

На основі запропонованого методу розроблена антивірусна програма, яка знаходить і знешкоджує вірус *OpenHalf* у виконавчих файлах, а також, на відміну від відомих на даний час інших антивірусів, відновлює інформацію на вінчестері, що була закодована вірусом.

І. Б е з р у к о в Н.Н. Компьютерная вирусология: Справочное руководство. К., 1991. 416 с. 2. К а с п е р с к и й Е.В. Компьютерные вирусы в MS DOS. М., 1992. 176 с. 3. П е т р у х и н В.С., С т е п ч е н к о Ю.А., Ф и л и н А.В. Персональные ЭВМ на основе архитектуры Intel 80386. В 2 кн. Обнинск, 1993. Кн.1. 336 с.

Стаття надійшла до редколегії 28.10.94.

ЗМІСТ

Бартіш М.Я., Шахно С.М., Доміковський В.О., Чипурко А.І. Чисельне дослідження деяких алгоритмів розв'язування келінійних рівнянь....	3
Бернакевич І.Е., Минкаренко Г.А. Чисельне моделювання акустичної взаємодії оболонок з рідинами. I. Формулювання і розв'язування варіаційних задач.....	7
Блахієвська О.В. Автомодельний розв'язок задачі горіння суміші газів.....	13
Венгерський П.С., Сеньо Н.С. Один інтервальний алгоритм знаходження початкових наближень методу Ньютона.....	16
Вовк В.Д., Дияк І.І., Макар В.М. Програмний комплекс багатокритеріальній оптимізації напружень при нестационарному нагріві.....	23
Герасим Л.С., Остудін Б.А. Розробка математичного та програмного забезпечення для розрахунку осесиметричних електростатичних полів на базі персональних комп'ютерів.....	27
Голуб Б.М., Оліярник І.П. Тунельний алгоритм пошуку глобального мінімуму непорогової функції....	35
Голуб Б.М., Щербина Ю.М. Релаксаційний алгоритм квазіньютонової модифікації методу лініаризації.....	39
Дияк І.І., Марчук Ю.Б. Застосування ітераційних методів для дослідження комбінованих схем методів скінчених та граничних елементів.....	43
Дудзяний І.М., Цимбал В.М. Нелокальна задача для діякого сингулярно збуреного рівняння третього порядку.....	48
Жук М.В. Розв'язування келінійного диференціального рівняння методом Кагоронича.....	52

Зубов В.М., Терлецька С.Ю. Протистокова сім'єнна скінчених елементів для розв'язування задач з ампліудами 55
Зубов В.М., Терлецька С.Ю., Шин- зареко Г.А. Розв'язуваність і апроксимація уза- важених розв'язків початково-краївих задач міграції затиснених домішок 62
Ковал'чук Б.В., Гой О.І. Узагальнене загальне рівняння і теорема взаємності розв'язків країв- кої задачі узагальненої термодинамічності анізотропного тіла 67
Костенко С.Б., Попов Е.О. Рівномірне застосування математичних функцій многочленами слайдами.. 73
Мартиненко Марія Д., Горба- чова Н.В. Лініаризація для однієї гіперболічної за- дачі Копі пірного порядку 80
Мужчі І.С., Савула Я.Г. Нелінійна модель круглого деформування тонкостінних гнучких тіл 82
Левицька С.М., Експремлення еліптичних інте- гралів в осесиметричній задачі нестационарної теплопровід- ності 81
Пасічник Р.М., Халко Р.С. Постановлення ме- тодів сіток та інтегральних рівнянь при розв'язуванні задачі типу діріхле для хильового рівняння 94
Притула М.М. Параметрична інтегровність за Лексом деяких іслінійних динамічних систем на функціональ- них многочленах 99
Савула Я.Г., Чайла Є.Я., Кухарсь- кий В.М. Чисельне моделювання конвективного теплопре- носу в середовищі з темним крапляром 101
Сеньо П.С., Дивак М.Н., Гладій Г.М., Венгерський П.С. Інтегральні моделі в медико- екологічному прогностуванні 106
Цегелик Г.Г., Седчинин Н.В. Викорис- тання некласичного апарату мінімуму і діаграм Ньютона функ- цій для побудови нової квадратурної формул 108 І7-3174

Флейшман Н.П., Койфман Ч.Н. Узагальнені умови спряження середовищ за допомогою тонкого плоского прошарку...?	III2
Щербатий М.В. Оптимізація частот вільних коливань складових оболонок обертання.....	III4
Щербина М.Ю., Мосорін П.Д., Черняхівський В.В. Синтаксичний аналіз і емуляція трасування для детектування поліморфних вірусів.....	I23

Збірник наукових праць

Міністерство освіти України

Вісник Львівського університету

Серія механіко-математична

Виходить з 1965 р.

Випуск 41

**ЗАДАЧІ ТА МЕТОДИ
ПРИКЛАДНОЇ МАТЕМАТИКИ**

Редактор Е.А.Глашацька

Художній редактор Е.А.Каменічук

Технічний редактор С.Д.Довба

Коректор О.І.Тростяничн

Нідл. до друку 15.12.94. Формат 60x84/16.

Папір обсет. Умови: друк. арк. 7,67. Умови. фарброзідб. 7,9.
Арк.-вид. арк. 9,39. Вид. № 53. Зем. 340. Замовне.

Видавництво "Світ" при Львівському держуніверситеті.

290000 Львів, вул.Університетська, I.

Львівська обласна книжкова друкарня.

290000 Львів, вул.Стефаника, II.

ISSN 0201-758X. ISSN 0320-6572
Вісн. Львів. ун-ту. Сер. мех. мат. 1995, вип. 41, 1—132.